

第 127 回 火山噴火予知連絡会資料

(その 6)

東北地方

平成 25 年 10 月 22 日

火山噴火予知連絡会資料（その6）

目次

東北地方

岩木山	3
気象庁 3-6	
八甲田山	7
気象庁 7-20、北大有珠 21、東北大 22-23、防災科研 24-28、 地理院 29-32	
秋田焼山	33
気象庁 33-36	
岩手山	37
気象庁 37-44、防災科研 45-47	
秋田駒ヶ岳	48
気象庁 48-57	
鳥海山	58
気象庁 58-63	
栗駒山	64
気象庁 64-69	
蔵王山	70
気象庁 70-79、東北大 80-86	
吾妻山	87
気象庁 87-97	
安達太良山	98
気象庁 98-102	
磐梯山	103
気象庁 103-110	

岩木山

(2013年9月30日現在)

火山活動に特段の変化はなく、静穏に経過しており、噴火の兆候は認められない。

平成19年12月1日に噴火予報（平常）を発表した。その後、予報警報事項に変更はない。

○概況（2013年6月～9月30日）

・噴気等の表面現象の状況（第2図）

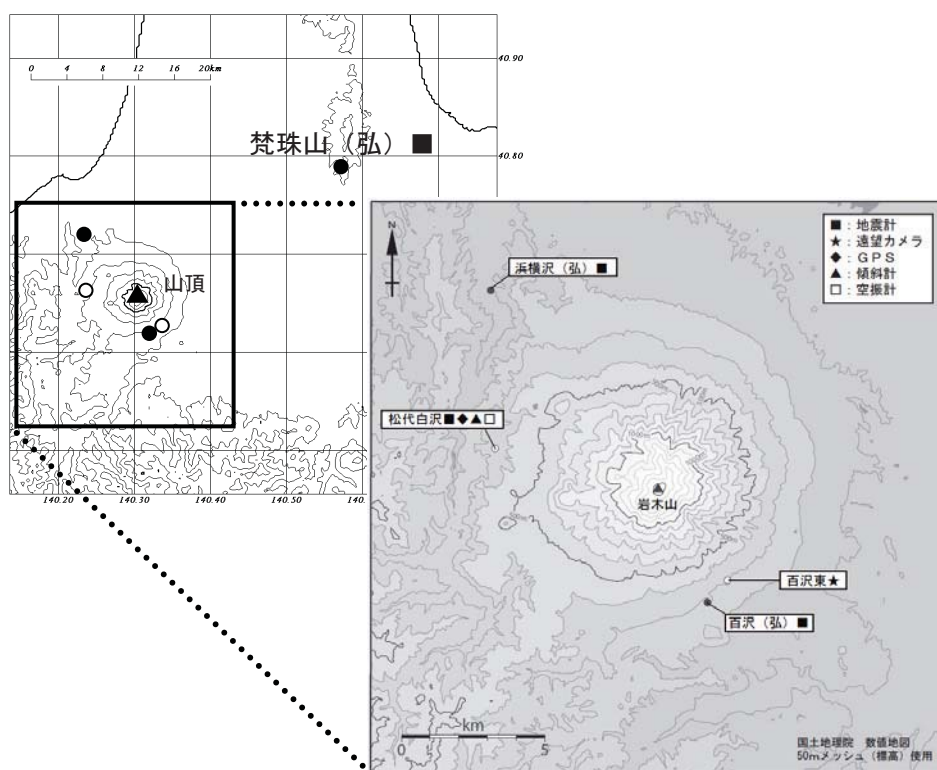
百沢東（山頂の南東約4km）に設置してある遠望カメラによる観測では、噴気は認められなかった。

・地震活動（第3、4図）

火山性地震及び火山性微動は観測されなかった。

・地殻変動（第6、7図）

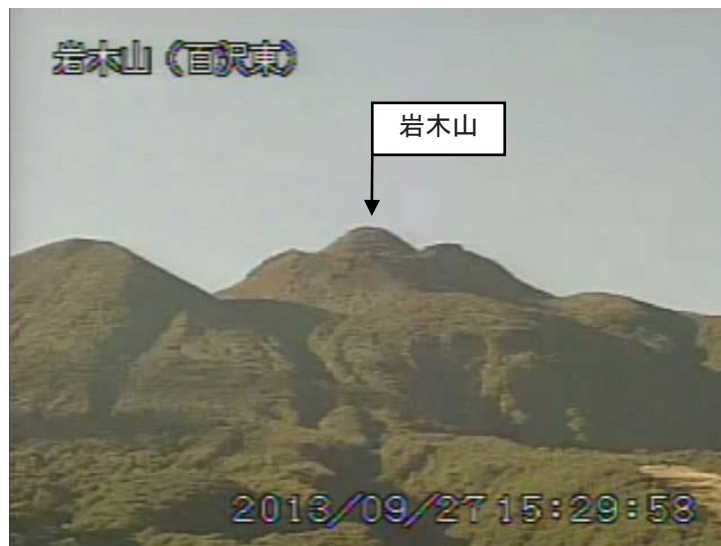
GPS連続観測及び松代白沢観測点（山頂の西北西約5km）の傾斜計では、火山活動によると考えられる変化は認められなかった。



第1図 岩木山 観測点配置図

小さな白丸（○）は気象庁、小さな黒丸（●）は気象庁以外の機関の観測点位置を示す。（弘）：弘前大学

この資料は気象庁のほか、国土地理院、東北大学、弘前大学及び独立行政法人防災科学技術研究所のデータを利用して作成した。



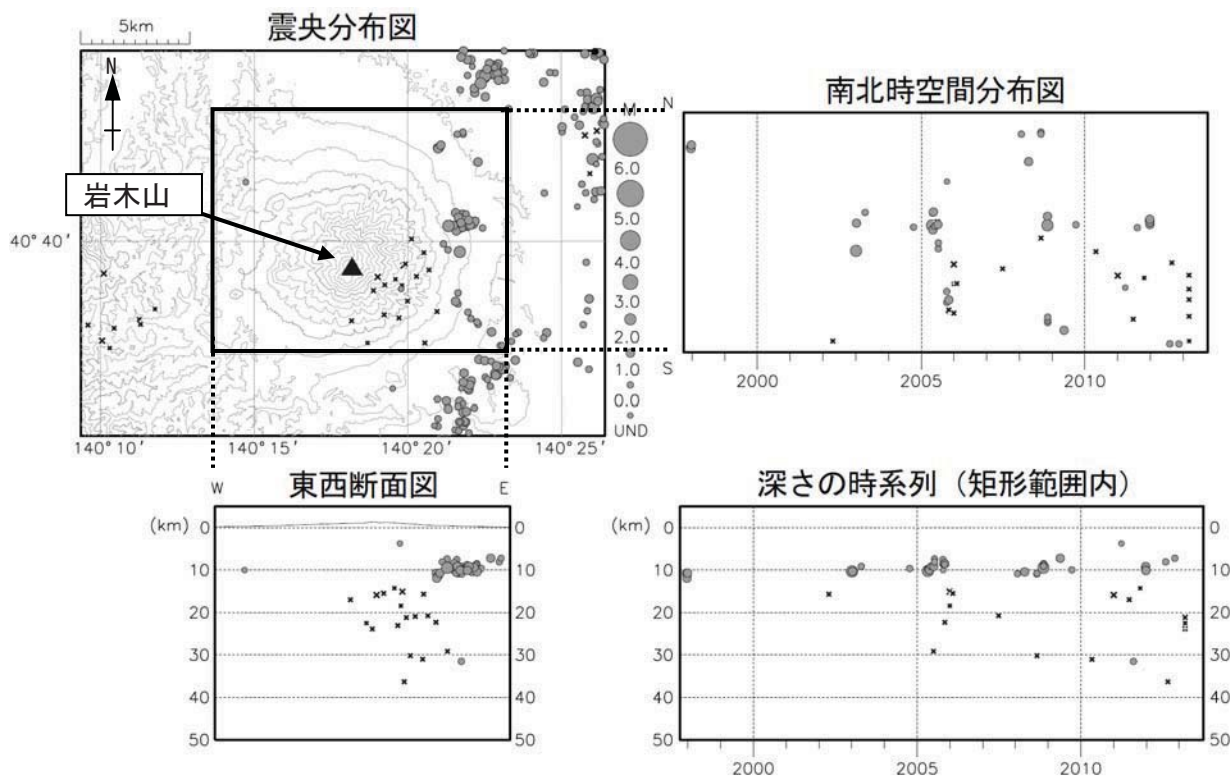
第2図 岩木山 遠望カメラの映像（2013年9月27日15時30分頃）

百沢東（山頂の南東約4km）に設置してある遠望カメラによる。



第3図 岩木山 日別地震回数（2007年9月～2013年9月30日）

- 弘前大学からのデータ提供により、2007年9月4日から観測を開始した。
- 2013年3月6日～4月9日（図の灰色部分）は機器障害のため欠測。



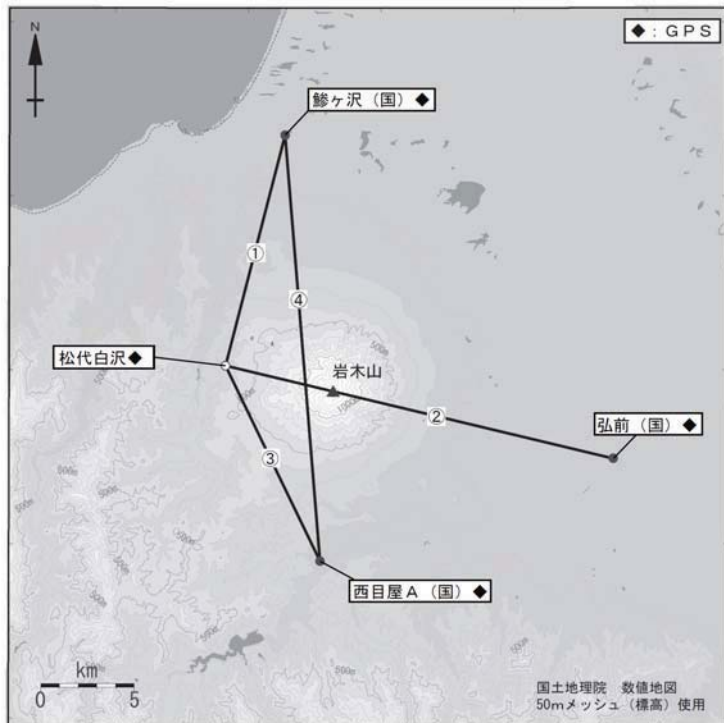
第4図 岩木山 一元化震源による岩木山周辺の地震活動（1997年10月～2013年9月30日）

注) 2001年10月以降、検知能力が向上している。

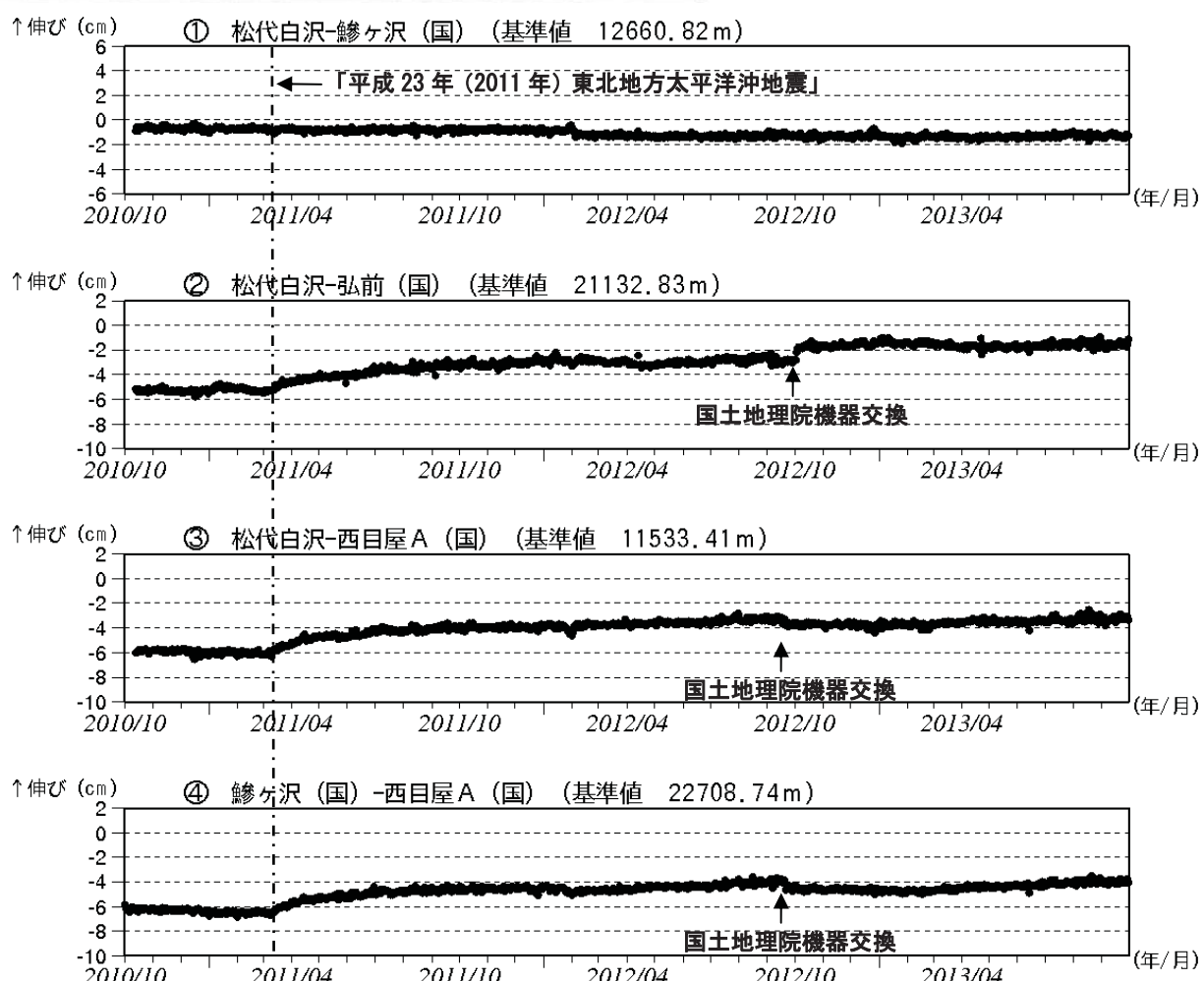
注) 低周波地震については、1999年9月から識別して登録を開始した。

図中の一部の震源要素は暫定値で、後日変更することがある。

この地図の作成には国土地理院発行の「数値地図50mメッシュ（標高）」を使用した。

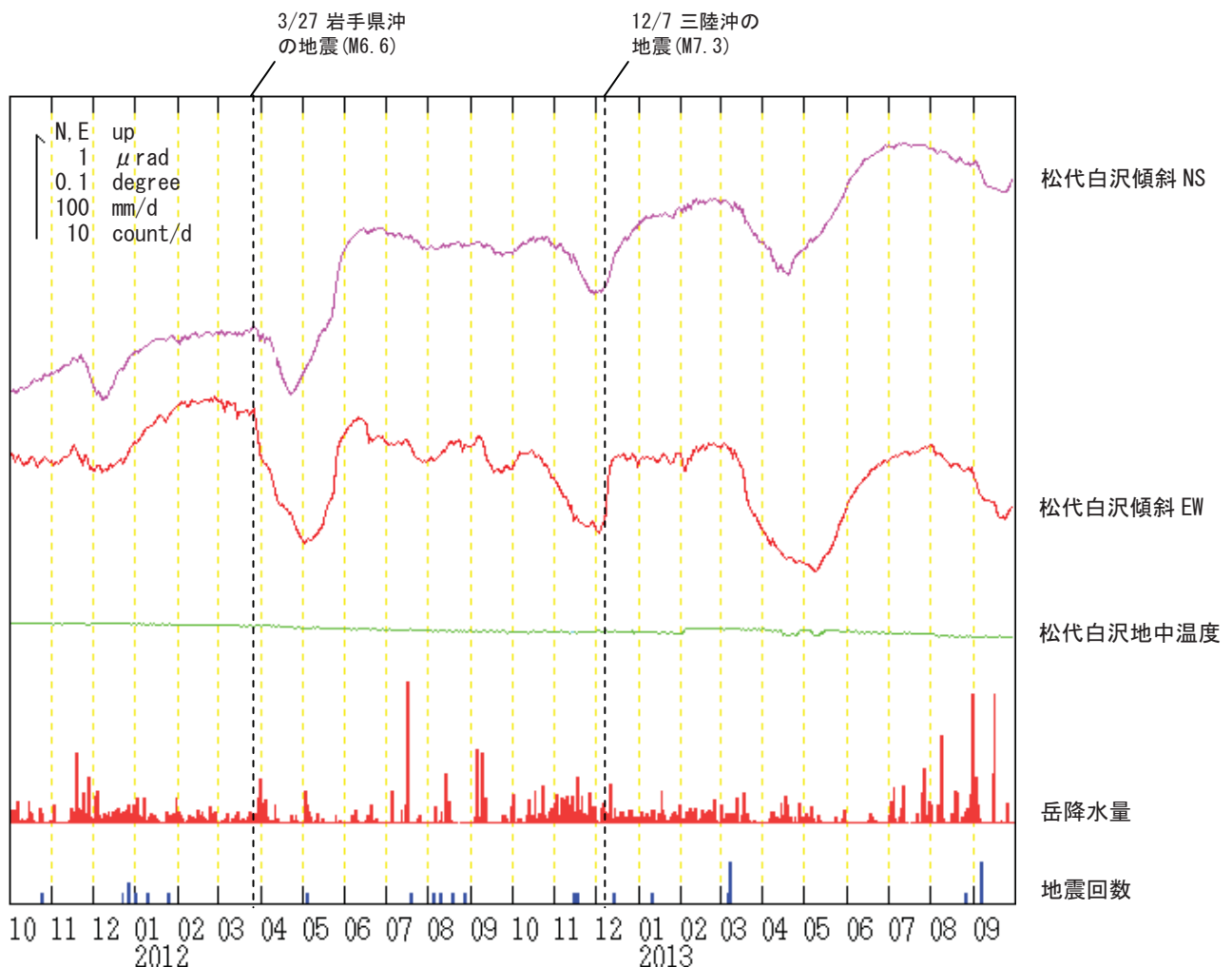


第5図 岩木山 GPS 観測点配置図
小さな白丸（○）は気象庁、小さな黒丸（●）は気象庁以外の機関の観測点位置を示す。
(国) : 国土地理院
GPS基線①～④は第6図の①～④に対応。



第6図 岩木山 GPS 基線長変化図 (2010年10月～2013年9月30日)

- ・2011年3月11日以降の伸びの傾向は、東北地方太平洋沖地震による影響であり、火山活動によるものではないと考えられる。
- ・東北地方太平洋沖地震に伴うステップを補正している。
- ・解析に際しては対流圏補正と電離層補正を行っている。
- ・①～④は第5図のGPS基線①～④に対応。(国) : 国土地理院。
- ・グラフの空白部分は欠測。



第7図 岩木山 松代白沢観測点における傾斜変動

(2011年10月1日～2013年9月30日、時間値、潮汐補正済み、地震回数及び降水量は日値)

・火山活動によるとみられる傾斜変動は認められない。

八甲田山

(2013年10月15日現在)

東北地方太平洋沖地震（2011年3月11日）以降、八甲田山周辺を震源とする地震が増加した状態で経過している。2月以降、大岳山頂直下付近が震源と考えられる火山性地震が発生し始め、4月以降はやや多い状況で経過しているが、7月下旬以降、地震回数はやや減少し、発生した地震の規模も小さくなっている。一元化震源では、6月に深部低周波地震が初めて観測された。

地殻変動観測では、2013年2月頃以降、小さな膨張性の地殻変動が継続している。

噴気活動と高温域は、1994年と比較して特段の変化は認められないが、今後の火山活動の推移に注意が必要。

平成19年12月1日に噴火予報（平常）を発表した。その後、予報警報事項に変更はない。

○概況(2013年6月～10月15日)

・噴気等の表面現象の状況、熱活動（第2～11図）

8月7, 8日に実施した現地調査及び8月22日に青森県の協力により実施した上空からの観測では、赤倉岳・井戸岳・大岳の山頂付近及び周辺に特段の異常は認められなかった。また、地獄沼の北西、地獄沼東岸の一部、賽の河原では噴気や高温域¹⁾がみられたものの、1994年8月23日の調査結果と比較して大きな変化は認められなかった。

地獄湯ノ沢左岸や地獄沼周辺では、硫化水素²⁾及び熱水の噴出場所を第11図のとおり複数で確認した。

1) 赤外熱映像装置による。赤外熱映像装置は物体が放射する赤外線を感じて温度分布を測定する測器である。

熱源から離れた場所から測定することができる利点があるが、測定距離や大気等の影響で実際の熱源の温度よりも低く測定される場合がある。

2) 簡易型の硫化水素ガス警報器による。

・地震活動（第12～17図）

東北地方太平洋沖地震（2011年3月11日）以降、八甲田山周辺を震源とする地震が増加した状態で経過している。7月20日13時12分に山頂付近の極浅いところを震源とする、マグニチュード³⁾1.9の地震が発生した。この地震のマグニチュード³⁾は2013年2月に山頂付近で地震が発生し始めて以降最大である。山頂付近を震源とする火山性地震はやや多い状況で経過しているが、7月下旬以降、規模のやや大きな地震の占める割合は少なくなっている⁴⁾。また、8月21日5時16分と9月3日5時49分に、大岳山頂付近を震源とする振幅のやや大きな低周波地震が発生した。

6月17日1時33分、8月27日0時27分、10月6日21時36分に、山頂の東北東約10km、深さ約22km付近を震源とする深部低周波地震が発生した。

火山性微動は観測されなかった。

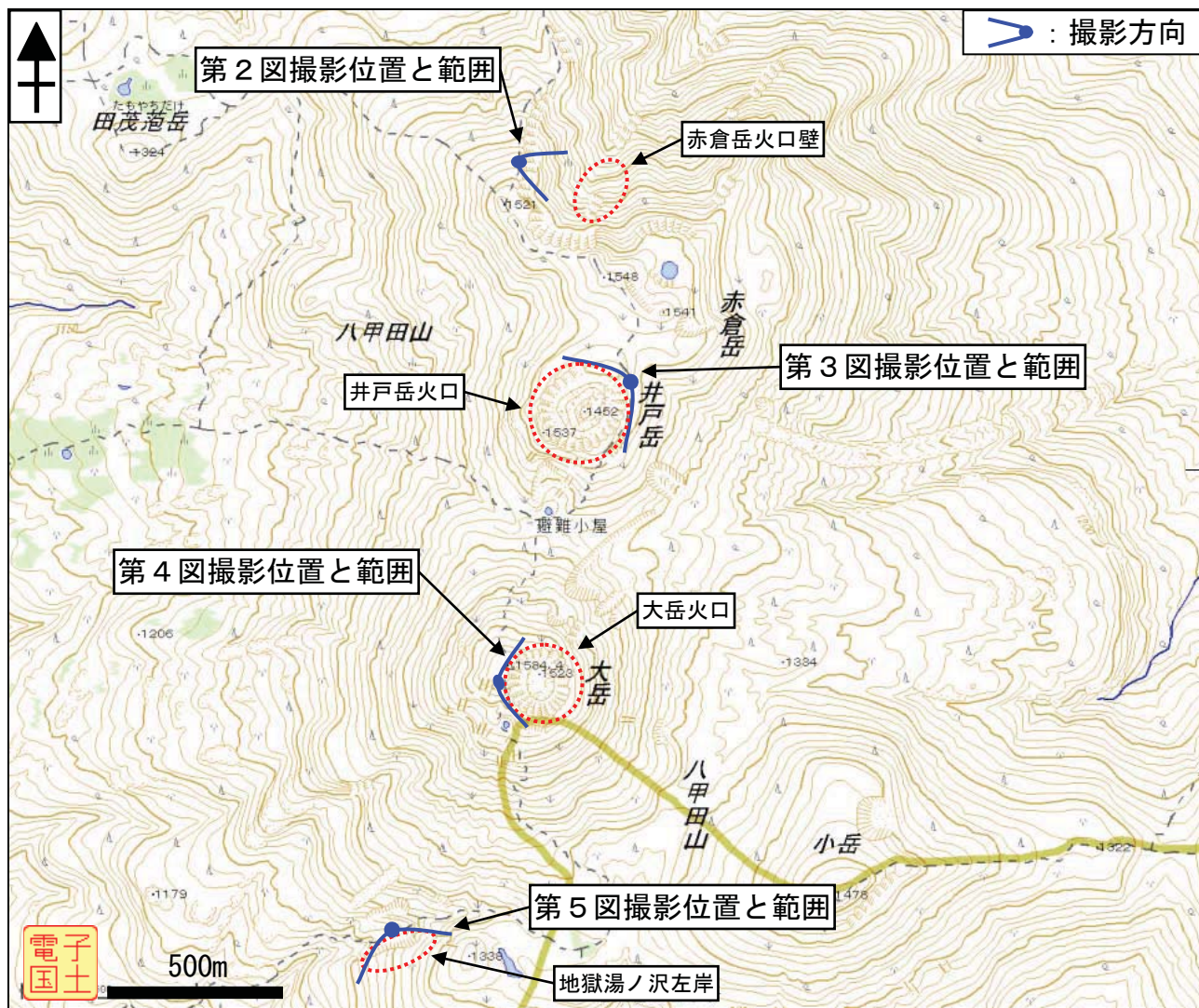
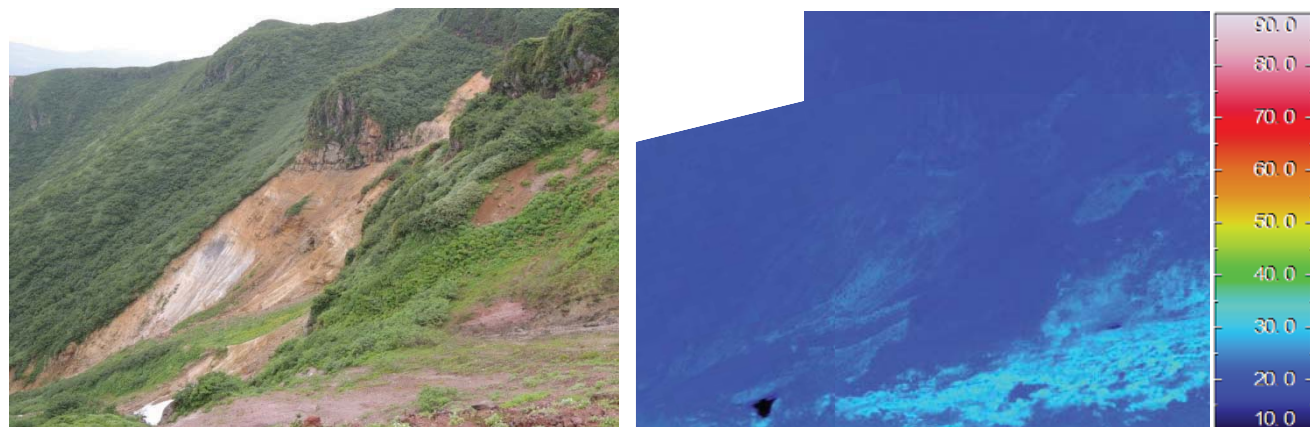
3) 資料中のマグニチュードは暫定値で、後日変更することがある。

4) 気象庁では八甲田山の地震活動を詳細に観測するために、青森市駒込深沢に臨時の地震計を設置して8月2日から運用を開始した。

・地殻変動（第20図）

国土地理院の広域的な地殻変動観測結果では、八甲田山を囲む基線で、2月頃以降小さな膨張性の地殻変動がみられている。気象庁では八甲田山の地殻変動を監視するために、南駒込と南荒川山に現地収録型の臨時GPS観測装置を6月15日に設置した。これらの連続観測の結果では、6月15日から10月9日の間に特段の変化は認められない。

この資料は気象庁のほか、国土地理院、北海道大学、弘前大学、東北大学、独立行政法人防災科学技術研究所、青森県のデータ等を利用して作成している。

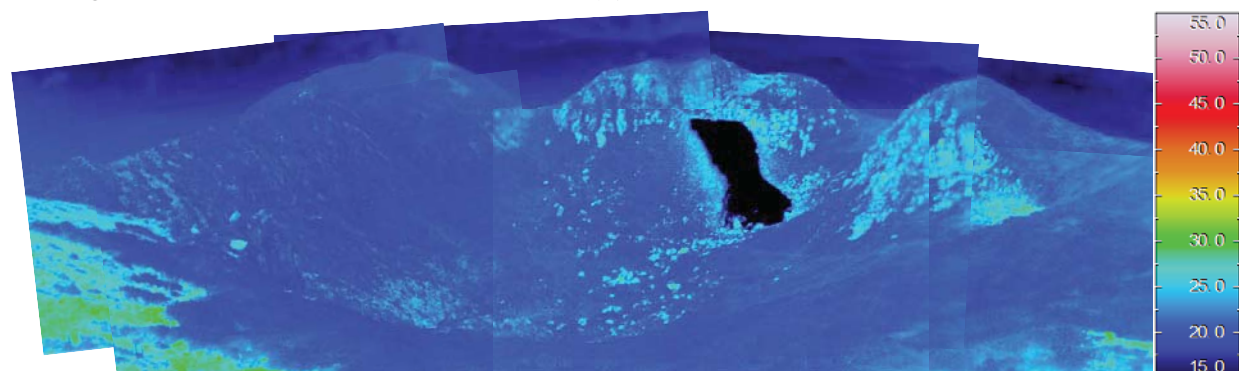
第1図 八甲田山 赤倉岳、井戸岳、大岳の山頂付近及び周辺の可視画像と地表面温度分布¹⁾ 撮影位置第2図 八甲田山 西方向から撮影した赤倉岳火口壁の可視画像と地表面温度分布¹⁾

2013年8月8日撮影（左図①：可視画像、右図②：赤外画像）

- ・高温域は認められなかった。



①可視画像（2013年8月8日11時45分 曇り）



②赤外画像（2013年8月8日11時45分）

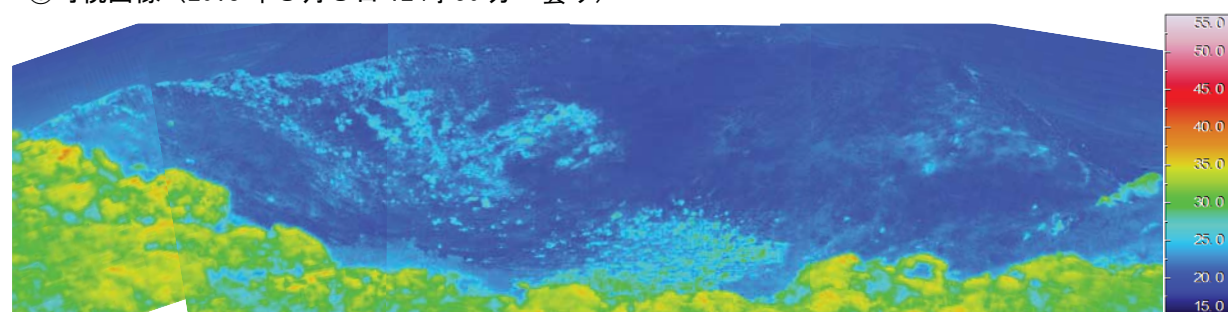
第3図 八甲田山 北東方向から撮影した井戸岳火口の可視画像と地表面温度分布¹⁾

2013年8月8日撮影（上段①：可視画像、下段②：赤外画像）

- ・高温域は認められなかった。



①可視画像（2013年8月8日12時50分 曇り）



②赤外画像（2013年8月8日12時50分）

第4図 八甲田山 西方向から撮影した大岳火口の可視画像と地表面温度分布¹⁾

2013年8月8日撮影（上段①：可視画像、下段②：赤外画像）

- ・赤外画像手前の高温域は日射による影響で、火山活動による高温域は認められなかった。



①可視画像（2013年8月8日14時50分 晴れ）



②赤外画像（2013年8月8日14時50分）

第5図 八甲田山 北西方向から撮影した地獄湯ノ沢左岸の可視画像と地表面温度分布¹⁾

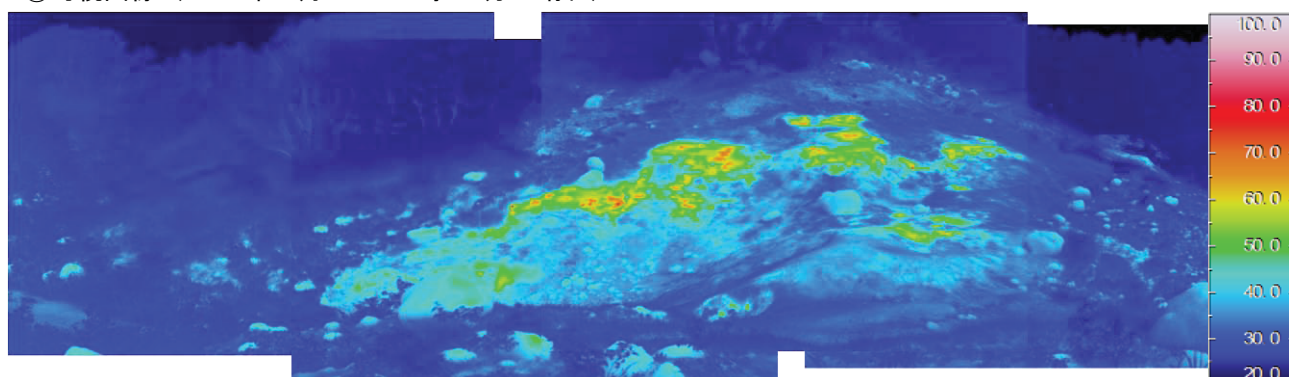
2013年8月8日撮影（上段①：可視画像、下段②：赤外画像）

・高温域は認められなかった。

第6図 八甲田山 地獄沼及び周辺の可視画像と地表面温度分布¹⁾撮影位置



①可視画像（2013年8月7日13時20分 晴れ）



②赤外画像（2013年8月7日13時20分）

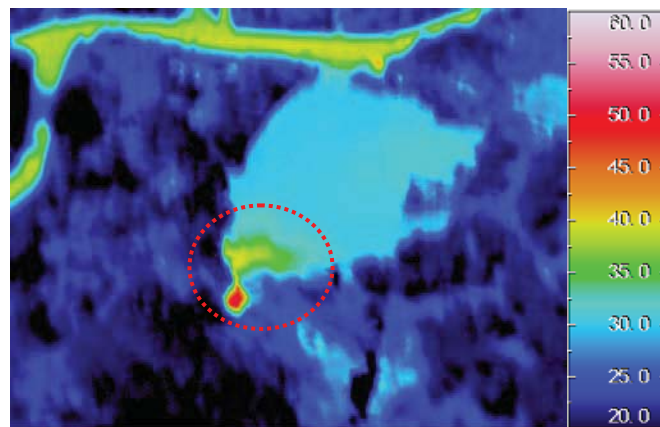
第7図 八甲田山 南西方向から撮影した地獄沼の北西の可視画像と地表面温度分布¹⁾

2013年8月7日撮影（上段①：可視画像、下段②：赤外画像）

・1994年8月23日に初めて確認された高温域及び噴気が引き続き確認され、特段の変化は認められなかった。



①可視画像（2013年8月22日10時40分 晴れ）



②赤外画像（2013年8月22日10時40分）

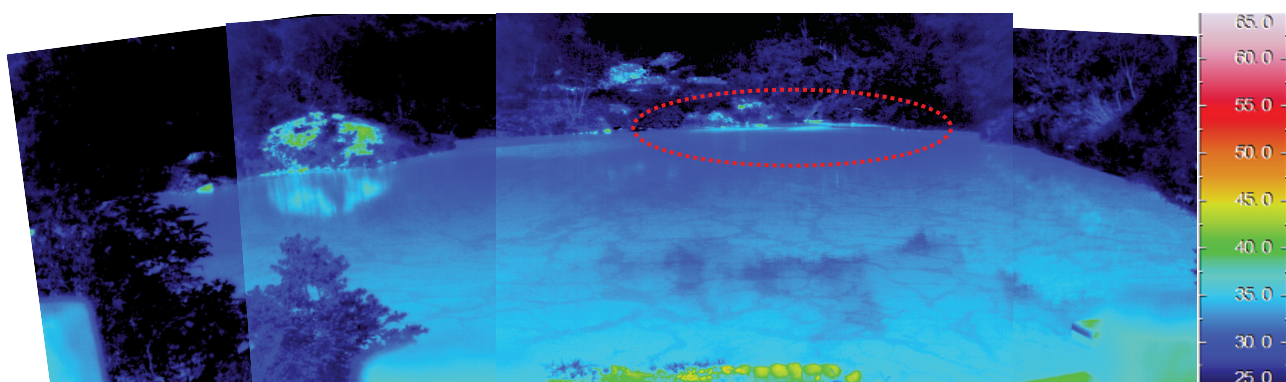
第8図 八甲田山 東方向の上空から撮影した地獄沼の可視画像と地表面温度分布¹⁾

2013年8月22日撮影（左図①：可視画像、右図②：赤外画像）

・1994年8月23日の現地調査と比較して、地獄沼東岸の一部でみられる高温域（赤破線）及び湖水温度に大きな変化は認められなかった。



①可視画像（2013年8月7日15時00分 晴れ）



②赤外画像（2013年8月7日15時00分）



③可視画像（2013年6月15日8時40分 曇り）



④赤外画像（2013年6月15日8時40分）

第9図 八甲田山 西方向から撮影した地獄沼の可視画像と地表面温度分布¹⁾

上段①、②：2013年8月7日 下段③、④：2013年6月15日

・1994年8月23日、2013年6月15日と比較して、地獄沼東岸の一部でみられる高温域（赤破線）及び湖水温度に大きな変化は認められなかった。



①可視画像（2013年8月7日17時15分 晴れ）



②赤外画像（2013年8月7日17時15分）

第10図 八甲田山 北東方向から撮影した賽の河原の可視画像と地表面温度分布¹⁾

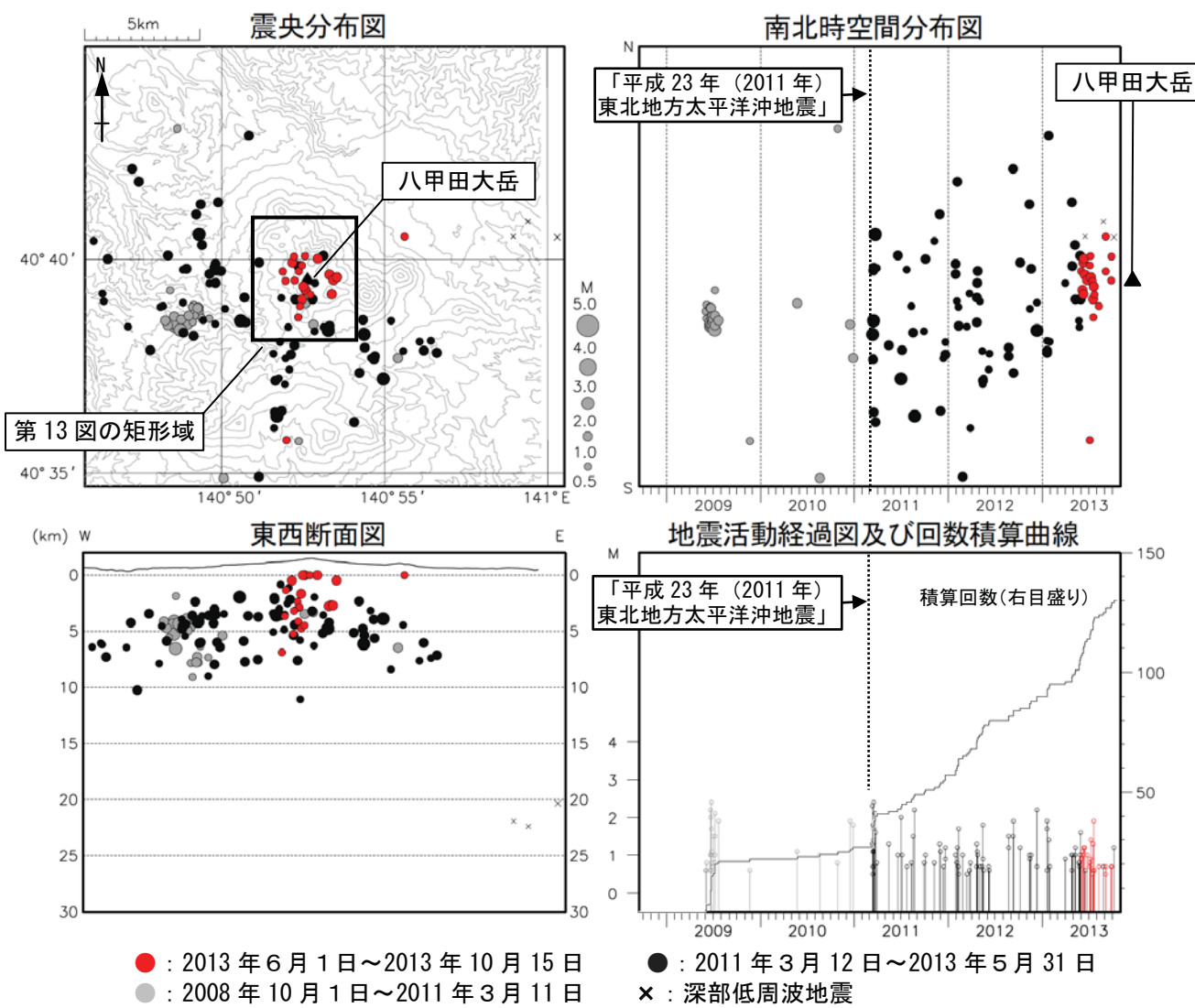
2013年8月7日撮影（上段①：可視画像、下段②：赤外画像）

・1994年8月23日にも見られた高温域と噴気活動に変化は認められなかった。

第11図 八甲田山 地獄沼周辺における熱活動及び硫化水素ガス検出²⁾ 地点位置図

●：低温の硫化水素 ●：熱水 ●：硫化水素を含む高温の噴気、熱水、泥

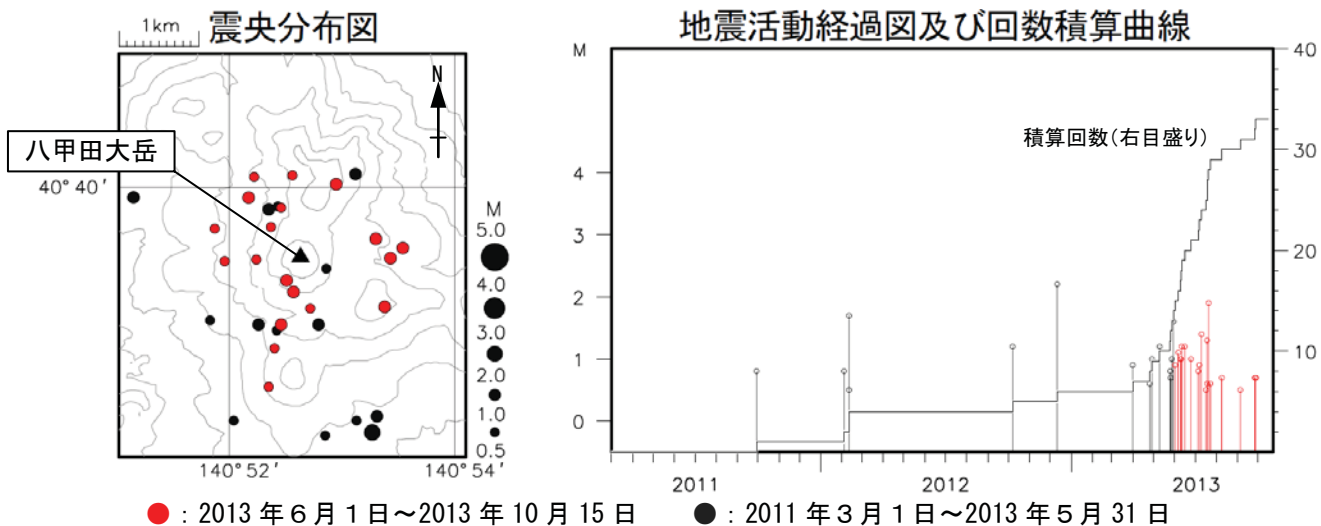
・付近住民への噴気に関する聞き取り調査では、特段の変化はみられないとの事であった。



第12図 八甲田山 一元化震源による八甲田山周辺の地震活動

(2008年10月1日～2013年10月15日)

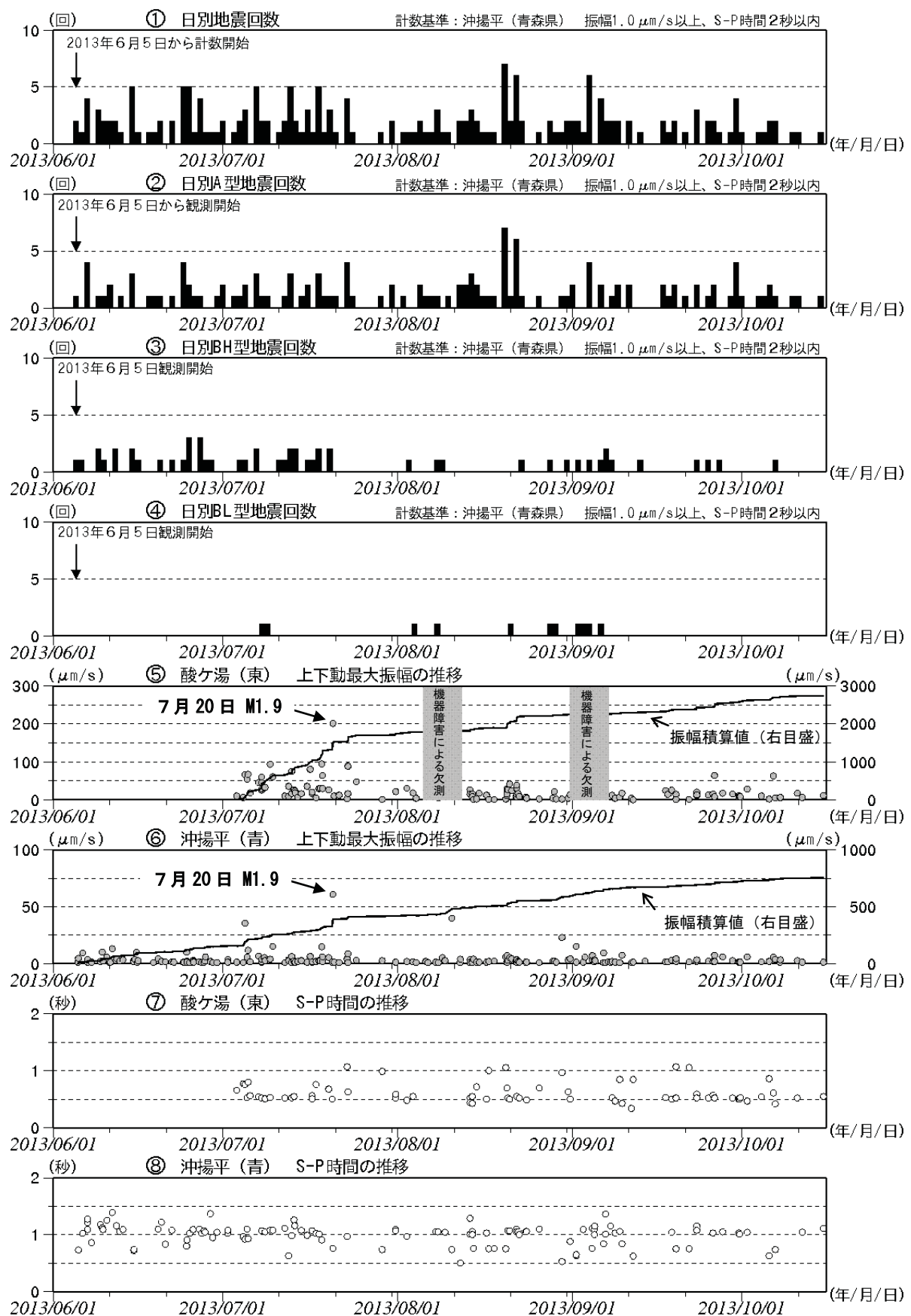
- ・東北地方太平洋沖地震（2011年3月11日）以降、八甲田山周辺を震源とする地震が増加した状態で経過している。



第13図 八甲田山 一元化震源による八甲田山付近の地震活動

(2011年3月1日～2013年10月15日) 第12図震央分布図内の矩形域を拡大している。

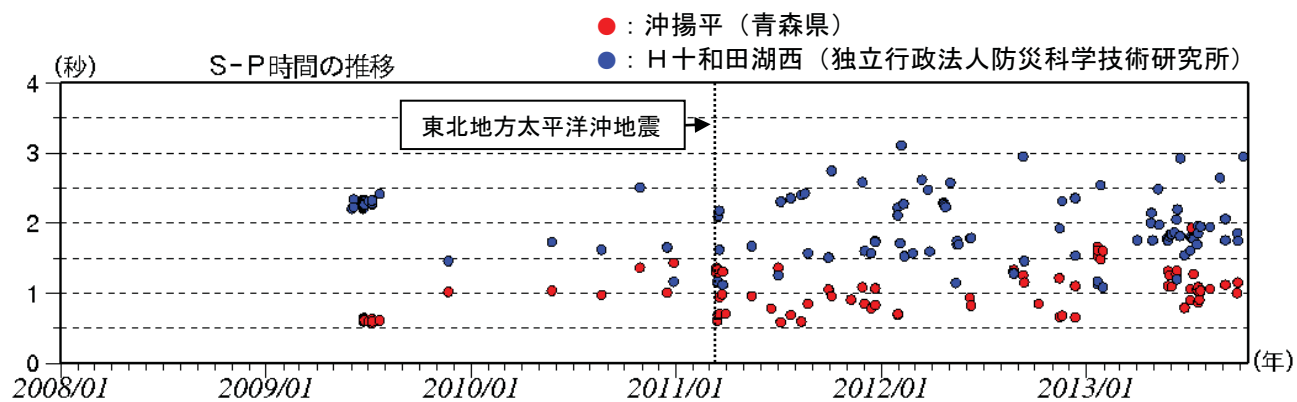
- ・2月以降、山頂付近が震源と考えられる火山性地震が散発的に発生し始め、4月以降はやや多い状況で経過しているが、7月下旬以降は規模が大きめの地震の占める割合は少なくなっている。



第14図 八甲田山 火山活動経過図（2013年6月5日～2013年10月15日）

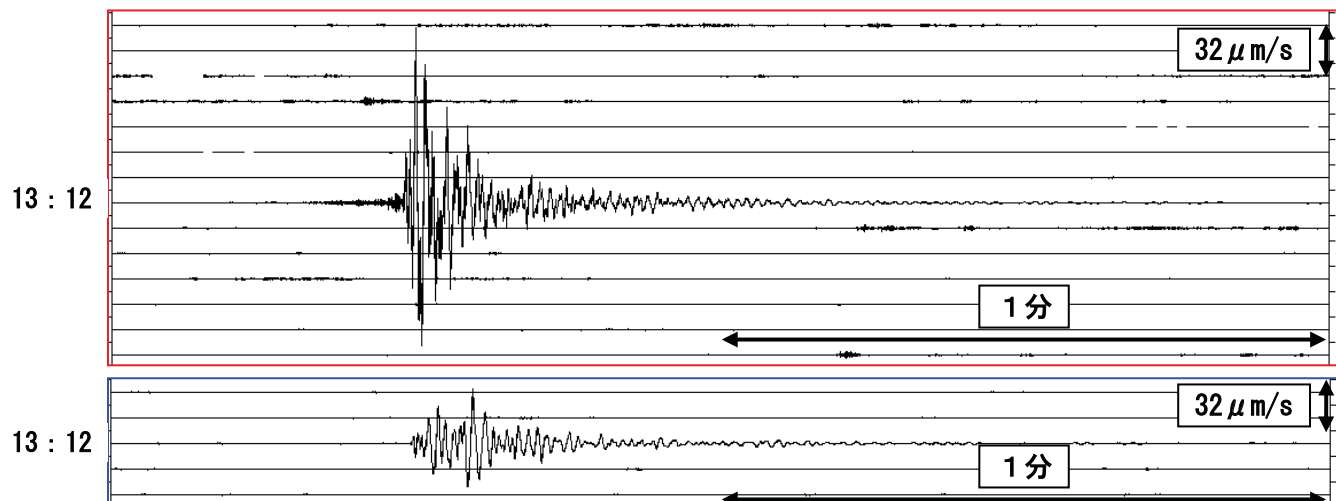
- ・沖揚平（青森県：短周期速度型）のデータを元に、2013年6月5日から地震回数の計数を開始した。
- ・図の灰色部分は機器障害による欠測。
- ・酸ヶ湯（東北大：広帯域型）は、7月3日から観測開始。
- ・地震発生状況に特段の変化はみられず、高周波地震と低周波地震の発生状況、酸ヶ湯（東北大：広帯域型）と沖揚平（青森県：短周期速度型）の上下動最大振幅とS-P時間の推移に特段の変化はみられない。

八甲田山



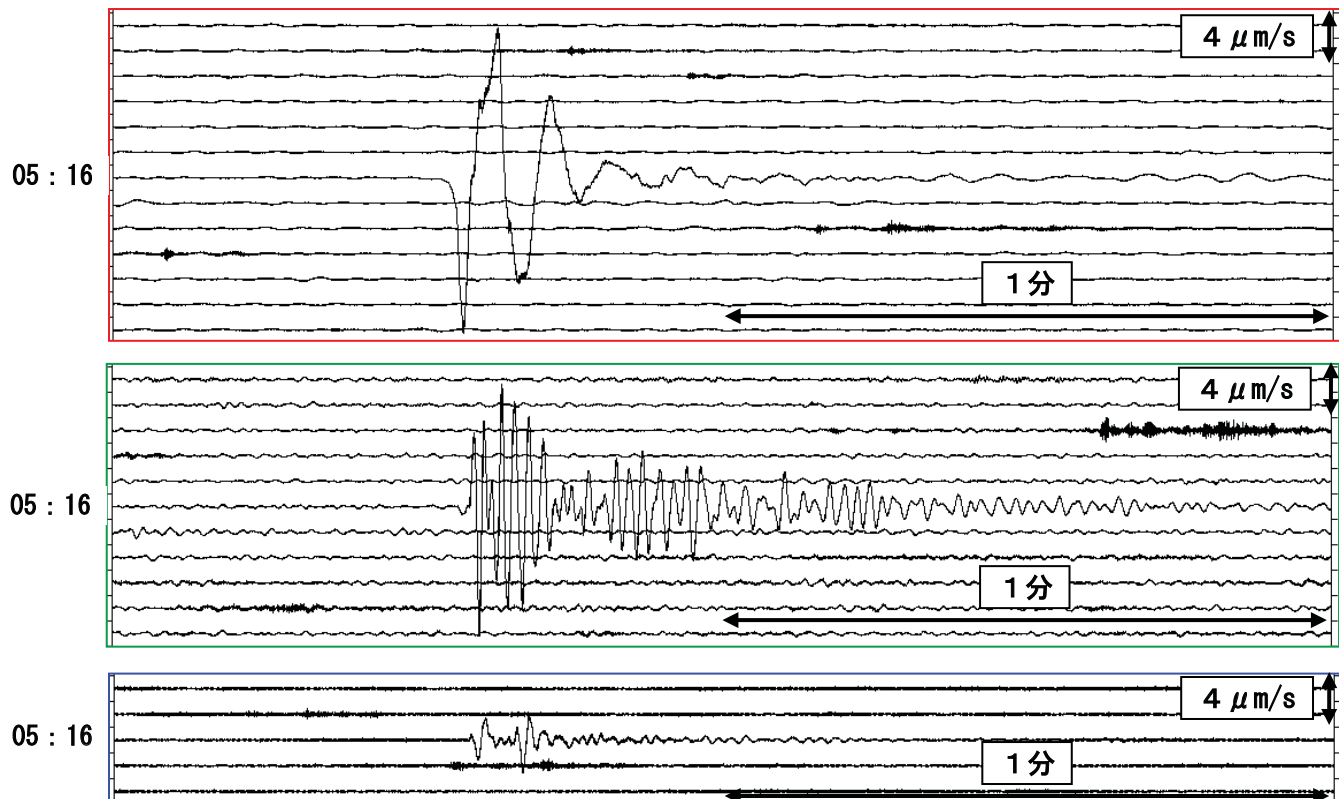
第15図 八甲田山 S-P時間の推移（2008年1月1日～2013年10月15日）

- ・沖揚平観測点（大岳山頂の南西約7km）とH十和田湖西観測点（大岳山頂の南東約12km）の一元化震源による検測値からS波とP波の到達時間差を算出
- ・第12、13図の2013年2月以降の大岳山頂付近に震源が登録されている地震は、沖揚平では1.0秒前後、H十和田湖西では1.5～2.0秒前後で推移しており、大きな変化はみられない。



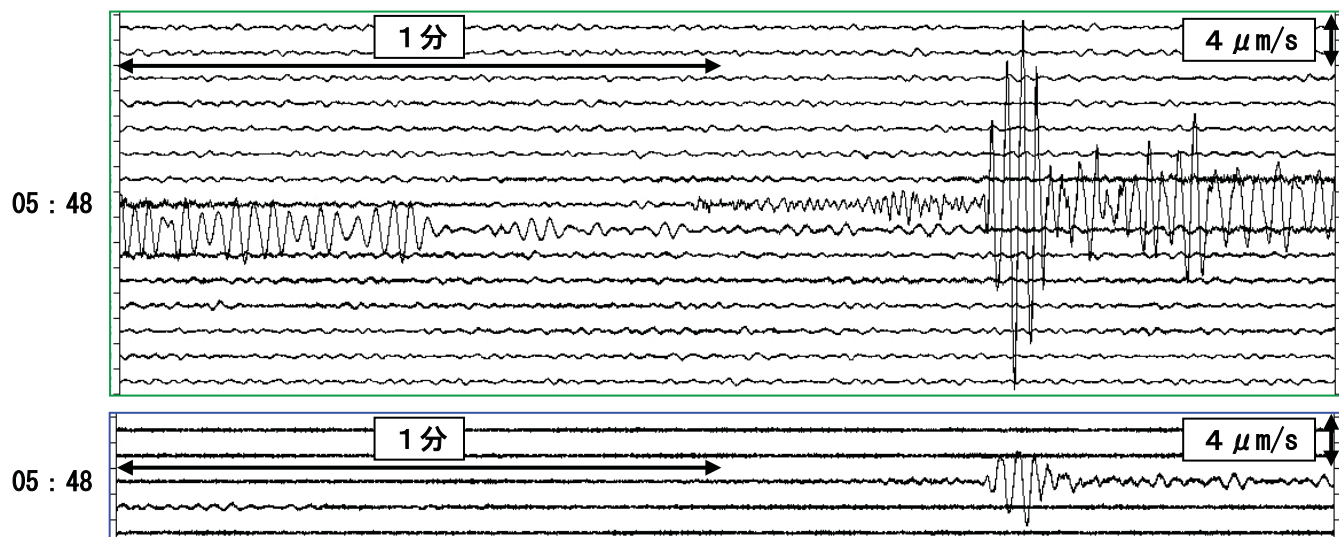
第16-1図 2013年7月20日13時12分に発生したマグニチュード1.9の地震波形

- ・上段 酸ヶ湯（東北大：広帯域型）観測点の上下成分（12時58分～13時26分の28分間を表示）
- ・下段 沖揚平（青森県：短周期速度型）観測点の上下成分（13時08分～13時28分の10分間を表示）



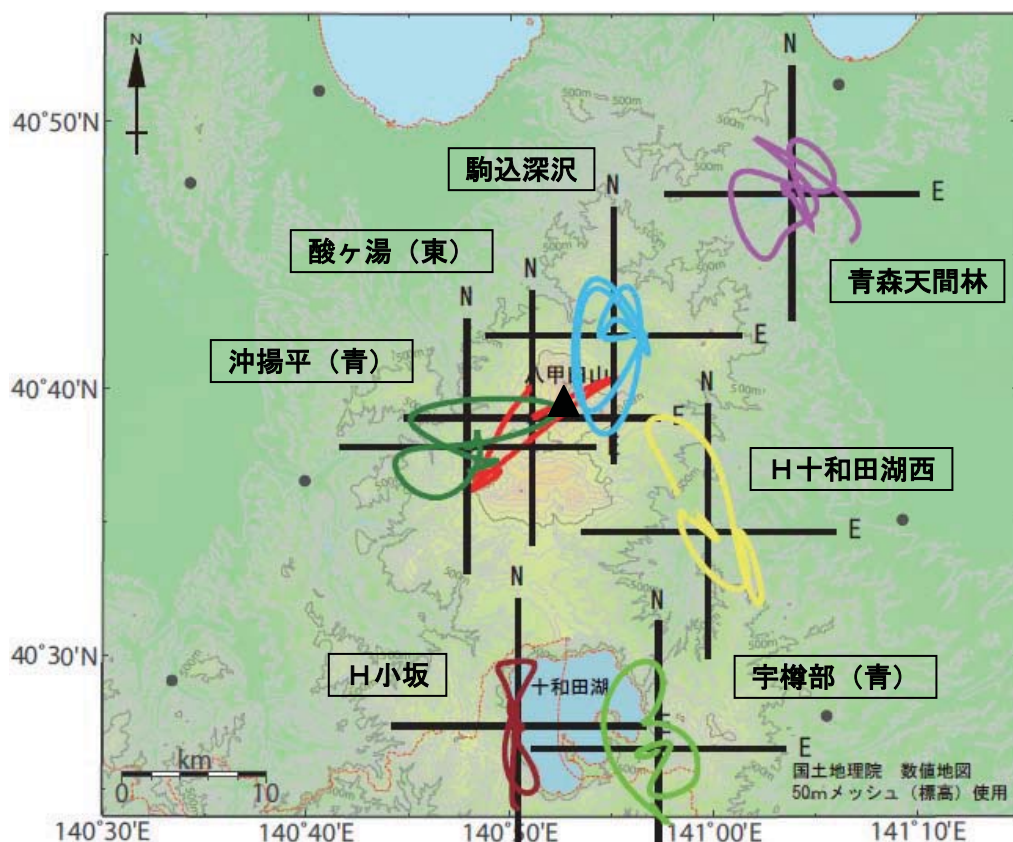
第16-2図 2013年8月21日5時16分に発生した低周波の地震波形

- ・上段 酸ヶ湯（東北大：広帯域型）観測点の上下成分（05時04分～05時30分の26分間を表示）
- ・中段 駒込深沢（短周期速度型）観測点の上下成分（05時06分～05時28分の22分間を表示）
- ・下段 沖揚平（青森県：短周期速度型）観測点の上下成分（05時12分～05時22分の10分間を表示）



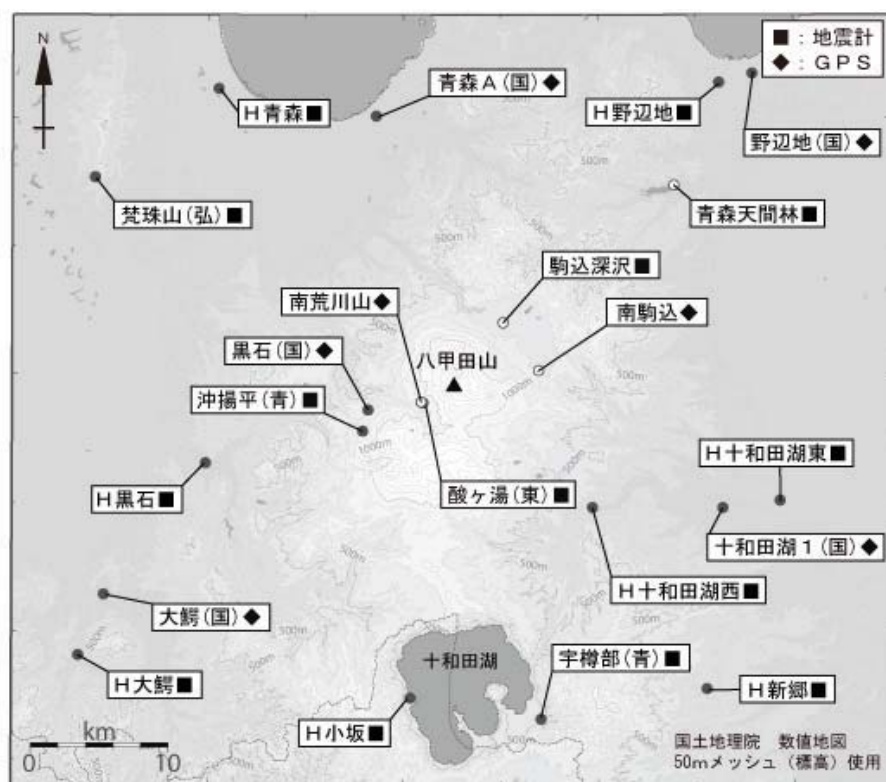
第16-3図 2013年9月3日5時49分に発生した低周波の地震波形

- ・上段 駒込深沢（短周期速度型）観測点の上下成分（05時34分～06時04分の30分間を表示）
- ・下段 沖揚平（青森県：短周期速度型）観測点の上下成分（05時44分～05時54分の10分間を表示）



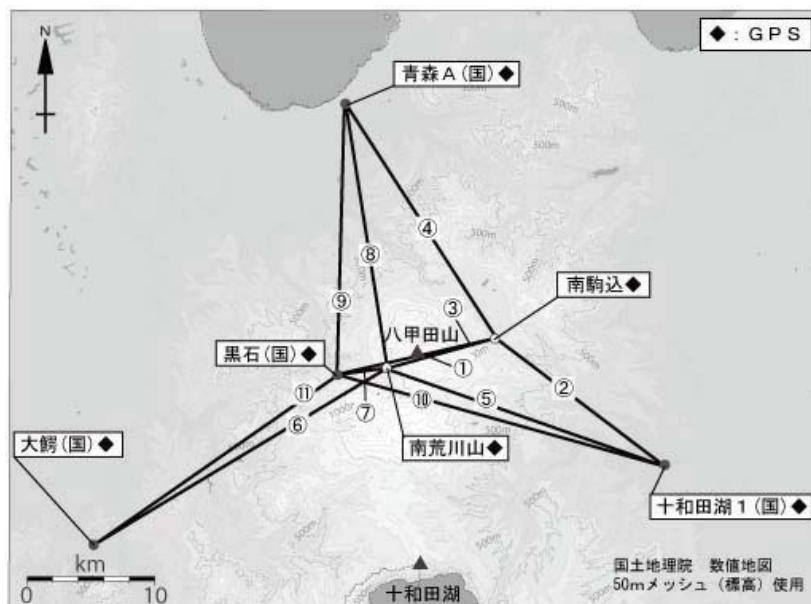
第17図 八甲田山 8月21日5時16分に発生した低周波地震の震動軌跡解析

- ・ 1 Hz ローパスフィルターを使用した波形の水平成分軌跡
(解析時間は各観測地点で震動が開始したと思われる1秒前から5秒間)
- ・ 軌跡は概ね大岳山頂方向を指向している。



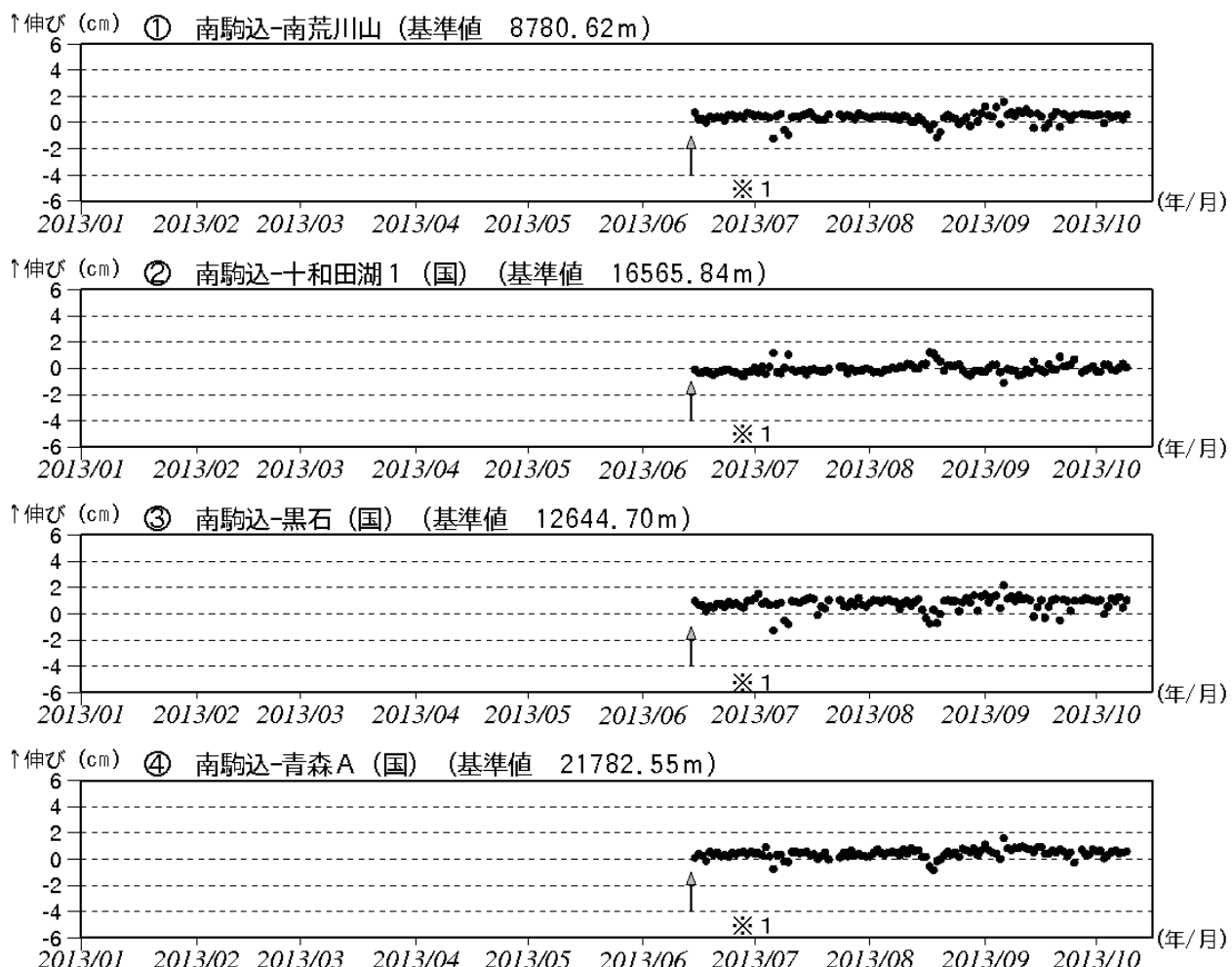
第18図 八甲田山 観測点配置図

- ・ 小さな白丸（○）は気象庁、小さな黒丸（●）は気象庁以外の機関の観測点位置を示す。
(弘) : 弘前大学 (東) : 東北大学 (青) : 青森県 H : 独立行政法人防災科学技術研究所



第19図 八甲田山 GPS 観測点配置図

- 小さな白丸（○）は気象庁、小さな黒丸（●）は気象庁以外の機関の観測点位置を示す。
(国)：国土地理院
- 南駒込と南荒川山は気象庁が設置した現地収録型の臨時観測点である。

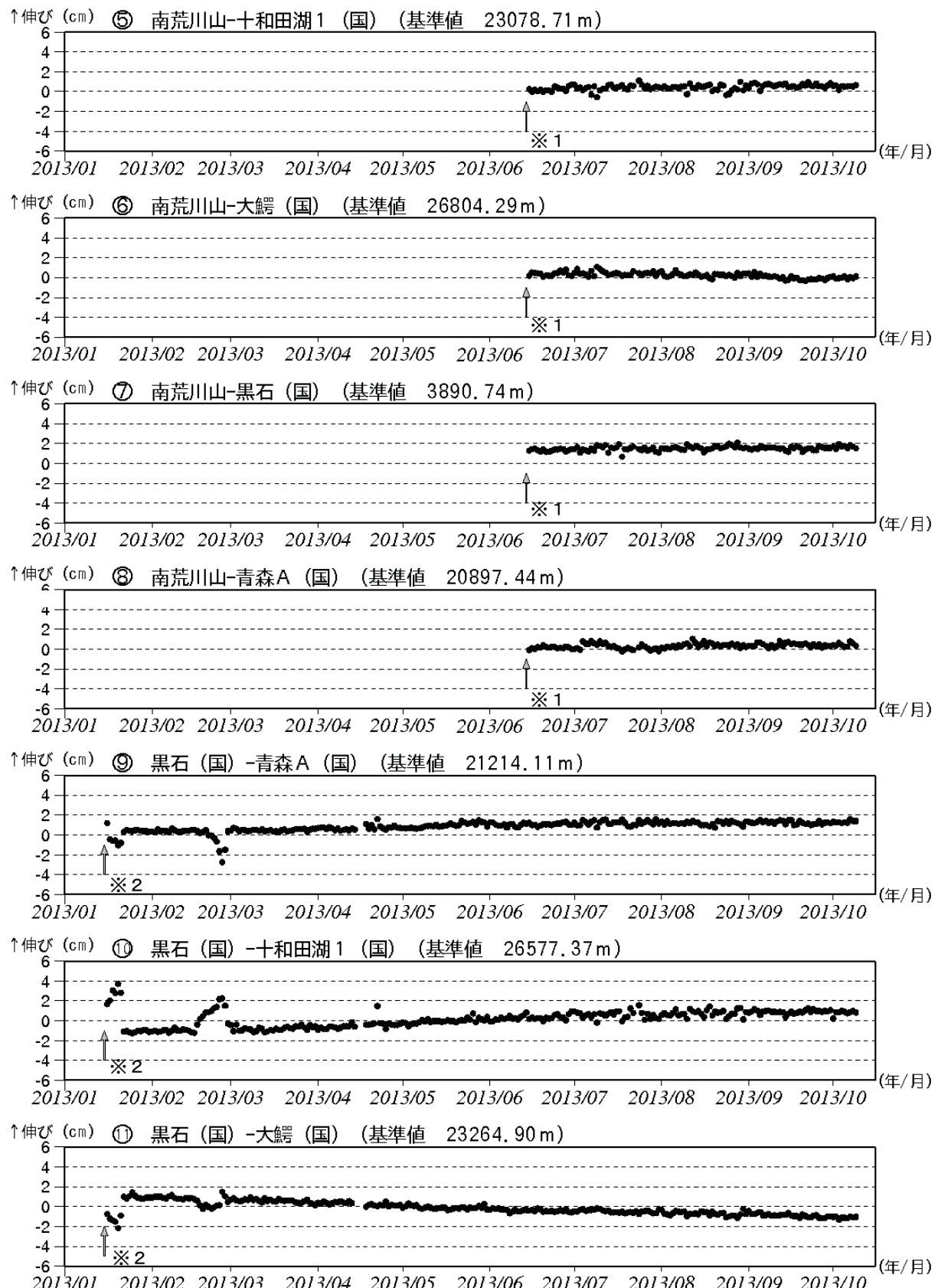


第20-1図 八甲田山 GPS 基線長変化図（2013年6月～2013年10月9日）

- ①～④は第19図のGPS基線①～④に対応している。
- グラフの空白部分は欠測を表している。
- (国)：国土地理院
- 特段の変化は認められない。

※1 2013年6月15日より南駒込と南荒川山の観測を開始している。

八甲田山



第20-2図 八甲田山 GPS 基線長変化図 (2013年1月~2013年10月9日)

- ・⑤~⑪は第19図のGPS基線⑤~⑪に対応している。
- ・グラフの空白部分は欠測を表している。(国) : 国土地理院
- ・国土地理院の広域的な地殻変動観測結果では、八甲田山を囲む基線で、2月頃以降小さな膨張性の地殻変動がみられている。
- ・気象庁が南駒込と南荒川山に設置した臨時GPS観測装置による連続観測の結果では、6月15日から10月9日の間に特段の変化は認められない。

※1 2013年6月15日より南荒川山の観測を開始している。

※2 2013年1月16日より解析を開始している。

八甲田山

○ふかしの湯(酸ヶ湯温泉)の化学組成

多数の泉源が分布する八甲田山地域において、湧出孔の確認できた酸ヶ湯温泉、ふかしの湯（通称、まんじゅうふかし）の温泉水を採取する機会が得たので報告する。

温泉水は10mほど離れたボーリング孔（泉源）から引湯されている木製ベンチの排湯を採取した。泉温は86.5°C、排湯量は目視で50リットル/分程度である。ボーリング孔の深度・口径は不明で、温泉はエアーリフトによって揚湯されている。エアー管の口径、設置も不明だが、使用されているコンプレッサーの大きさから10m以浅と判断される。

表1に分析結果を手元にある資料から引用した値とともに示す。採取した温泉水も、既に知られているように SO_4^{2-} イオンに富む強酸性硫酸泉である。

また、表1の温泉水の特性を SO_4^{2-} -Cl濃度関係図でみると（図1）、いずれも八甲田熱水系の領域近傍に図示されるが、 SO_4^{2-} およびClイオンとも時間とともに増加しているように見える。泉源の状態など不明な点多く、この傾向が有意とは言い難いが、注目される傾向である。

なお酸ヶ湯温泉従業員の話では、2～3年前から4、5月に酸ヶ湯温泉で泉温低下が認められるようになったという事であった。

表1. ふかし湯の組成分析結果

採取年月日	2013.08.08	(1)	1961.02.10
温 度 (°C)	86.5	90.7	89.0
pH(採取点)		1.0	1.2
pH(試験室)	0.0		1.7
K (mg/l)	37.1	14.2	6.6
Na (mg/l)	120.5	78.6	88.3
Ca (mg/l)	51.4	432.0	35.6
Mg (mg/l)	191.4	322.0	363.2
Cl (mg/l)	2861.2	1840.0	729.5
SO_4^{2-} (mg/l)	9385.5	7880.0	1467.2
HCO_3^- (mg/l)		< 10	1.1
湧出量 (L/min)			48
湧出形態	エアーリフト		自 噴

注) 2013年のpHはpH計で測定不能。(1)は村岡ほか(1991)から引用。採取年月日およびpH値計測場所の記載無し。1961年は青森県衛生研究所未公表資料、比留川ほか(1977)から引用

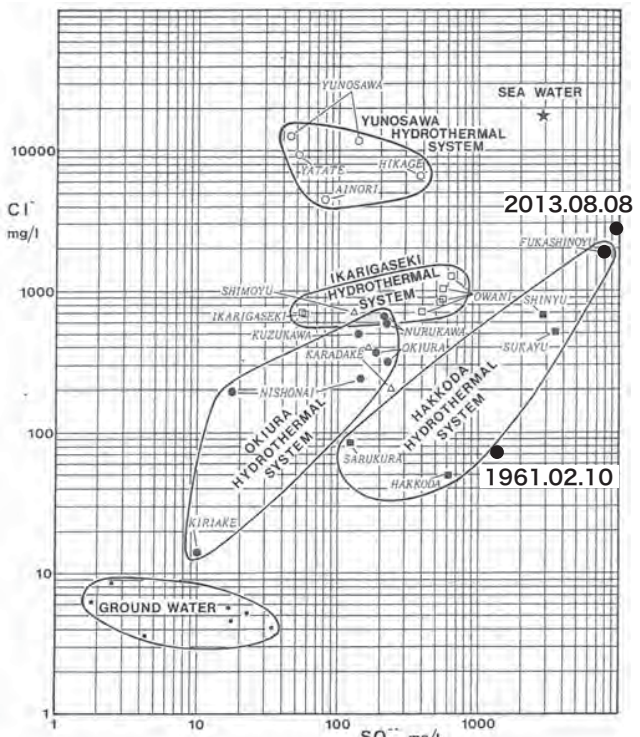


図1. ふかし湯（黒丸）の SO_4^{2-} およびCl濃度の関係。八甲田山地域における高温泉の SO_4^{2-} -Cl濃度相関図（村岡ほか、1991）に加筆。

（大島、安孫子）

八甲田山

八甲田山の低周波・長周期地震活動

八甲田山周辺では 2013 年 2 月以降、低周波・長周期地震が断続的に発生している。

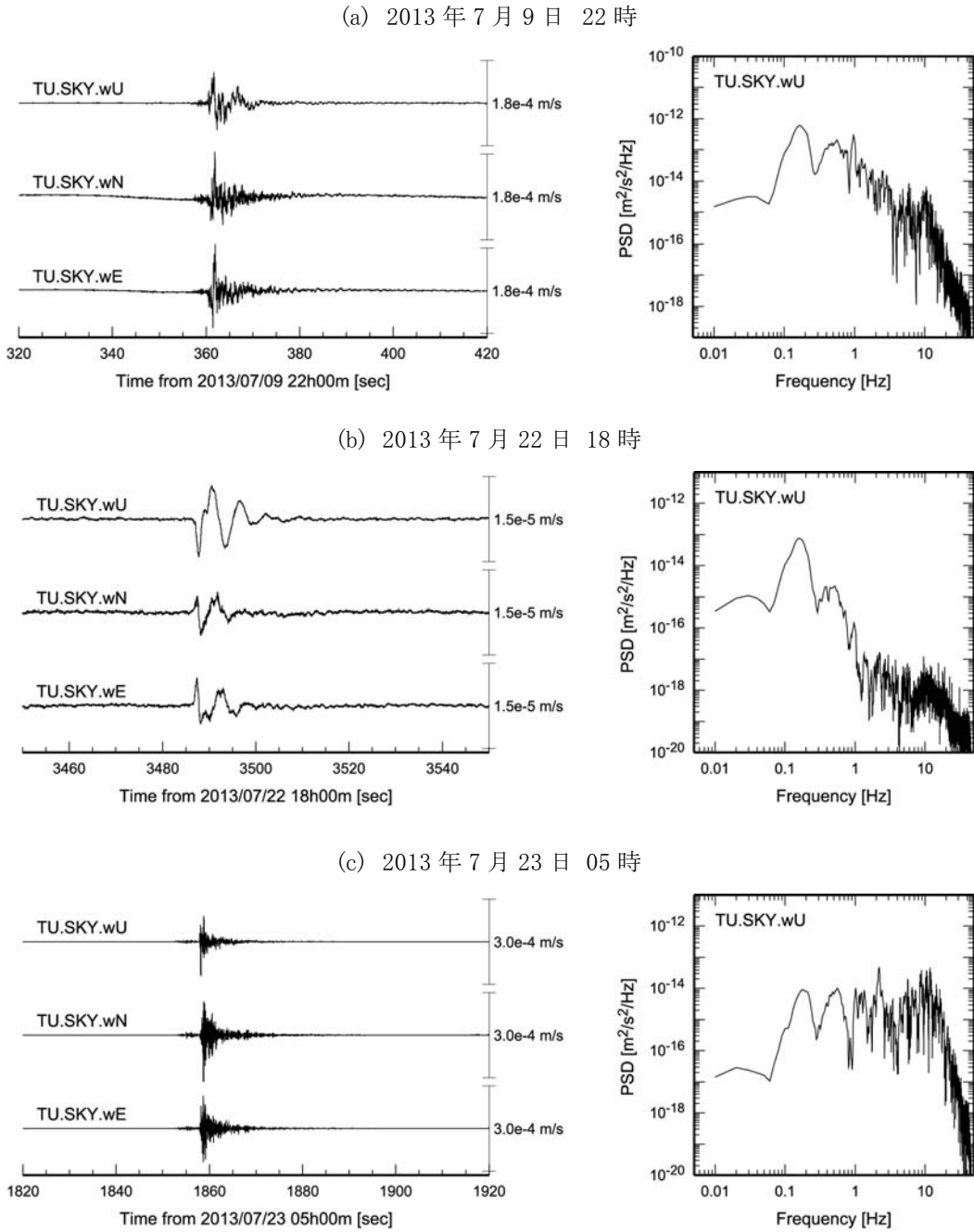


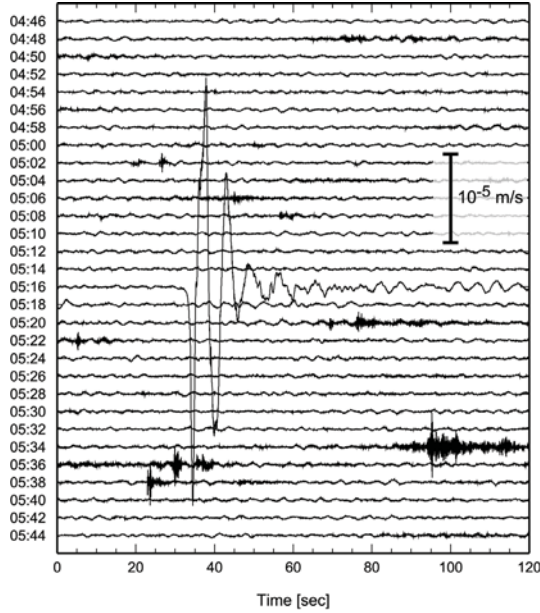
図 1. 八甲田山では、2013 年 2 月以降、低周波地震・長周期地震が断続的に発生した。酸ヶ湯臨時観測点 (TU.SKY) における波形と速度スペクトル密度の例を示す。wU, wN, wE は、地表広帯域地震計(CMG-3ESPC)の上下・南北・東西成分。観測点位置は図 3 参照。

6~7 秒に卓越周期を持ち、その上に複数のスペクトルピークを持つ。また、高周波成分がやや先行して重畠することが多い。振動継続時間は比較的短く、数サイクルで振幅は減衰する。

八甲田山の低周波・長周期地震活動

低周波・長周期地震の発生様式は時期により多様な様相を呈する。低周波・長周期地震の振動源は、大岳近傍・深さ 2~3km 付近と推定される。

(a) 2013 年 8 月 21 日 4~5 時 1 時間記録



(b) 2013 年 7 月 21 日 23 時 1 時間記録

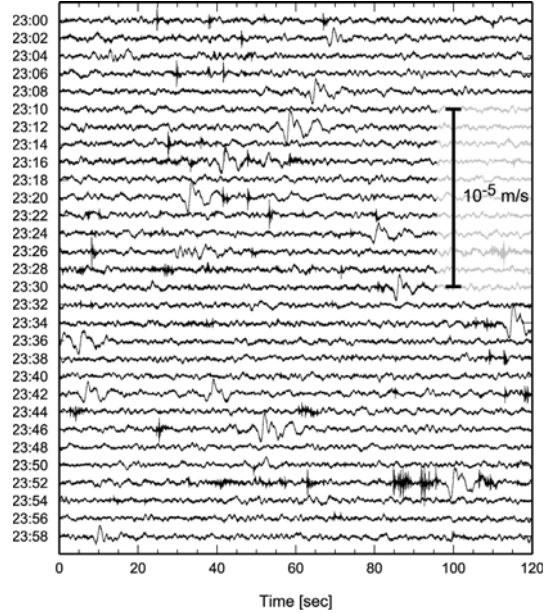
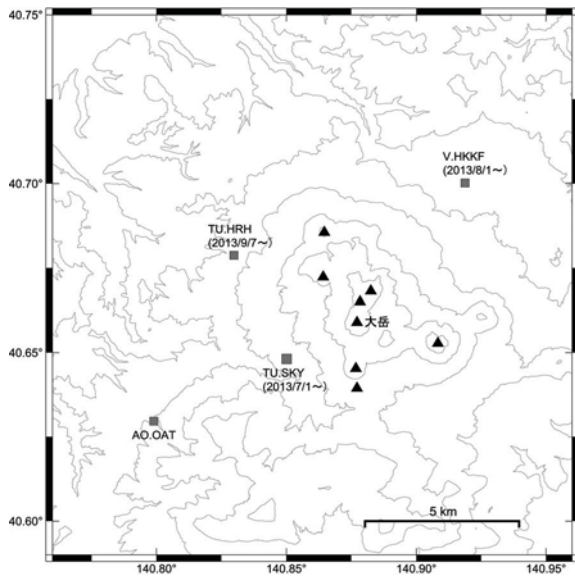


図 2. 低周波・長周期地震は酸ヶ湯臨時観測点での開始(2013 年 7 月 1 日)以降では、日に十数イベント程度断続的に発生した。7 月下旬には、小規模の長周期地震が 1,2 分おきに発生。

(a)



(b)

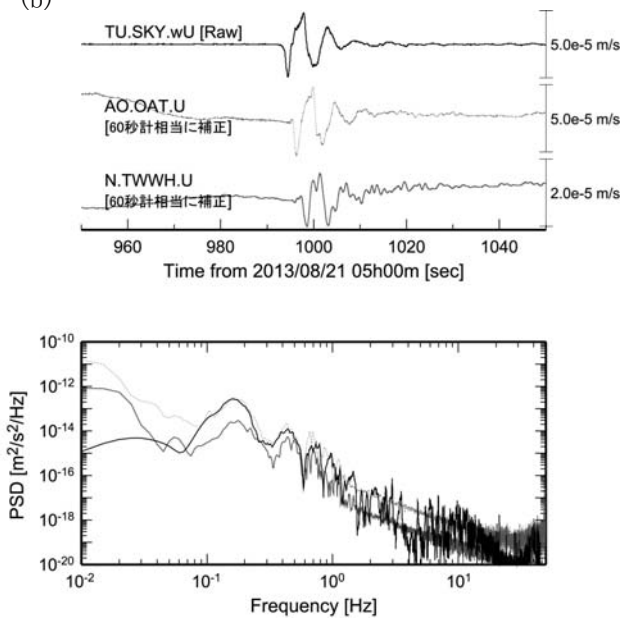


図 3. 規模の大きな低周波・長周期地震は、近傍の観測点(AO.OAT: 青森県・沖揚平, N.TWWH: 防災科研・十和田西)のみならず、80km 程度以内の基盤観測網でも記録された。これらの記録の振幅方位分布などから、長周期地震の振動源は、大岳近傍・深さ 2~3km にある鉛直開口亀裂であることが示唆される。地形図の作成には国土地理院発行の数値地図を使用した。

八甲田山に関する TerraSAR-X 画像解析

使用データ

SAR: TerraSAR-X, 波長: 31mm, 偏波: HH, 入射角: 39 度(シーンセンター), 軌道: 北行

観測日: 2013/8/5, 2013/8/16, 2013/8/27, 2013/9/7, 2013/9/18, 2013/9/29, 2013/10/10

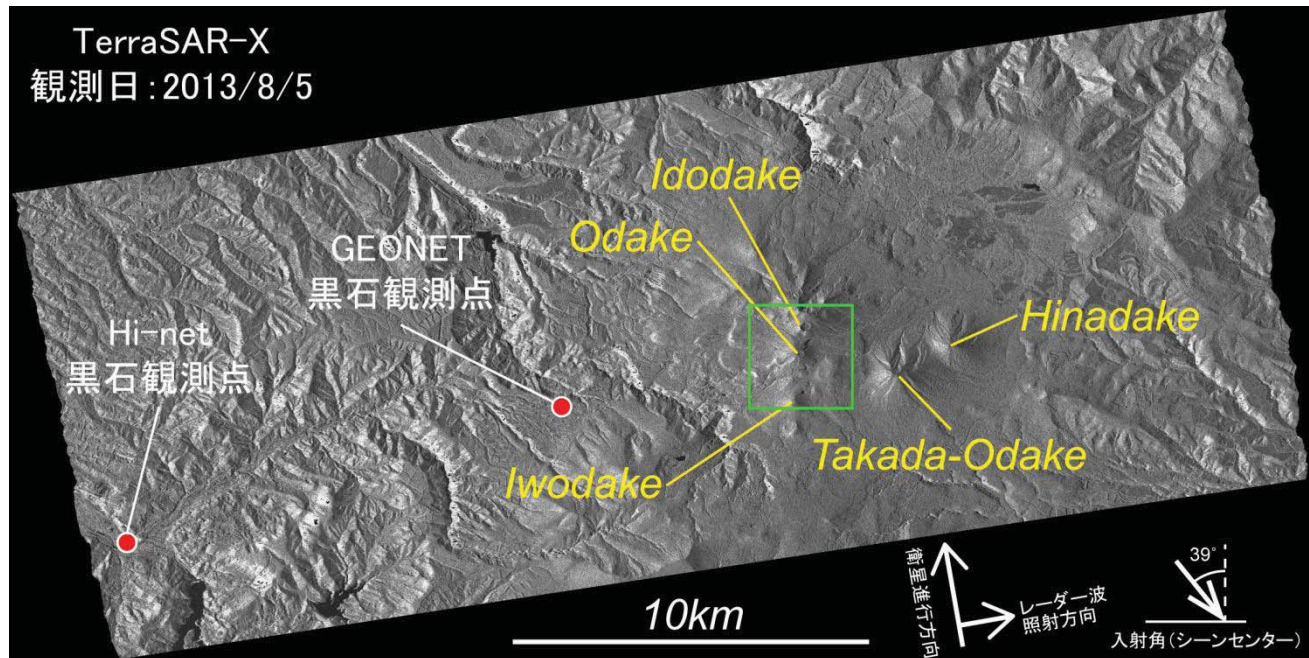
○2013年8月5日以降に取得されたTerraSAR-X画像において、井戸岳の火口内・東山腹、大岳の北東・東・南山腹、硫黄岳の北東山腹に、水たまりもしくは雪田の面積減少・消失によると考えられる散乱強度の増加が見られる。その他、地形変化を示すような顕著な散乱強度の変化は見られない(第2図)。

○TerraSAR-X画像を用いたSAR干渉解析を試みたところ、2013/8/5から2013/8/27の期間においては、地殻変動を検出できる程度の干渉性は得られなかった(第3図)。

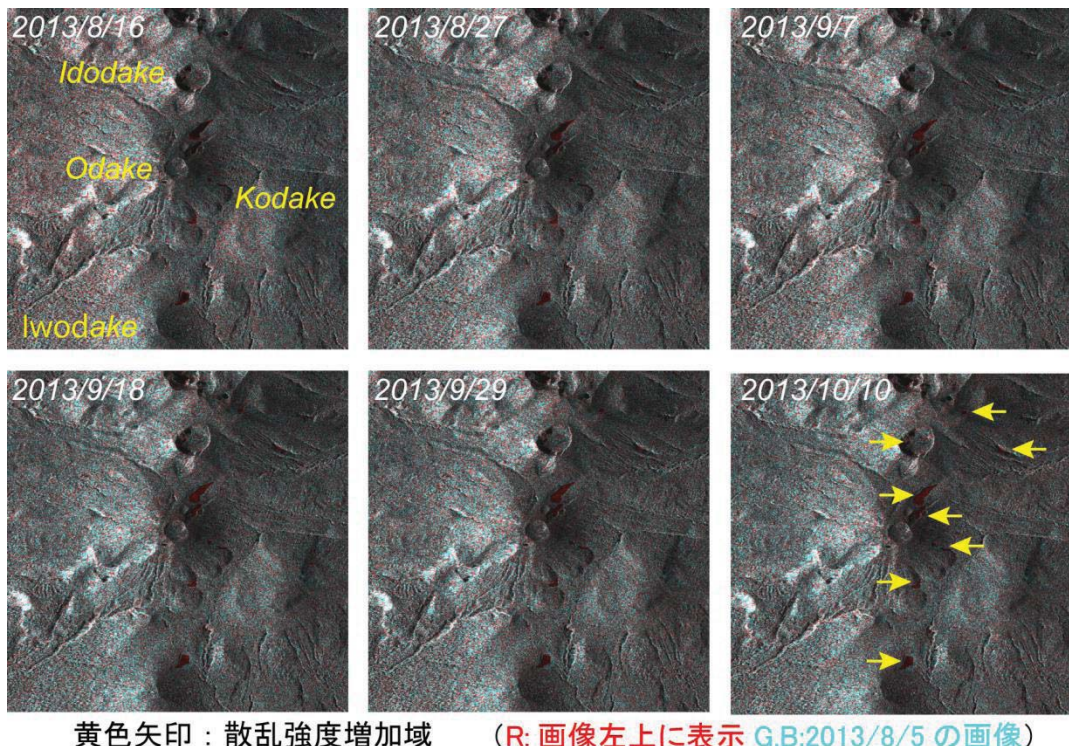
○2013/8/27以降においては干渉を得ることができたが、ノイズレベルを超える有意な変化は検出されなかった(第4図)。

○GPS観測から求めたHinet黒石観測点に対するGEONET黒石観測点の地殻変動においても、有意な変化は見られず、TerraSAR-Xの解析結果はそれと整合的である(第5図)。

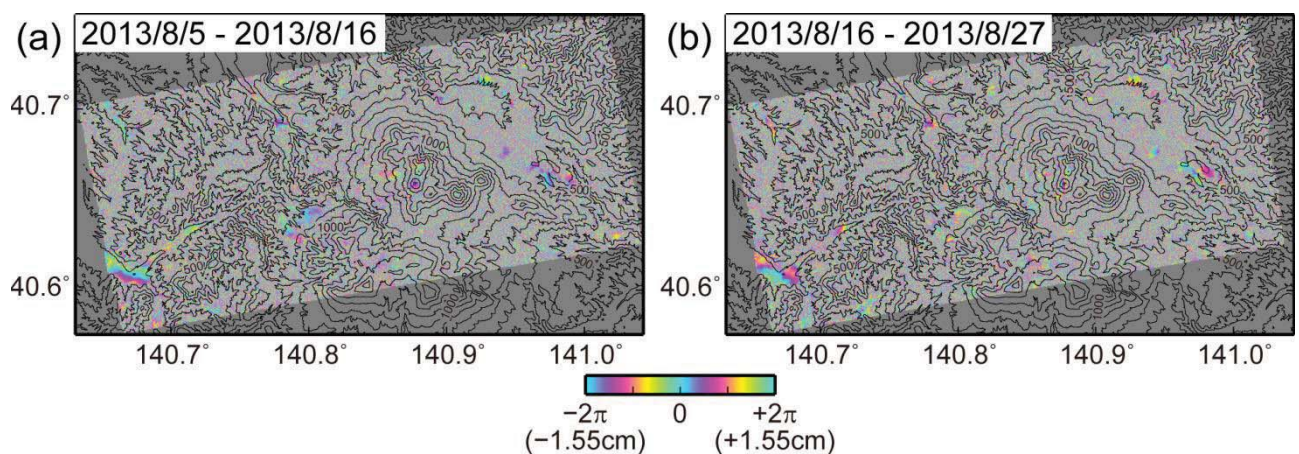
謝辞. 本解析に使用した TerraSAR-X データの所有権はドイツ航空宇宙センター(DLR)が有するものであり、宇宙航空研究開発機構(JAXA)と DLRとの間で進められている、衛星を利用した災害監視に係る共同研究を通じて配布されたものである。解析および図の作成においては、国土地理院のGNSSデータおよび基盤地図情報 10m メッシュ DEM を使用した。



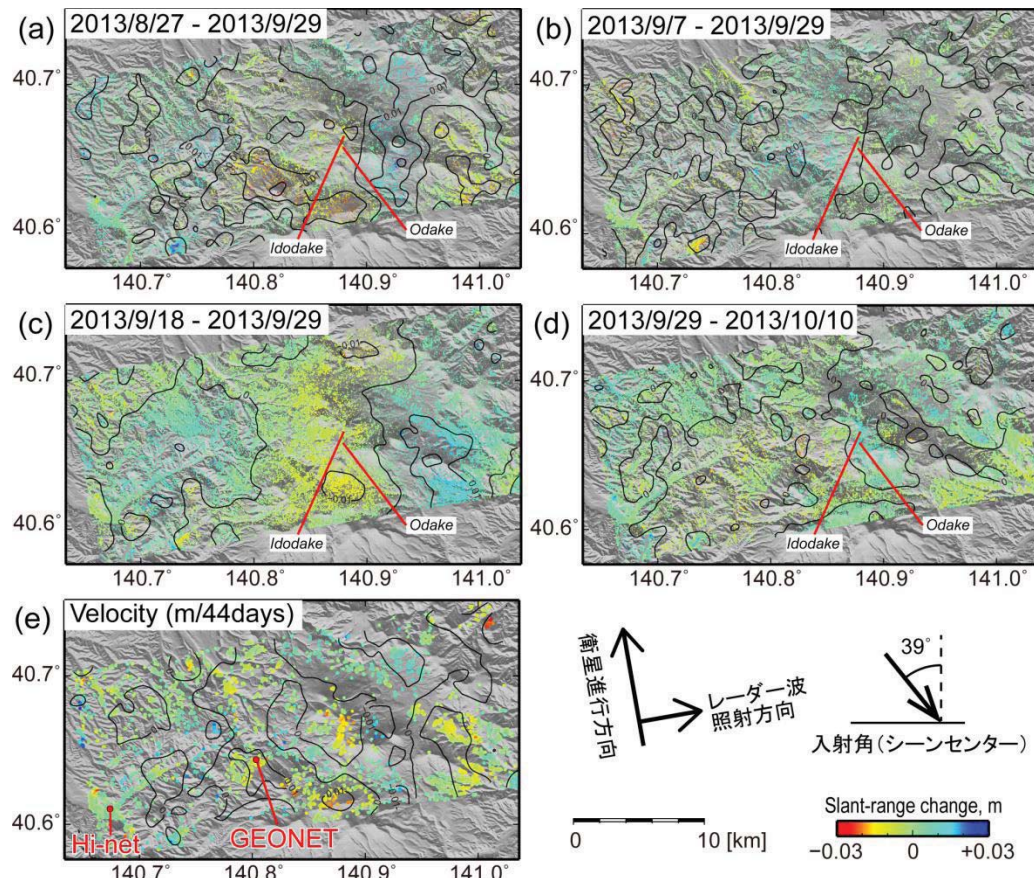
第1図. 2013/8/5に観測されたTerraSAR-X画像。緑線は第2図の範囲を示す。



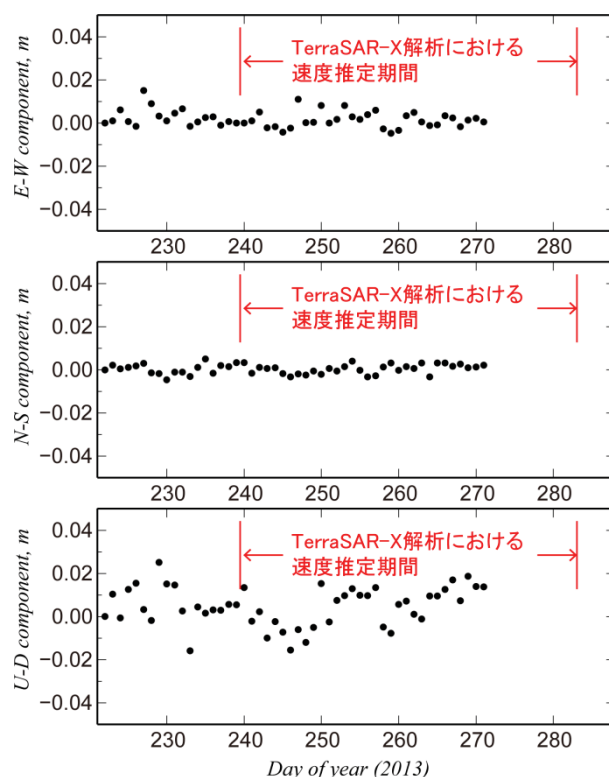
第2図. TerraSAR-X 画像から作成したカラー合成画像。2013/8/5 に観測された画像を緑と青、各画像の左上に示す日に観測された画像を赤に割り当てた。黄色矢印は散乱強度が増加した地域を示す。



第3図. TerraSAR-X 画像を用いた SAR 干渉解析結果。(a) 2013/8/5 – 2013/8/16 の干渉ペア。(b) 2013/8/16 – 2013/8/27 の干渉ペア。



第4図. (a)-(d) TerraSAR-X 画像から求めた地殻変動(衛星-地表間距離変化)。使用した画像の取得日は、各画像の左上に示す。(e) (a)-(d)の線形近似から求めた衛星-地表間距離変化の平均速度(m/44日)。



第5図. GPS観測から求めた Hinet 黒石観測点に対する GEONET 黒石観測点の地殻変動(2013/8/10 – 2013/9/28)。

八甲田山に関する PALSAR 干渉解析

陸域観測技術衛星「だいち」の PALSAR データを用い、2007~2010 年の地殻変動を調査した。

解析データ.

(SAR センサ:PALSAR, 波長:23.6cm, 偏波:HH, 入射角:39 度(シーンセンター))

パス 057(南行軌道):2006/8/26 – 2008/10/16, 2006/10/11 – 2008/8/31,
2007/7/14 – 2009/10/19, 2007/10/14 – 2010/7/22

パス 058(南行軌道):2006/7/28 – 2009/8/5, 2006/9/12 – 2008/9/17,
2007/9/15 – 2009/9/20, 2008/5/2 – 2010/5/8

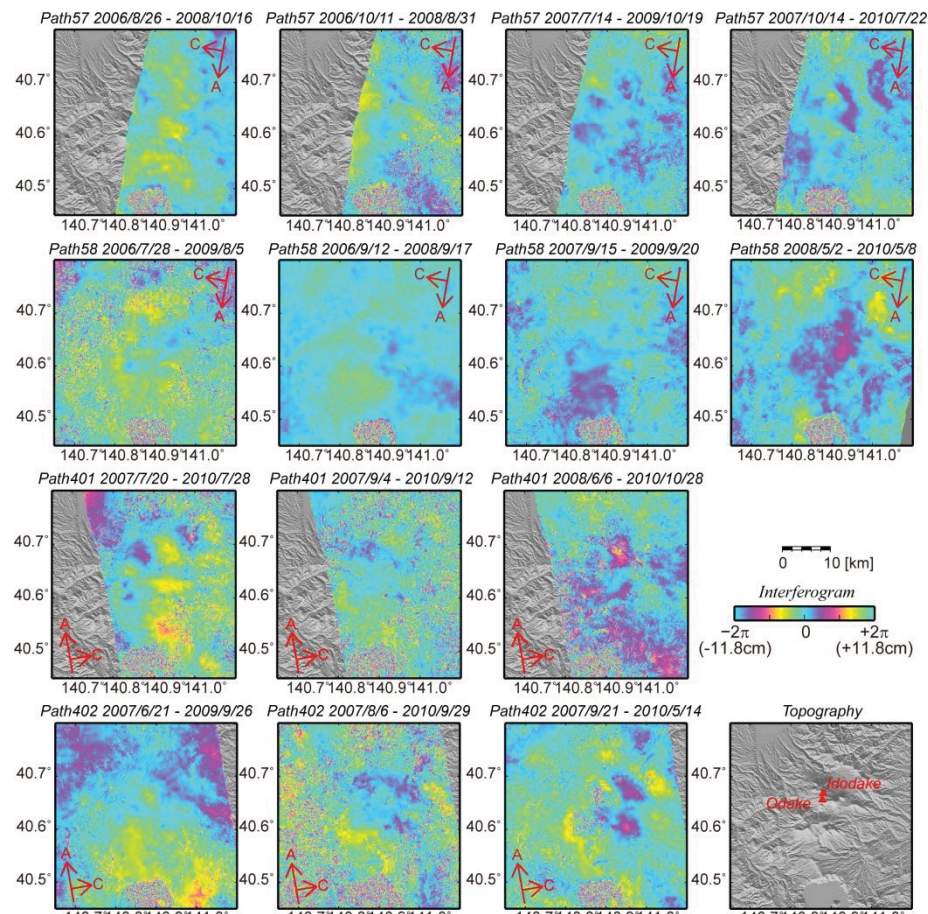
パス 401(北行軌道):2007/7/20 – 2010/7/28, 2007/9/4 – 2010/9/12, 2008/6/6 – 2010/10/28

パス 402(北行軌道):2007/6/21 – 2009/9/26, 2007/8/6 – 20010/9/29, 2007/9/21 – 2010/5/14

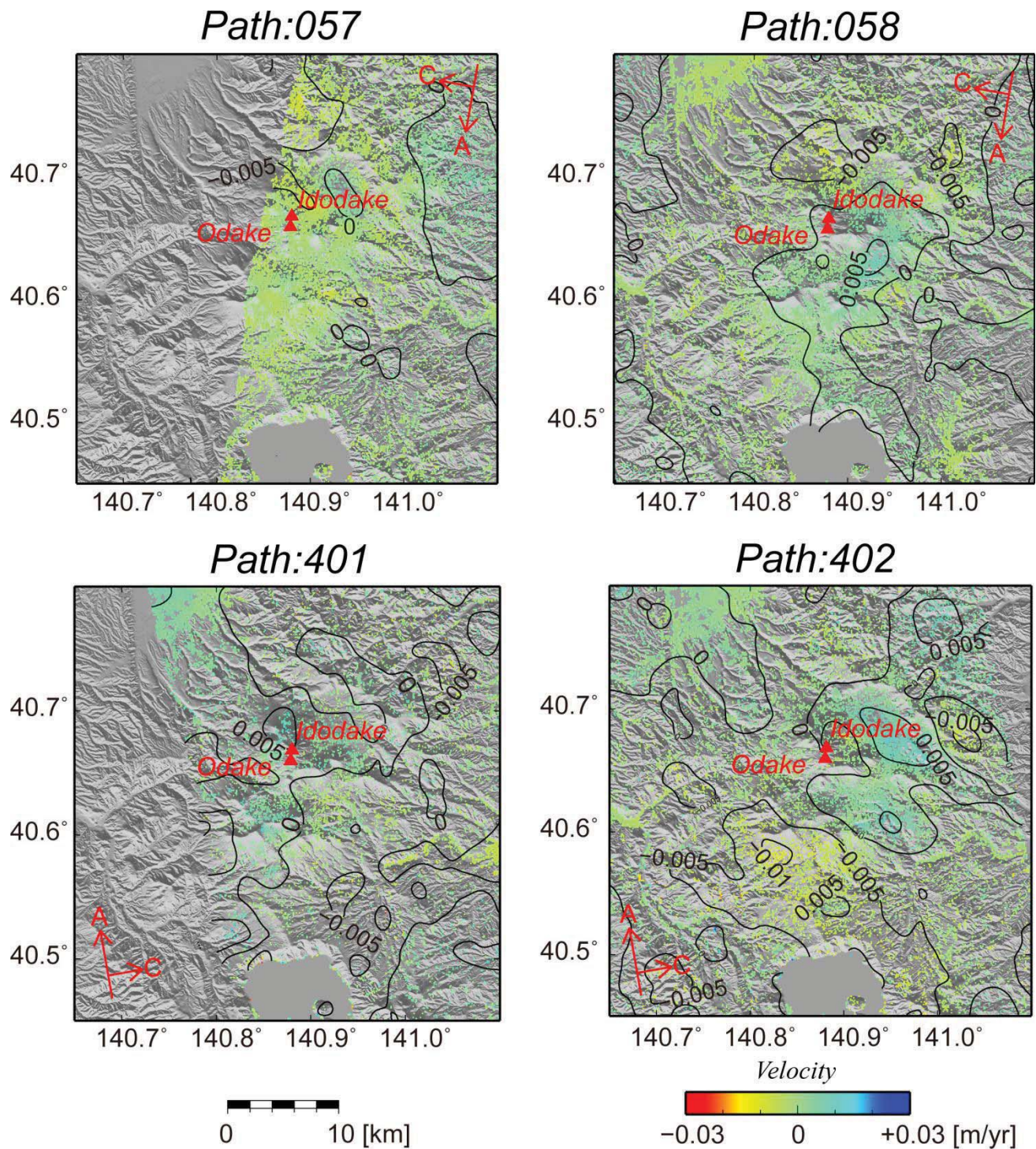
結果.

ノイズレベルを超える有意な地殻変動は検出されなかった。

謝辞. 本研究で用いた PALSAR データの一部は、PIXEL (PALSAR Interferometry Consortium to Study our Evolving Land surface)において共有しているものであり、宇宙航空研究開発機構 (JAXA)と東京大学地震研究所との共同研究契約により JAXA から提供されたものである。また、防災利用実証実験火山 WG において提供された PALSAR データも使用した。PALSAR データの所有権は経済産業省および JAXA にある。解析および図の作成においては、基盤地図情報 10m メッシュ DEM を使用した。



第 1 図. PALSAR データを用いた SAR 干渉解析から得られた干渉画像。



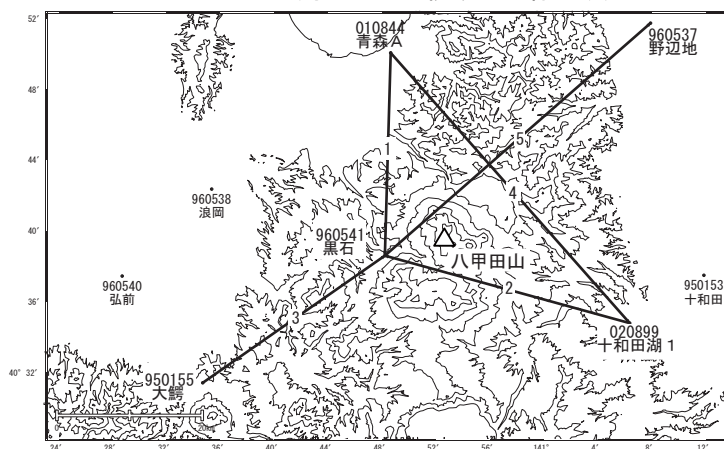
第2図. 第1図に示す干渉画像のスタッキング解析から得られた衛星-地表間距離変化速度。センターは0.005m毎の等速度線を示す。

八甲田山

八甲田山

八甲田山を囲む基線では、2月頃以降小さな膨張性の地殻変動が見られる。

八甲田山周辺GNSS連続観測基線図(1)



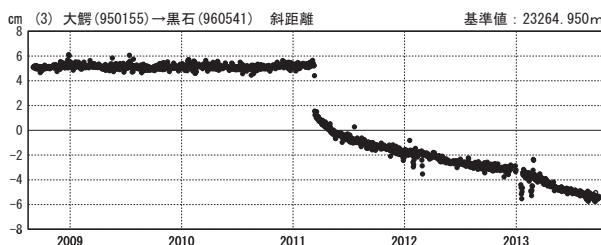
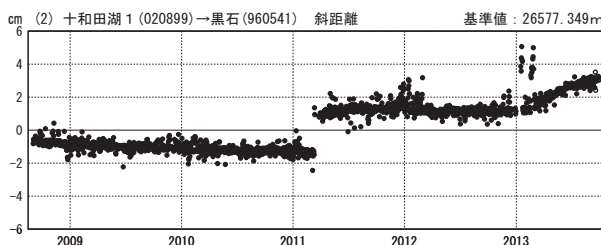
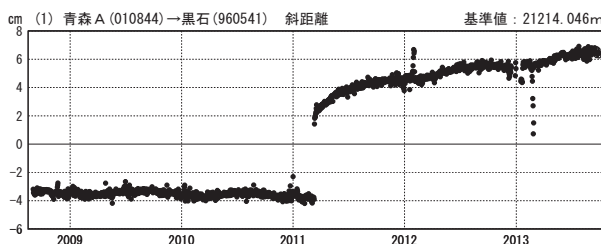
八甲田山周辺の各観測局情報

点番号	点名	日付	保守内容
950155	大鰐	20091215	レドーム開閉・受信機交換
		20121002	アンテナ交換
960541	黒石	20091215	レドーム開閉・受信機交換
		20121004	アンテナ交換
		20130606	周辺伐採
		20130709	周辺伐採

点番号	点名	日付	保守内容
950537	野辺地	20091217	レドーム開閉・受信機交換
		20120928	アンテナ交換
010844	青森A	20010801	青森→青森A移転
		20091017	周辺伐採
		20121004	アンテナ・受信機交換

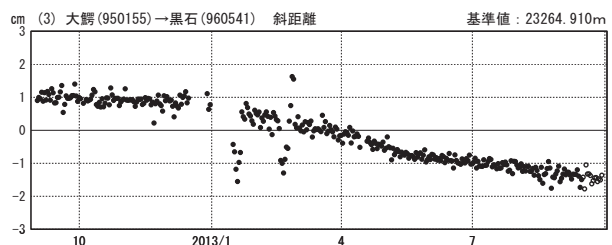
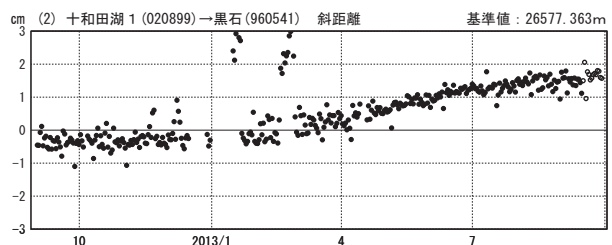
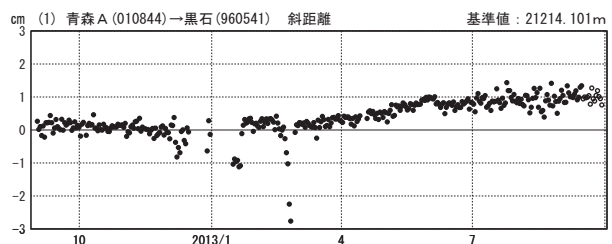
基線変化グラフ

期間：2008/09/01～2013/09/28 JST



基線変化グラフ

期間：2012/09/01～2013/09/28 JST



●---[F3:最終解] ○---[R3:速報解]

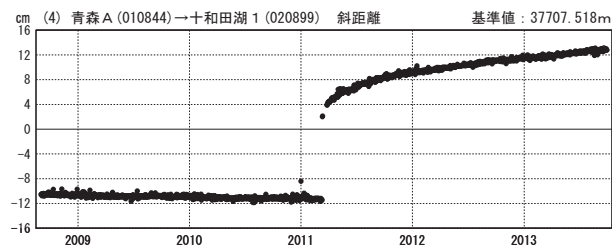
※[R3:速報解]は暫定値、電子基準点の保守等による変動は補正済み

第127回火山噴火予知連絡会

国土地理院

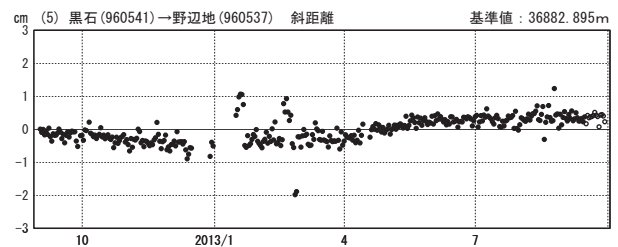
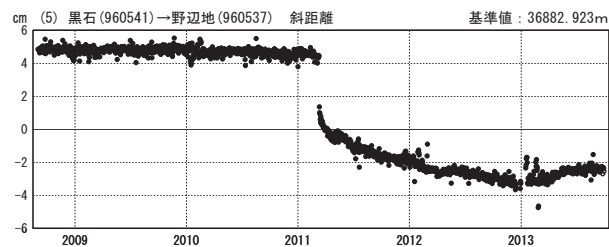
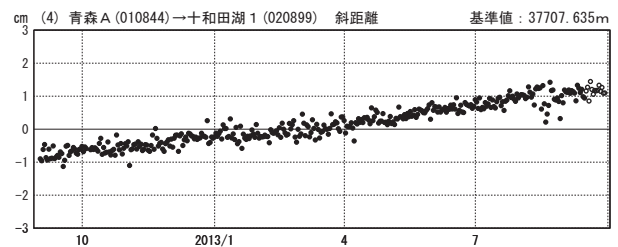
基線変化グラフ

期間：2008/09/01～2013/09/28 JST



基線変化グラフ

期間：2012/09/01～2013/09/28 JST



●---[F3:最終解] ○---[R3:速報解]

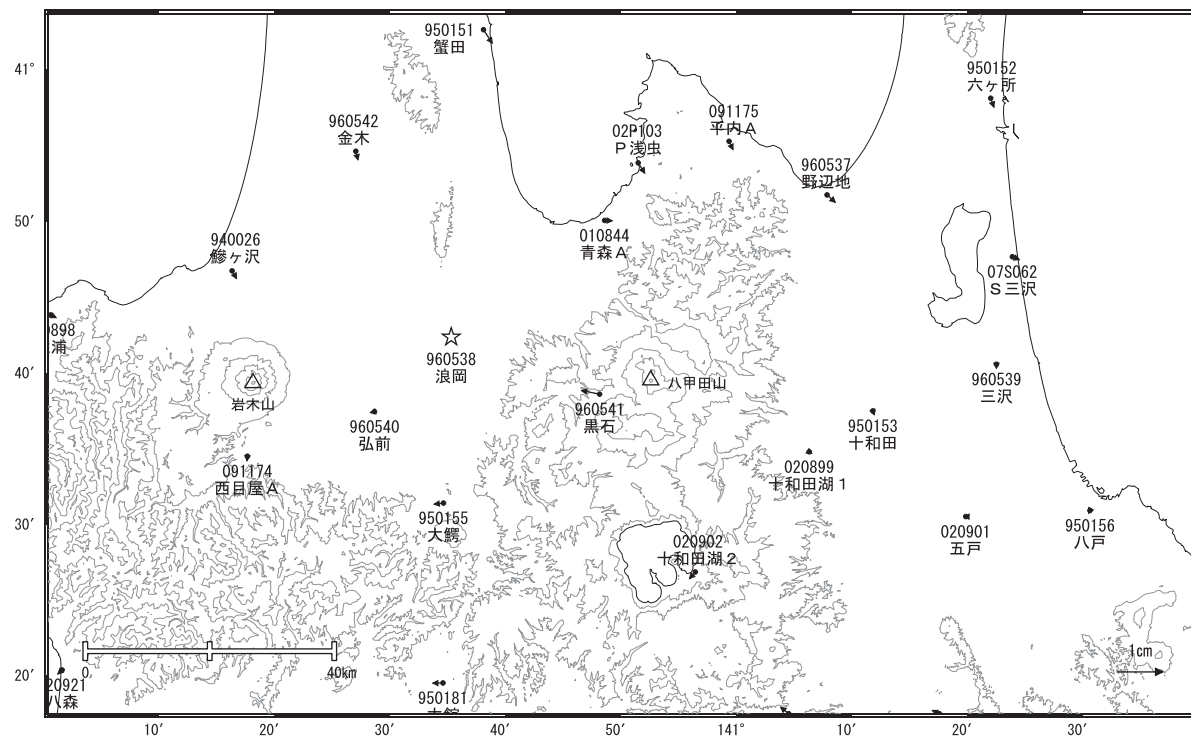
国土地理院

八甲田山

八甲田山周辺の地殻変動(水平:3ヶ月) 一次トレンド除去

基準期間:2013/06/01～2013/06/10[F3:最終解]
比較期間:2013/09/01～2013/09/10[F3:最終解]

計算期間:2012/02/01～2013/02/01



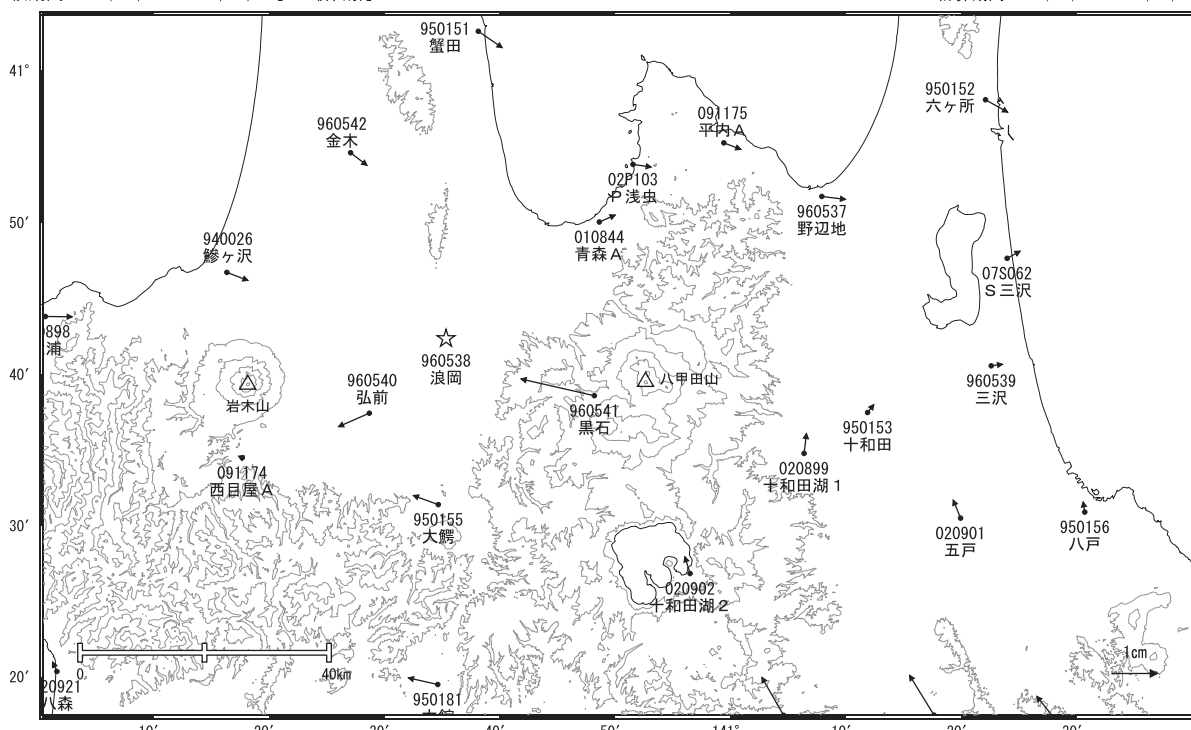
☆ 固定位:浪岡(960538)

国土地理院

八甲田山周辺の地殻変動(水平:1年) 一次トレンド除去

基準期間:2012/09/01～2012/09/10[F3:最終解]
比較期間:2013/09/01～2013/09/10[F3:最終解]

計算期間:2012/02/01～2013/02/01



☆ 固定位:浪岡(960538)

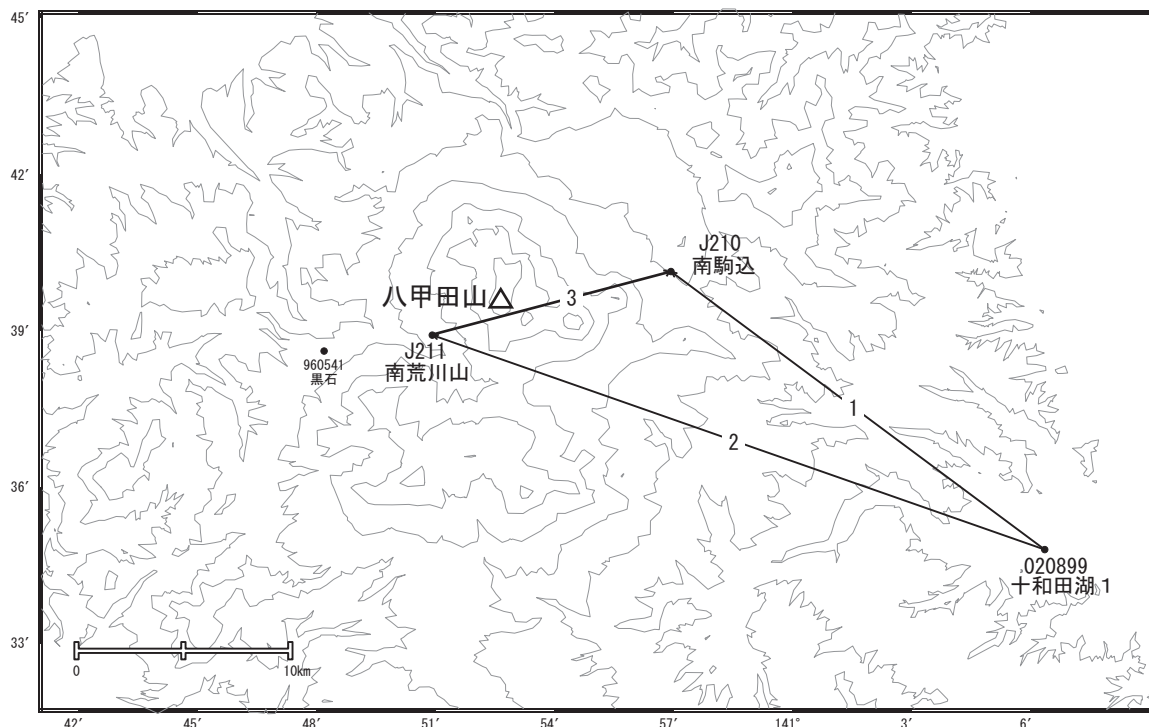
国土地理院

※ 電子基準点の保守等による変動は補正済み

八甲田山

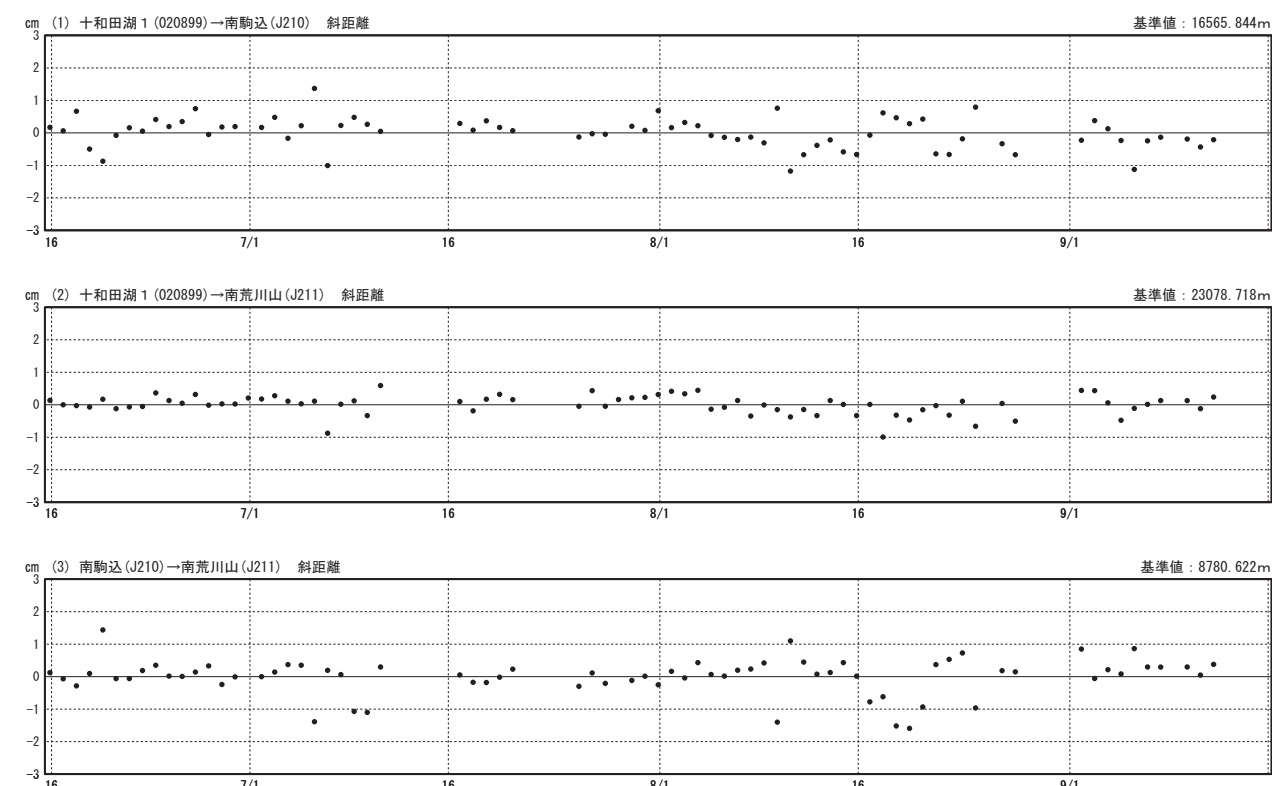
八甲田山

八甲田山周辺GNSS連続観測基線図(2)



基線変化グラフ

期間：2013/06/15～2013/09/15 JST



●—[F3:最終解] ○—[R3:速報解]

※[R3:速報解]は暫定値、電子基準点の保守等による変動は補正済み

国土地理院

八甲田山

秋田焼山

(2013年9月30日現在)

火山活動に特段の変化はなく、静穏に経過しており、噴火の兆候は認められない。

平成25年7月25日の噴火警戒レベル運用開始に伴い、噴火予報（噴火警戒レベル1、平常）を発表した。秋田焼山の活動状況及び予報警報事項に変更はない。

○概況（2013年6月～9月30日）

・噴気等の表面現象の状況（第2図、第3-①図）

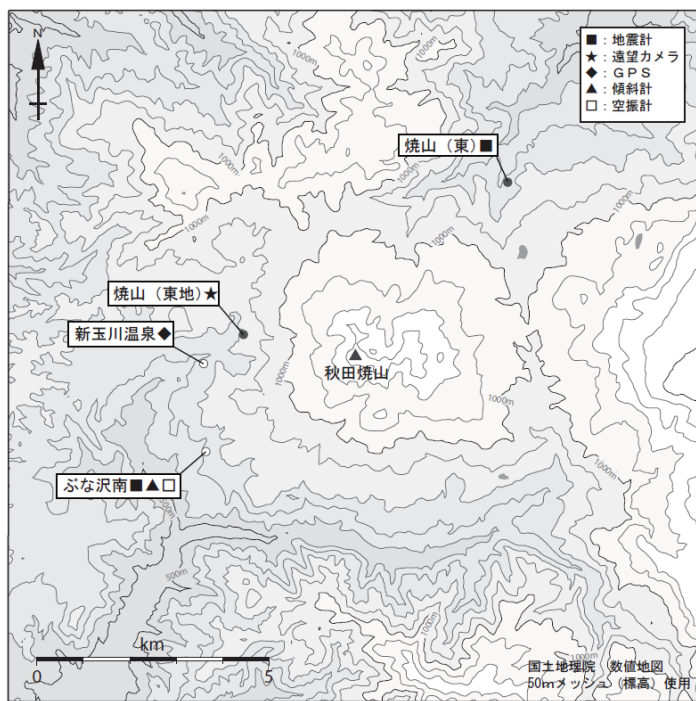
東北地方整備局が山頂の西約2kmに設置している焼山監視カメラによる観測では、湯沼の噴気の高さが7月20日に一時的に200mとなつたが、それ以外は叫沢源頭部を含む噴気の高さは20m以下で、噴気活動は低調な状態が続いている。

・地震活動（第3-②図、第4図）

火山性地震は少ない状況が続いており、火山性微動は観測されなかつた。

・地殻変動（第5、7図）

GPS連続観測及びぶな沢南観測点（山頂の南西約4km）の傾斜計では、火山活動によると考えられる変化は認められなかつた。



第1図 秋田焼山 観測点配置図

小さな白丸（○）は気象庁、小さな黒丸（●）は気象庁以外の機関の観測点位置を示す。

（東地）：東北地方整備局 （東）：東北大

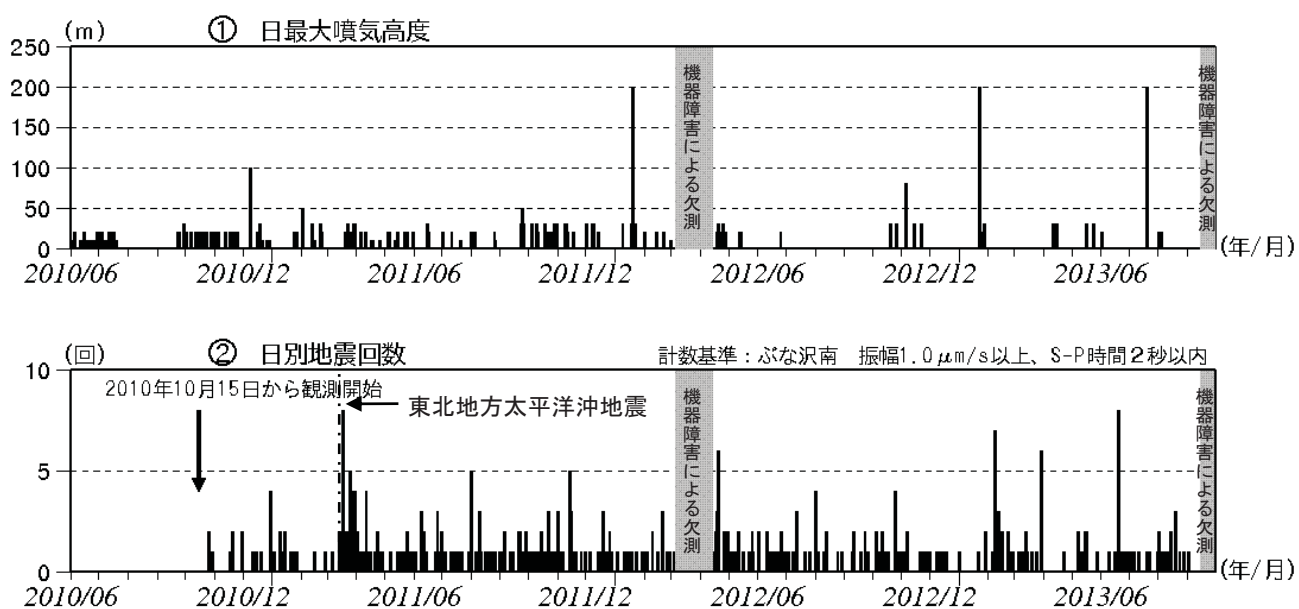
この資料は気象庁のほか、国土交通省東北地方整備局、国土地理院、東北大、弘前大学及び独立行政法人防災科学技術研究所のデータを利用して作成した。



第2図 秋田焼山 叫沢源頭部の噴気の状況（2013年7月20日21時25分頃）

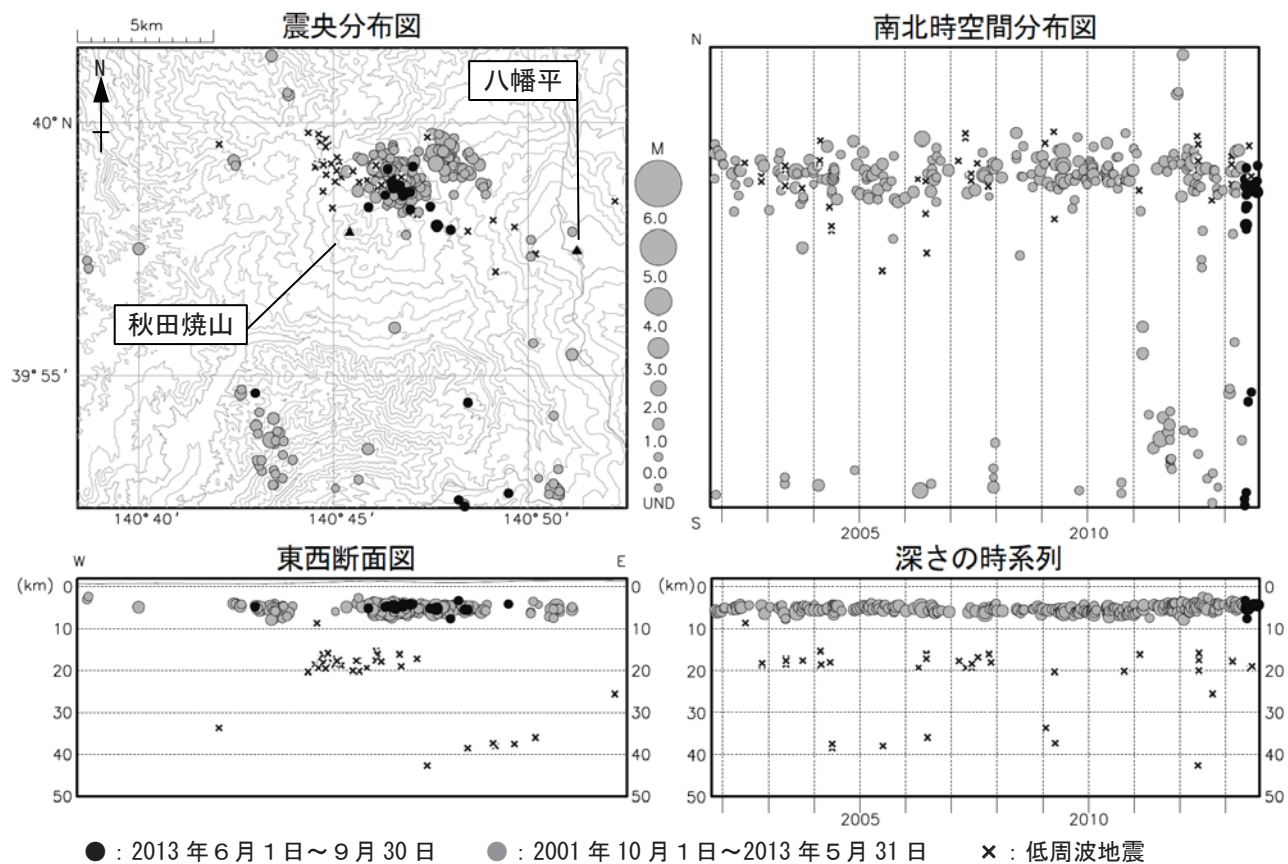
山頂の西約2kmに設置してある焼山監視カメラ（東北地方整備局）による。

実線赤丸で囲んだのが、湯沼の噴気で高さ200m。



第3図 秋田焼山 火山活動経過図（2010年6月～2013年9月30日）

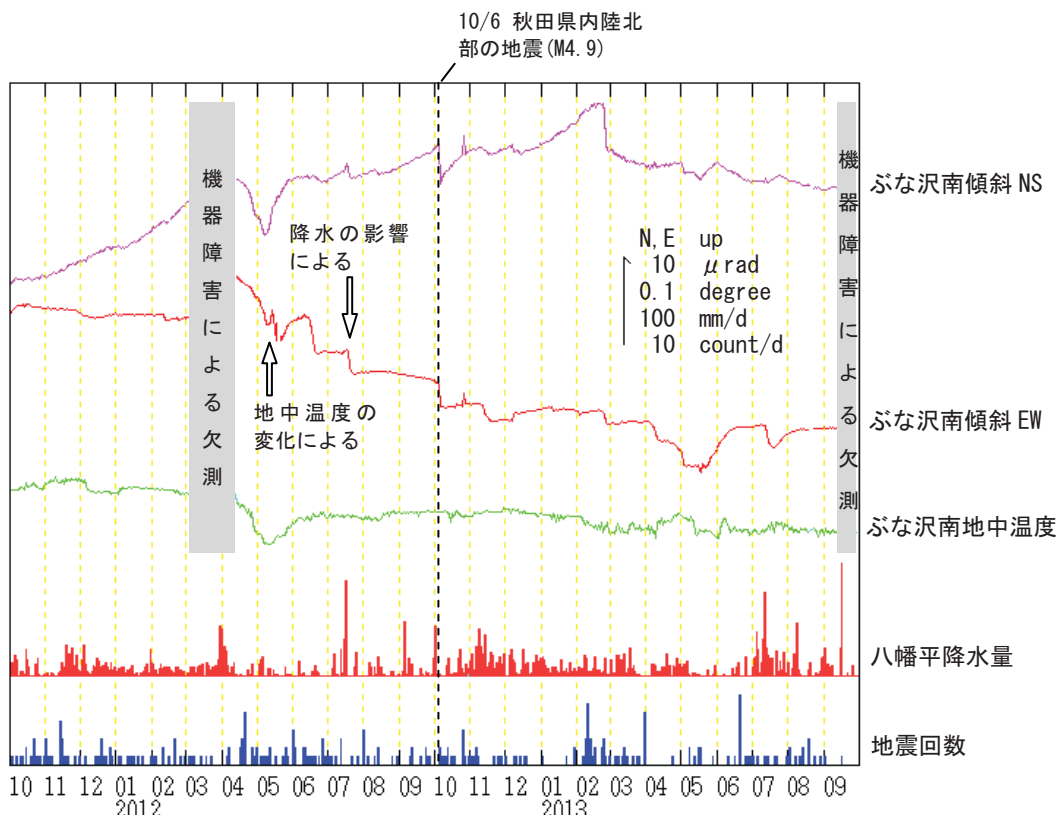
- ・①2010年6月1日から焼山監視カメラ（東北地方整備局）により観測開始。
- ・②2010年10月15日から観測開始。
- ・2012年3月6日～4月13日と2013年9月16日以降（図の灰色部分）は機器障害のため欠測。



第4図 秋田焼山 一元化震源による秋田焼山周辺の地震活動（2001年10月～2013年9月30日）

- 図中の一部の震源要素は暫定値で、後日変更することがある。

- この地図の作成には国土地理院発行の「数値地図 50mメッシュ（標高）」を使用した。

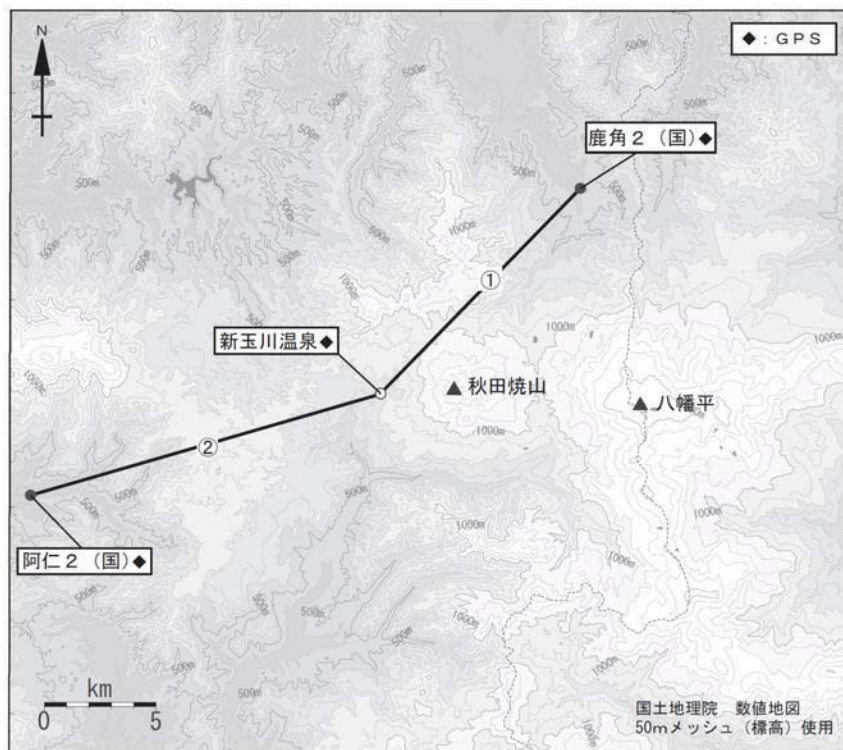


第5図 秋田焼山 ぶな沢南観測点における傾斜変動

(2011年10月1日～2013年9月30日、時間値、潮汐補正済み、地震回数及び降水量は日値)

- 火山活動によるとみられる傾斜変動は認められない。

- 2012年3月6日～4月13日及び2013年9月16日から機器障害のため欠測中。

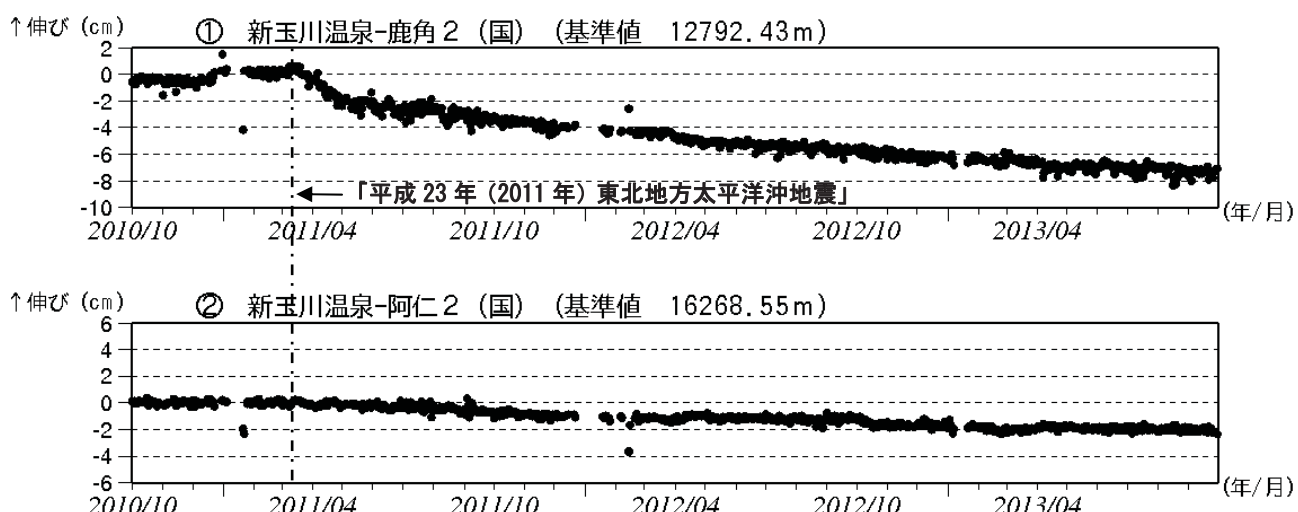


第6図 秋田焼山 GPS観測点配置図

小さな白丸（○）は気象庁、小さな黒丸（●）は気象庁以外の機関の観測点位置を示す。

(国)：国土地理院

GPS基線①②は第7図の①②に対応。



第7図 秋田焼山 GPS基線長変化図（2010年10月～2013年9月30日）

- ・2011年3月11日以降の縮みの傾向は、東北地方太平洋沖地震による影響であり、火山活動によるものではないと考えられる。
- ・東北地方太平洋沖地震に伴うステップを補正している。
- ・解析に際しては対流圈補正と電離層補正を行っている。
- ・①②は第6図のGPS基線①②に対応。（国）：国土地理院。
- ・グラフの空白部分は欠測。

岩 手 山

(2013 年 9 月 30 日現在)

火山活動に特段の変化はみられず、噴火の兆候は認められない。
平成 19 年 12 月 1 日に噴火予報（噴火警戒レベル 1、平常）を発表した。
その後、予報警報事項に変更はない。

○概況（2013 年 6 月～9 月 30 日）

・噴気等の表面現象の状況（第 2 図、第 4～6 図、第 7 図-①）

柏台（黒倉山山頂の北約 8 km）に設置してある遠望カメラによる観測では、岩手山山頂、大地獄谷及び黒倉山山頂からの噴気は観測されなかった。

2013 年 6 月 12 日に岩手県の協力により現地調査を実施した結果、岩手山山頂の噴気地熱域、高温域¹⁾ 及び地中温度等²⁾ は、前回（2012 年 6 月 27 日）と比較して大きな変化は認められなかった。

1) 赤外熱映像装置による。赤外熱映像装置は物体が放射する赤外線を感じて温度分布を測定する測器である。熱源から離れた場所から測定することができる利点があるが、測定距離や大気等の影響で実際の熱源の温度よりも低く測定される場合がある。

2) サーミスタ温度計による測定。サーミスタ温度計は、半導体の電気抵抗が温度変化する性質を利用して温度を測定する測器である。

・地震活動（第 7 図-②～⑥、第 8～10 図）

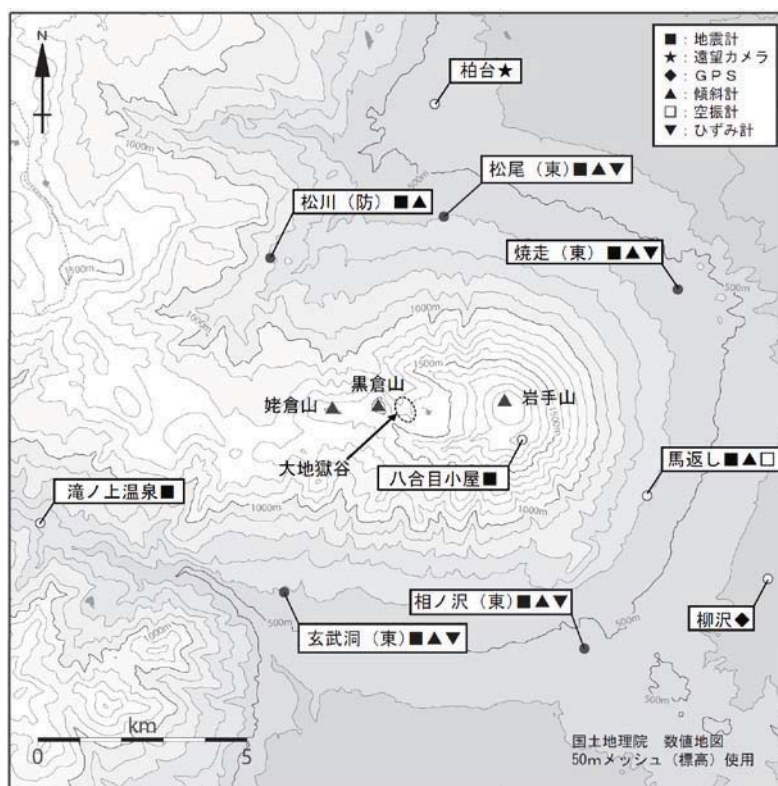
2013 年 6 月 9 日に松川付近を震源とする地震が一時的に増加し、6 月 19 日には岩手山山頂直下のやや深いところ（深さ 5～8 km）を震源とする低周波地震が一時的に増加したが、期間を通して火山性地震は概ね少ない状況が続いている。

今期間、岩手山付近を震源とする深部低周波地震の活動に特段の変化はみられず、火山性微動も観測されなかった。

・地殻変動（第 11、13 図）

GPS 連続観測及び馬返し観測点（岩手山山頂の南東約 4 km）の傾斜計では、火山活動によると考えられる変化は認められなかった。

この資料は気象庁のほか、国土地理院、東北大学、岩手県及び独立行政法人防災科学技術研究所のデータを利用して作成した。

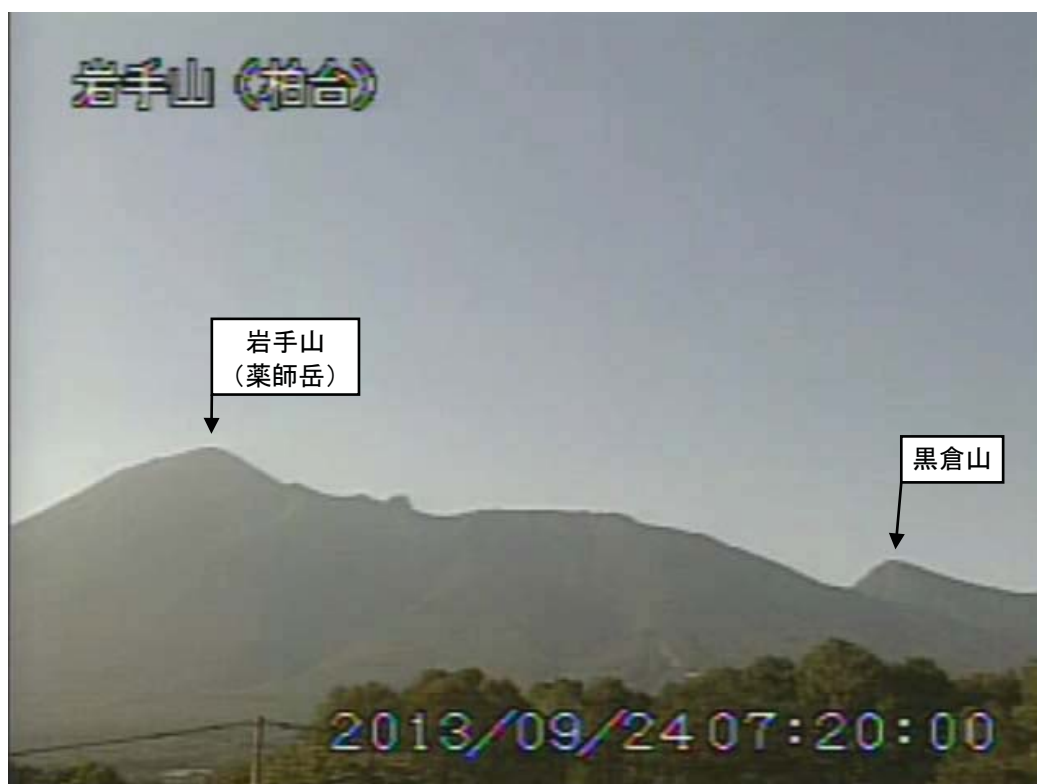


第 1 図 岩手山 観測点配置図

小さな白丸（○）は気象庁、小さな黒丸（●）は気象庁以外の機関の観測点位置を示す。

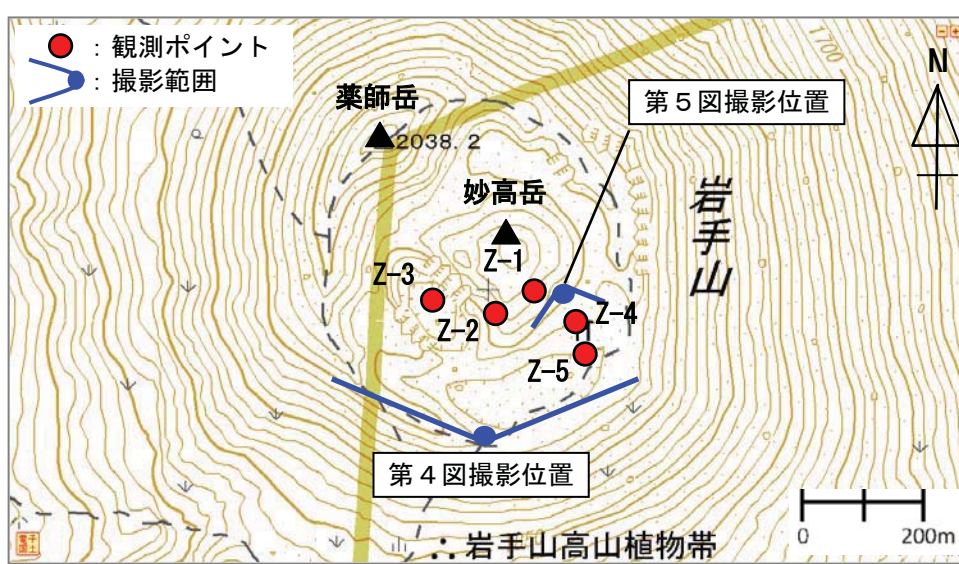
(東) : 東北大学 (防) : 防災科学技術研究所

* 松川 (東) 観測点は 2013 年 5 月 20 日をもって観測を終了。



第 2 図 岩手山 遠望カメラの映像 (2013 年 9 月 24 日 07 時 20 分頃)

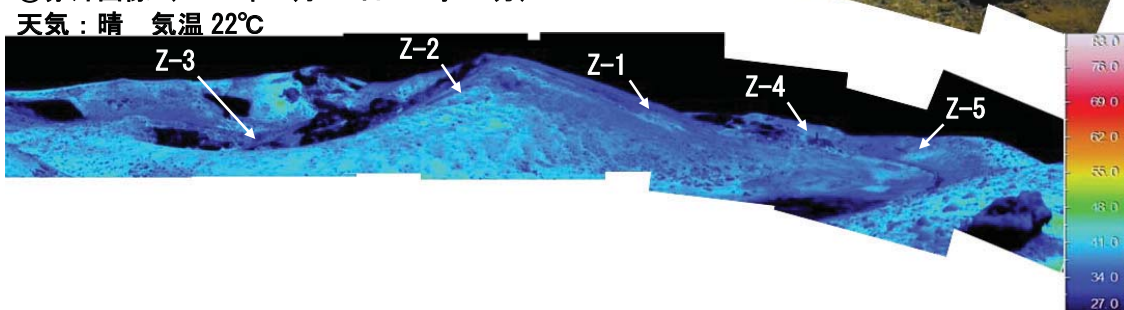
・柏台（黒倉山山頂の北約 8 km）に設置してある遠望カメラによる。



①可視画像（2013 年 6 月 12 日 11 時 15 分）



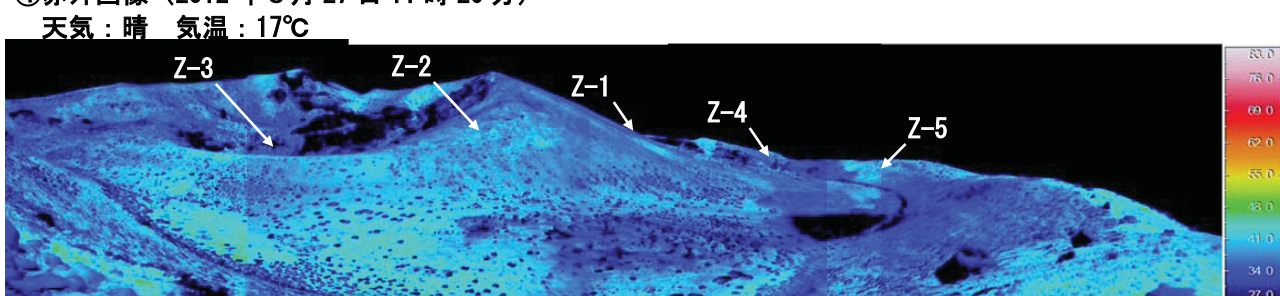
②赤外画像（2013 年 6 月 12 日 11 時 15 分）



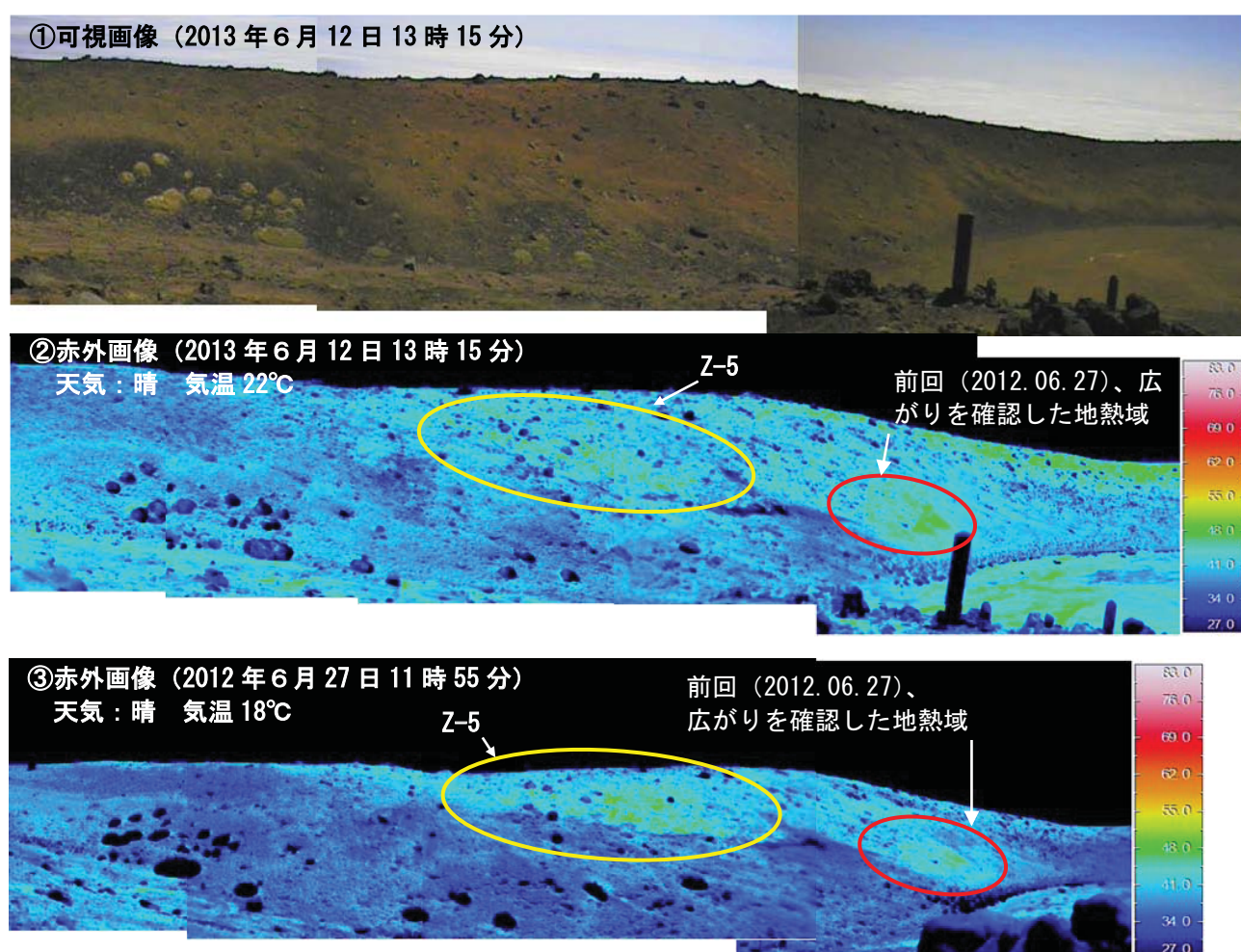
③可視画像（2012 年 6 月 27 日 11 時 20 分）



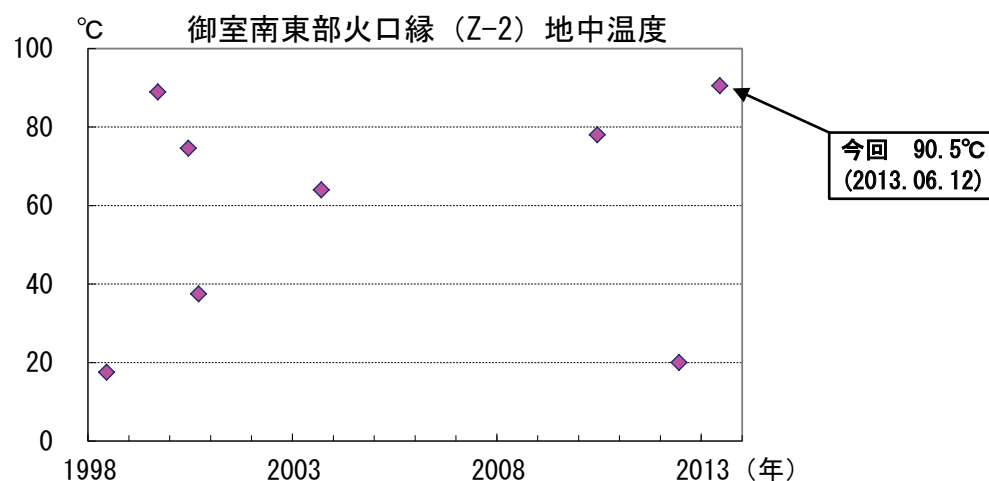
④赤外画像（2012 年 6 月 27 日 11 時 20 分）

第 4 図 岩手山 山頂付近の可視画像と地表面温度分布¹⁾

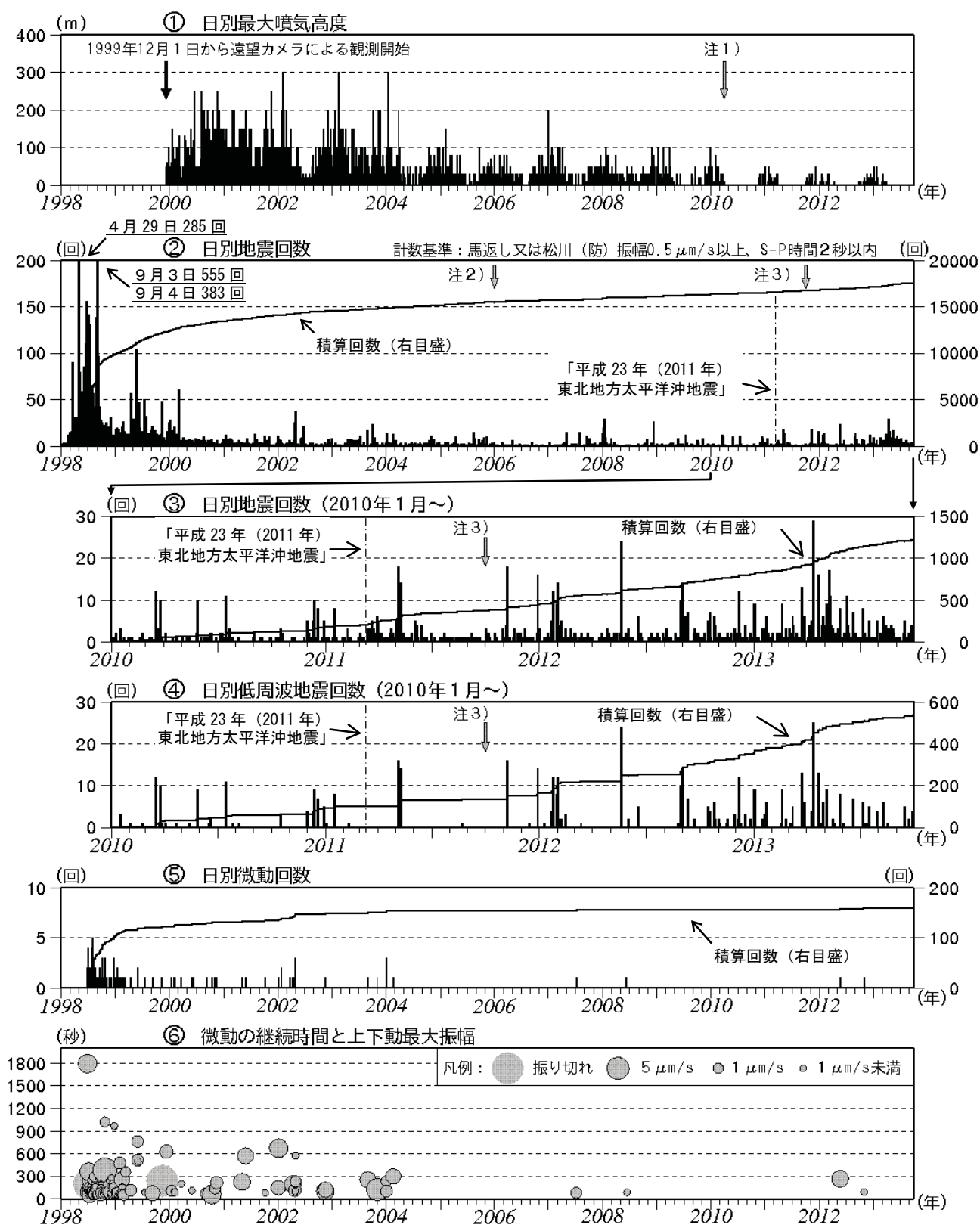
噴気地熱域の高温域及び地中温度等は、前回（2012 年 6 月 27 日）と比較して大きな変化は認められなかった。



第5図 岩手山 外輪山内壁（Z-5）の可視画像と地表面温度分布¹⁾
赤色囲みの領域が、前回（2012年6月27日）広がりが確認された地熱域で、大きな変化はみられなかった。

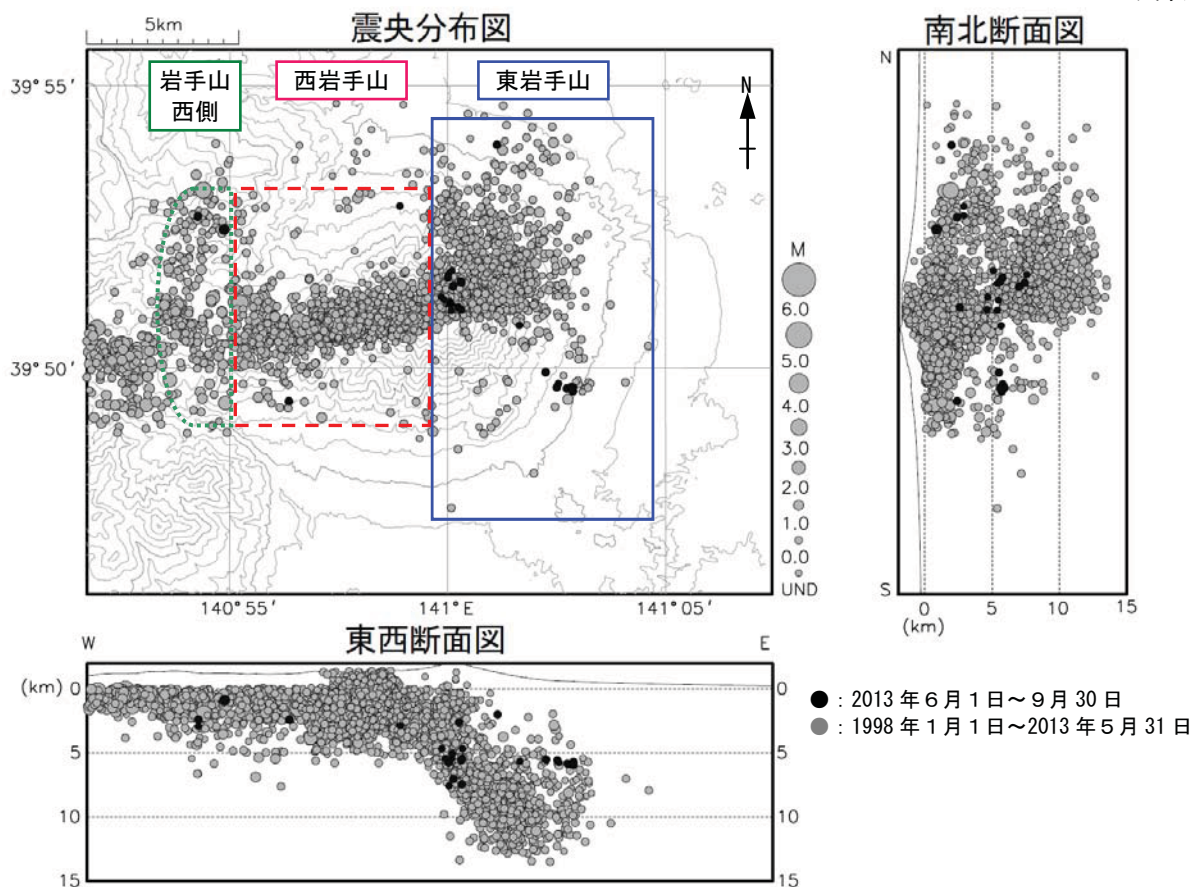


第6図 岩手山 Z-2 観測点の地中温度²⁾
熱活動は継続している。前回（2012年6月27日）は確認できなかつたが、今回の調査では90.5°C（深さ約20cm）を観測した。



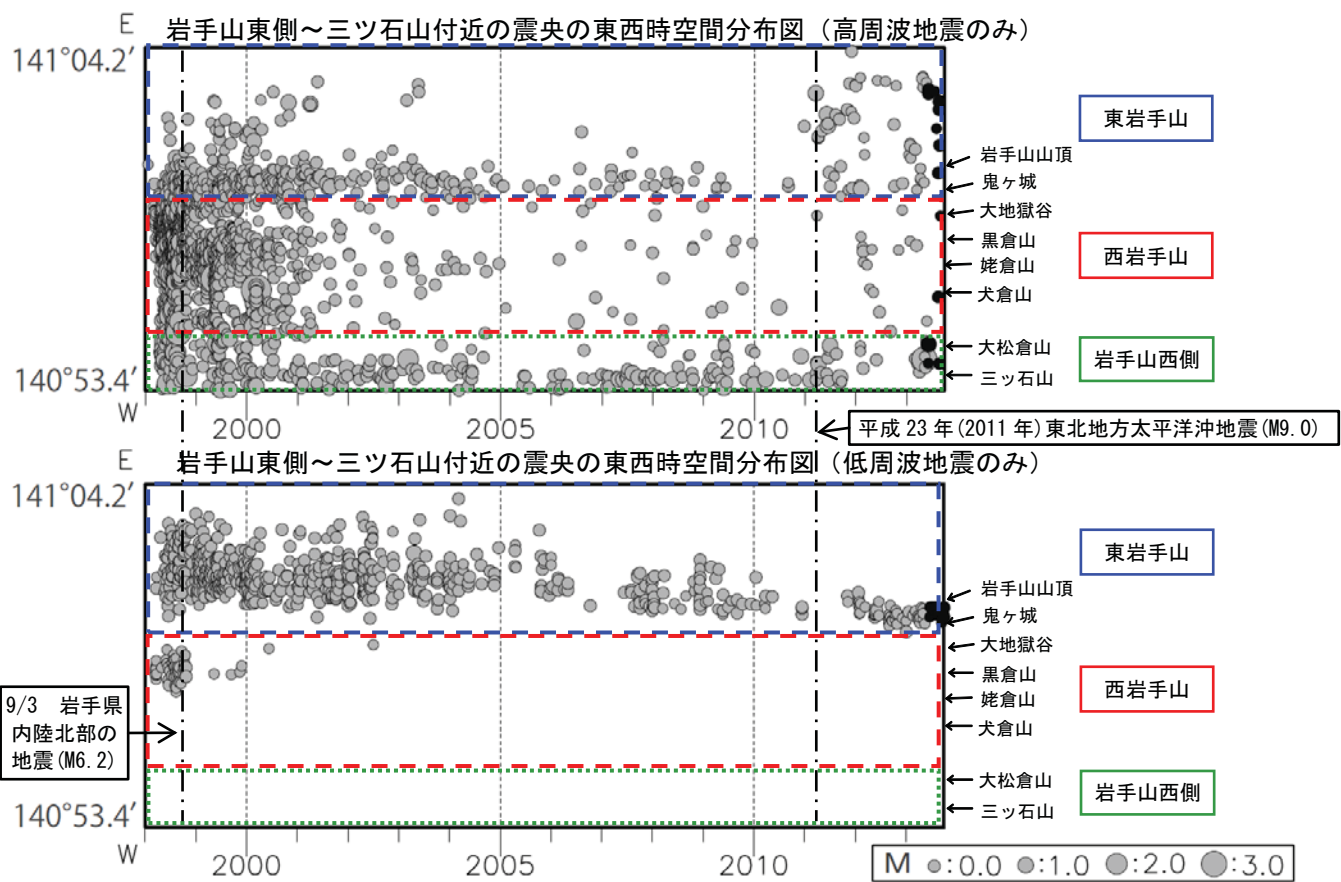
第7図 岩手山 火山活動経過図 (1998年1月～2013年9月30日)

- ①注1) 2010年3月までは黒倉山のみの観測を、2010年4月1日以降は岩手山全体を観測している。
- ②～⑥基準観測点の変更は次のとおり（角カッコ内は地震回数の計数基準）。
 - 観測開始 1998年1月1日～ 東北大学松川観測点 [振幅1.0 μm/s以上、S-P時間2秒以内]
 - 注2) 2006年1月1日～ 烧切沢観測点 [振幅0.5 μm/s以上、S-P時間2秒以内]
 - 注3) 2011年10月1日～ 馬返し観測点、及び防災科学技術研究所松川観測点
[振幅0.5 μm/s以上、S-P時間2秒以内]
- ②③2000年1月以降は滝ノ上付近の地震など山体以外の構造性地震を除外した回数。
(1998年から1999年までは滝ノ上付近の地震など山体以外の構造性地震も含む)



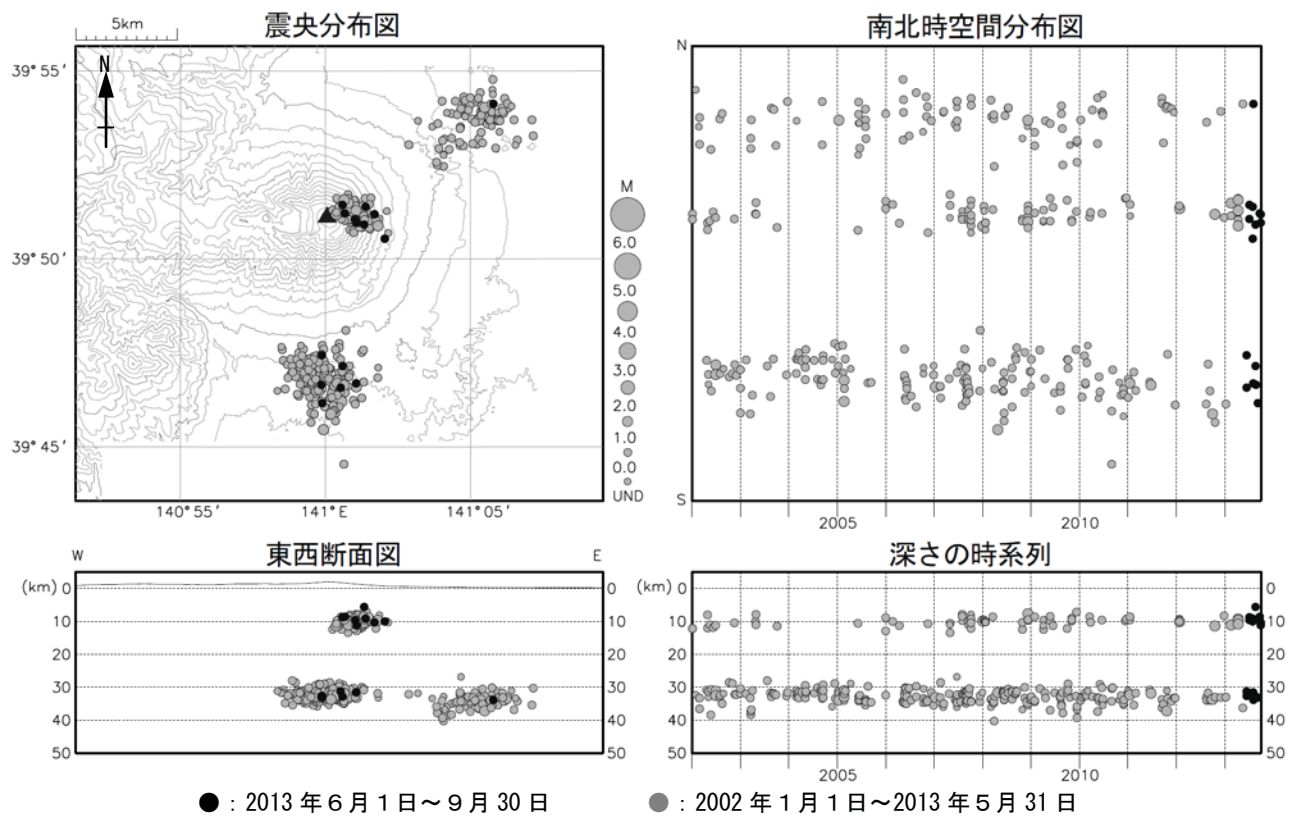
第8図 岩手山 震源分布図（深さ≤15km、1998年1月～2013年9月30日）

- ・表示条件：相数7相以上、深さフリーで決まった地震。
- 1998年9月以降は、1998年9月3日のM6.2の地震およびその余震は除く。
- ・速度構造：山頂～姥倉山付近は半無限構造 $V_p=3.0\text{km/s}$ 、その他は成層構造を使用。
- ・この地図の作成には国土地理院発行の「数値地図 50mメッシュ（標高）」を使用した。



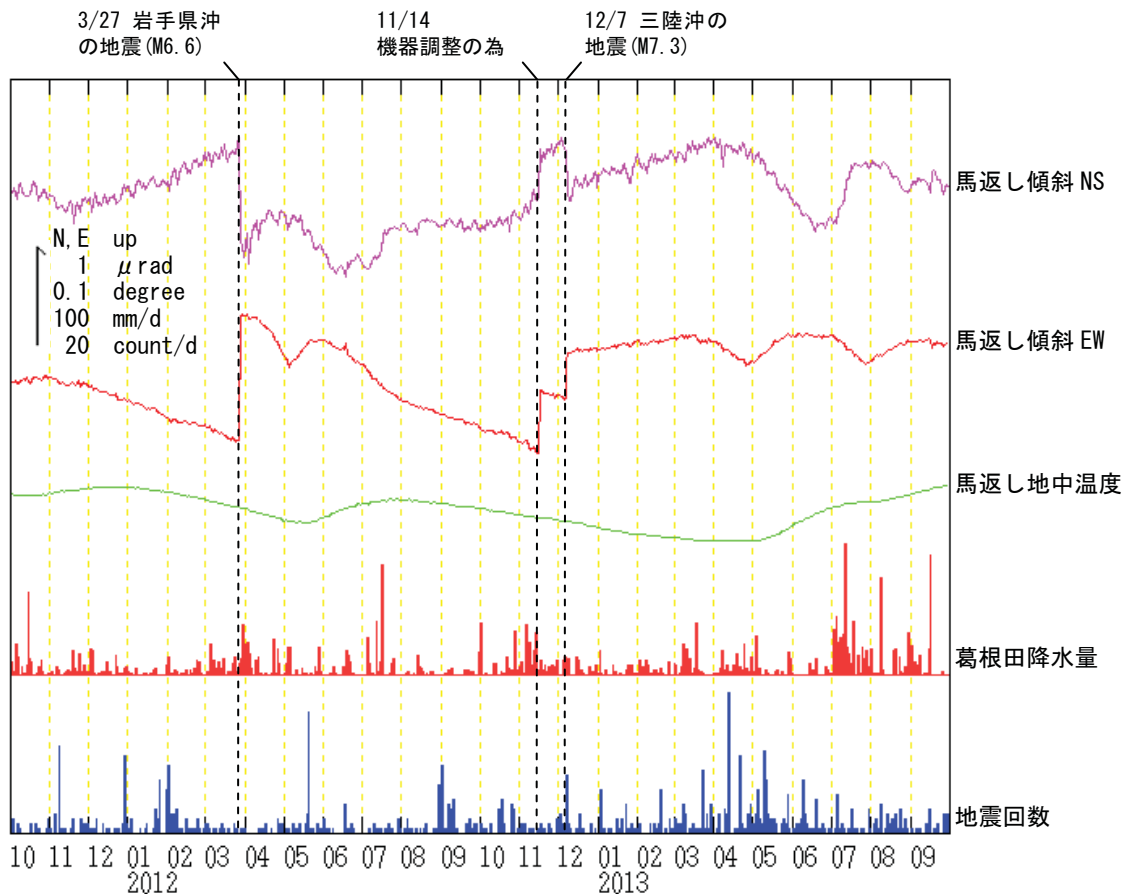
第9図 岩手山東側～三ツ石山付近の震央の東西時空間分布図（1998年1月～2013年9月30日）

第8図に示した地震を、高周波地震、低周波地震に分けてプロット。



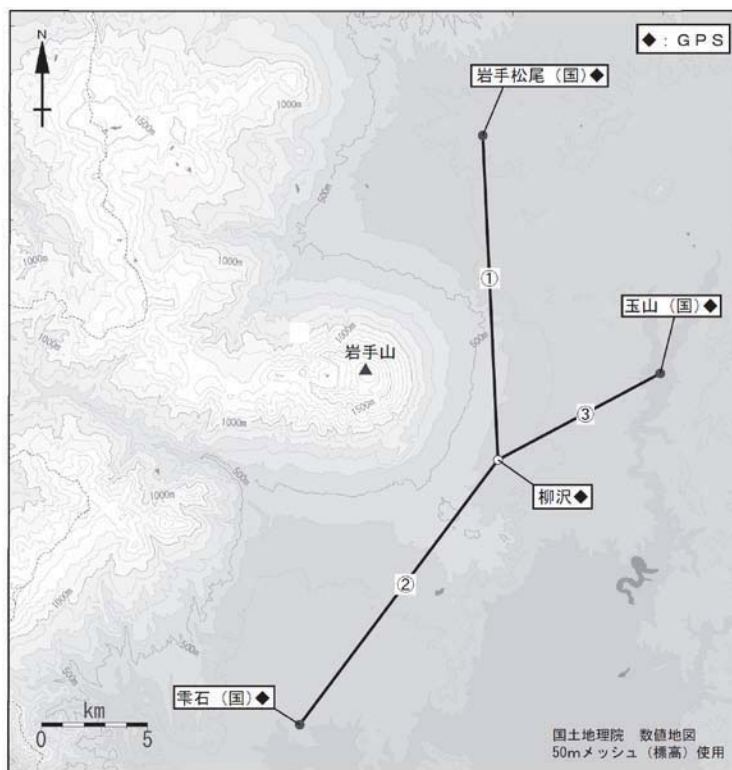
第10図 岩手山 一元化震源による低周波地震活動（2002年1月～2013年9月30日）

- ・深さ10km程度のやや深いところを震源とする低周波地震および深部低周波地震も含む。
- ・図中の一部の震源要素は暫定値で、後日変更することがある。
- ・この地図の作成には国土地理院発行の「数値地図50mメッシュ（標高）」を使用した。



第11図 岩手山 馬返し観測点における傾斜変動

(2011年10月1日～2013年9月30日、時間値、潮汐補正済み、地震回数及び降水量は日値)
・火山活動によるとみられる傾斜変動は認められない。

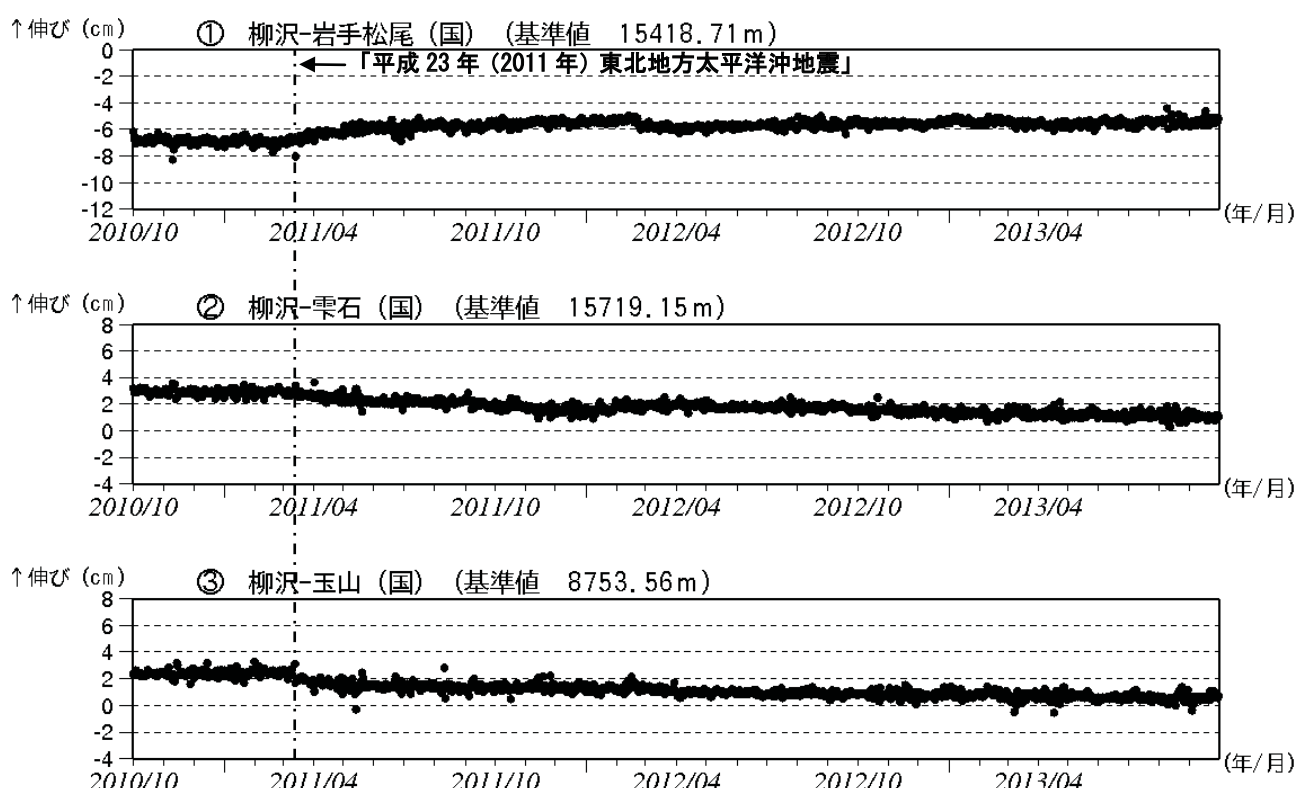


第 12 図 岩手山 GPS 観測点配置図

小さな白丸（○）は気象庁、小さな黒丸（●）は気象庁以外の機関の観測点位置を示す。

(国) : 国土地理院

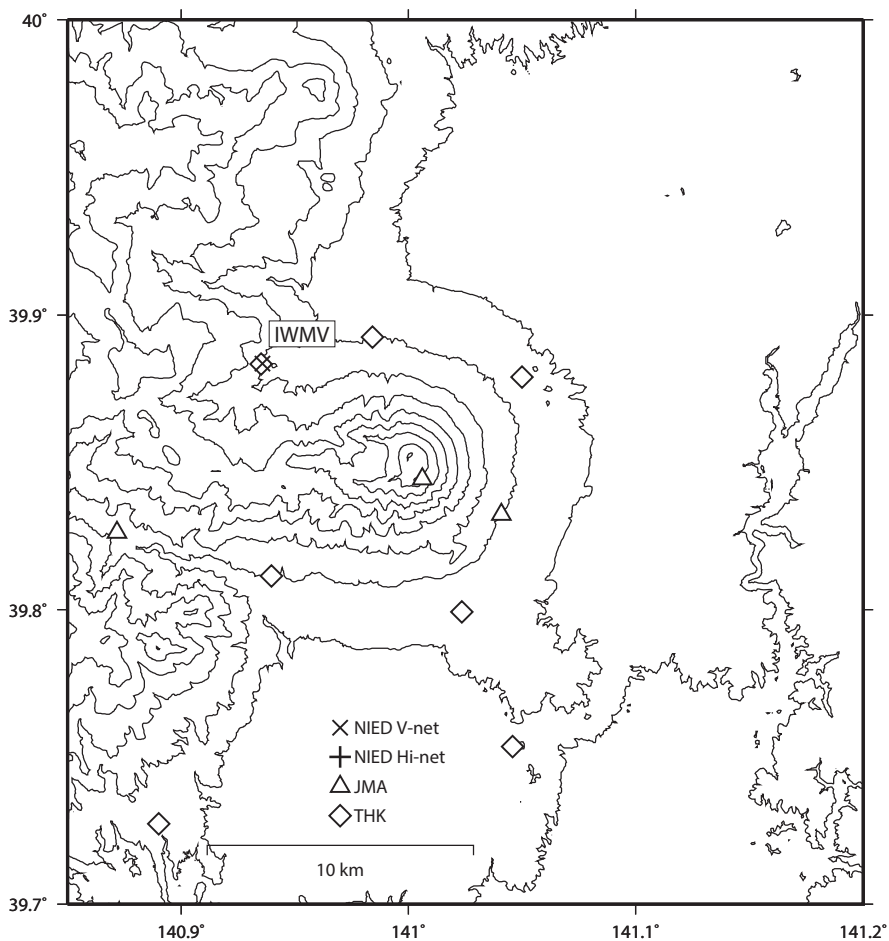
GPS 基線①～③は第 13 図の①～③に対応。



第 13 図 岩手山 GPS 基線長変化図（2010 年 10 月～2013 年 9 月 30 日）

- ・2011 年 3 月 11 日以降の変動は、東北地方太平洋沖地震による影響であり、火山活動によるものではないと考えられる。
- ・東北地方太平洋沖地震に伴うステップを補正している。
- ・解析に際しては対流圏補正と電離層補正を行っている。
- ・①～③は第 12 図の GPS 基線①～③に対応。(国) : 国土地理院。

岩手山の火山活動について



この地図の作成にあたっては、国土地理院発行の
数値地図50mメッシュ（標高）を使用した。

IWMV=地震計（短周期・広帯域）、傾斜計、気圧計、温度計、雨量計、GPS

資料概要

- 地震活動と地殻変動
火山活動に関連するような顕著な地殻変動は認められなかった。

岩手山

岩手山の地震活動(2012/1/1 - 2012/10/31)

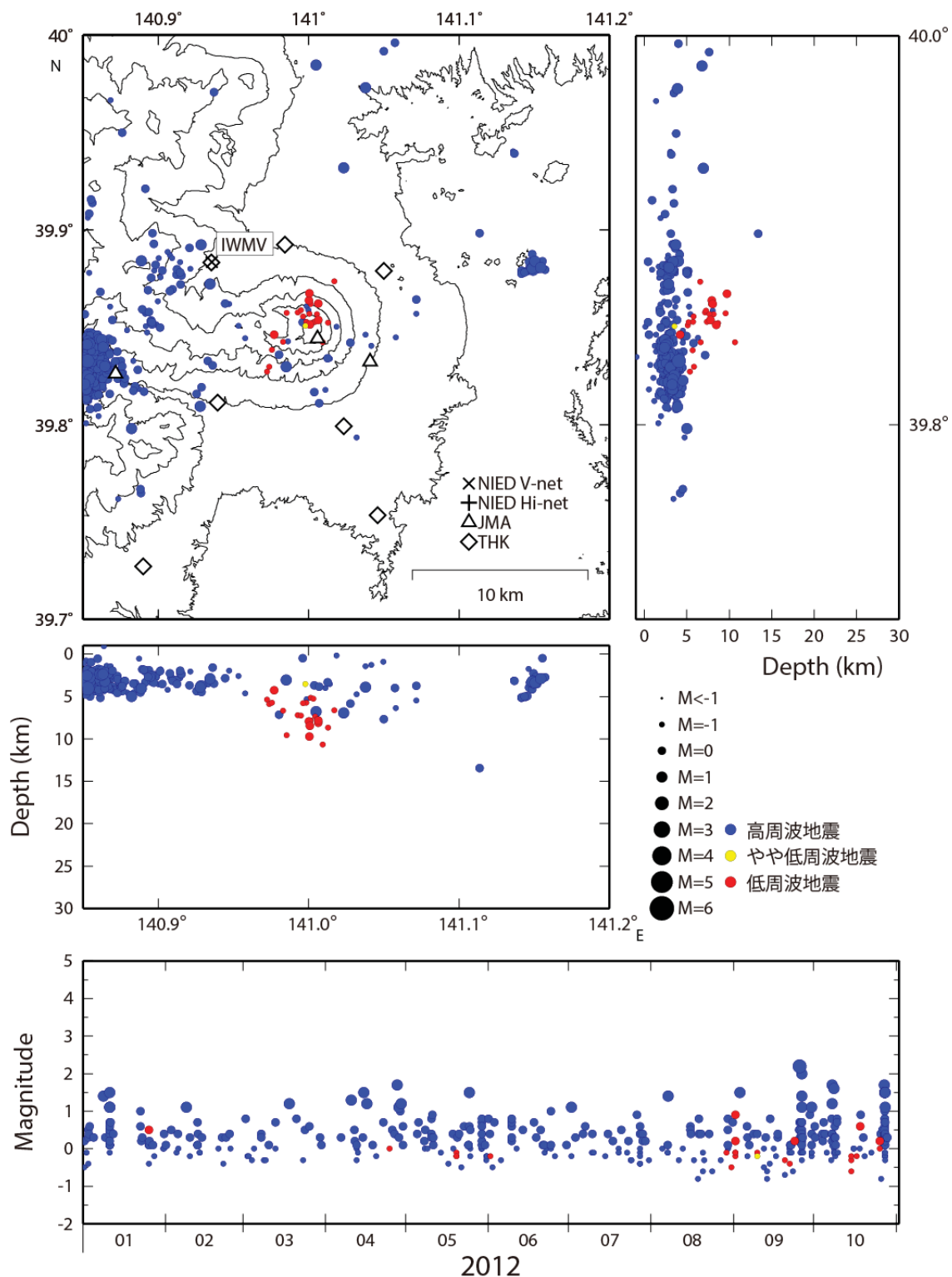


図1 岩手山の地震活動 (2012/1/1~2012/10/31)

岩手山

岩手山の傾斜変動 (2013/2/1～2013/9/30)

岩手山の傾斜変動 (2010/5/12～2013/9/30)

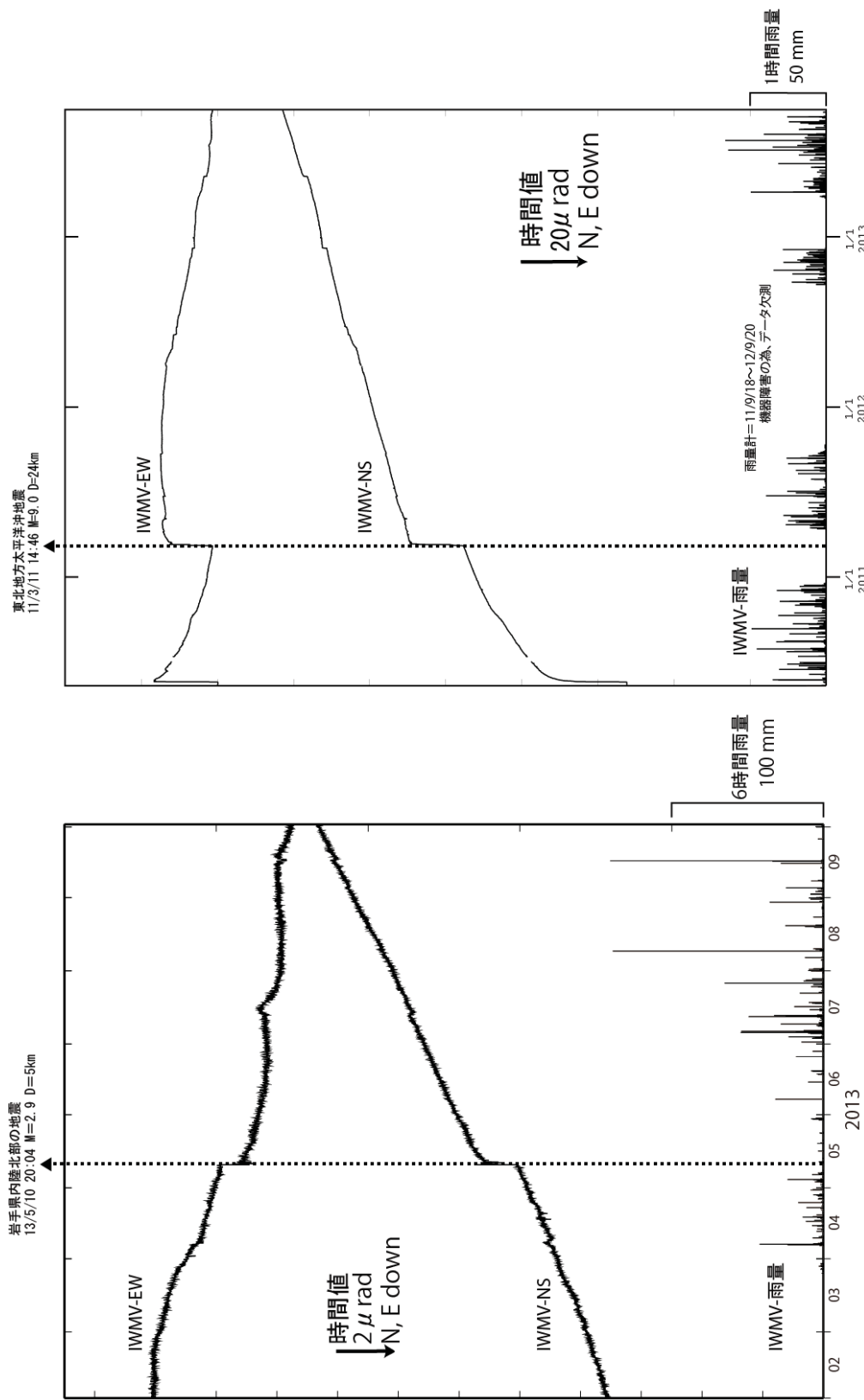


図 2 岩手山の傾斜変動

秋田駒ヶ岳

(2013年9月30日現在)

めだけ
女岳では 2009 年からの地熱域の拡大が、今期間もわずかながら認められた。

地震活動は概ね低調で、地殻変動及び噴気活動にも特段の変化はみられず、ただちに噴火する兆候は認められないが、今後の火山活動の推移に注意が必要。

平成21年10月27日に噴火予報（噴火警戒レベル1、平常）を発表した。その後、予報警報事項に変更はない。

○概況（2013年6月～9月30日）

・噴気等の表面現象の状況、熱活動（第3～6図、第7図-①）

東北地方整備局が仙岩峠（女岳山頂の南約5km）に設置している監視カメラによる観測では、女岳からの噴気の高さは30m以下で噴気活動は低調な状態で経過した。

2013年6月27日に実施した現地調査では、前回（2012年10月4日）と比較して、女岳南東火口縁外側及び南東火口内南西側で、高温域^{1) 2)}のわずかな拡大と昇温が確認され、それらの領域で弱い噴気も確認された。以前から確認されている女岳山頂北部、北東斜面、北斜面等の地表面温度分布¹⁾には、大きな変化は認められなかった。

2013年7月30日～31日に実施した現地調査では、6月27日と比較して、女岳の噴気地熱域¹⁾と地中温度²⁾に大きな変化は認められなかった。

1) 赤外熱映像装置による。赤外熱映像装置は物体が放射する赤外線を感じて温度分布を測定する測器である。熱源から離れた場所から測定することができる利点があるが、測定距離や大気等の影響で実際の熱源の温度よりも低く測定される場合がある。

2) サーミスタ温度計による測定。サーミスタ温度計は、半導体の電気抵抗が温度変化する性質を利用して温度を測定する測器である。

・地震活動（第7図-②③、第8、9図）

2013年7月21日に山頂付近を震源とする地震がまとまって発生した。また、8月28日11時19分頃に南部カルデラの東側外縁付近の深さ約8kmを震源とするマグニチュード³⁾2.1の地震が発生したが、この地震の前後で地震は観測されなかった。さらに、9月23日05時35分頃に、男女岳の北側約3km付近の深さ約7kmを震源とするマグニチュード³⁾1.3の地震が発生した。この地震の前後で一時的に地震活動が活発となり、23日の地震回数は35回となったが、これらの日以外、火山性地震は少ない状況で経過し、空振計等にも特段の変化は認められなかった。

火山性微動も観測されなかった。

3) 資料中のマグニチュードは暫定値で、後日変更することがある。

・地殻変動（第11図、第13、14図）

GPS連続観測、2013年6月26～28日にかけて実施したGPS繰り返し観測及び八合目駐車場観測点（女岳山頂の北北東約2km）の傾斜計では、火山活動によると考えられる変化は認められなかった。

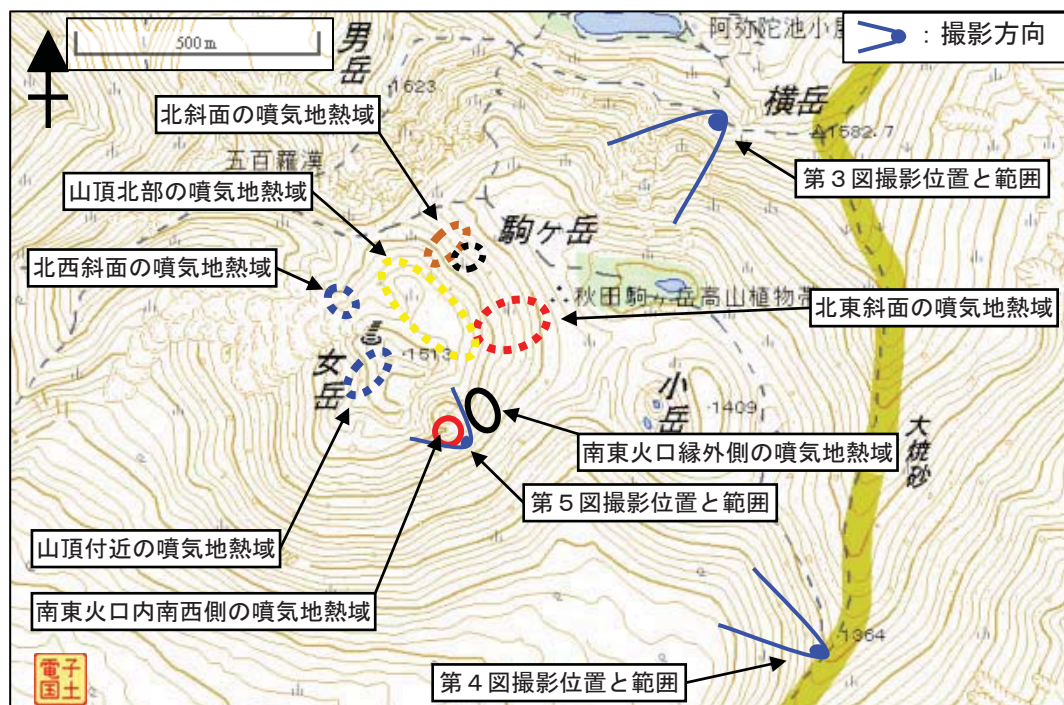
この資料は気象庁のほか、国土交通省東北地方整備局、国土地理院、東北大学及び独立行政法人防災科学技術研究所のデータを利用して作成した。

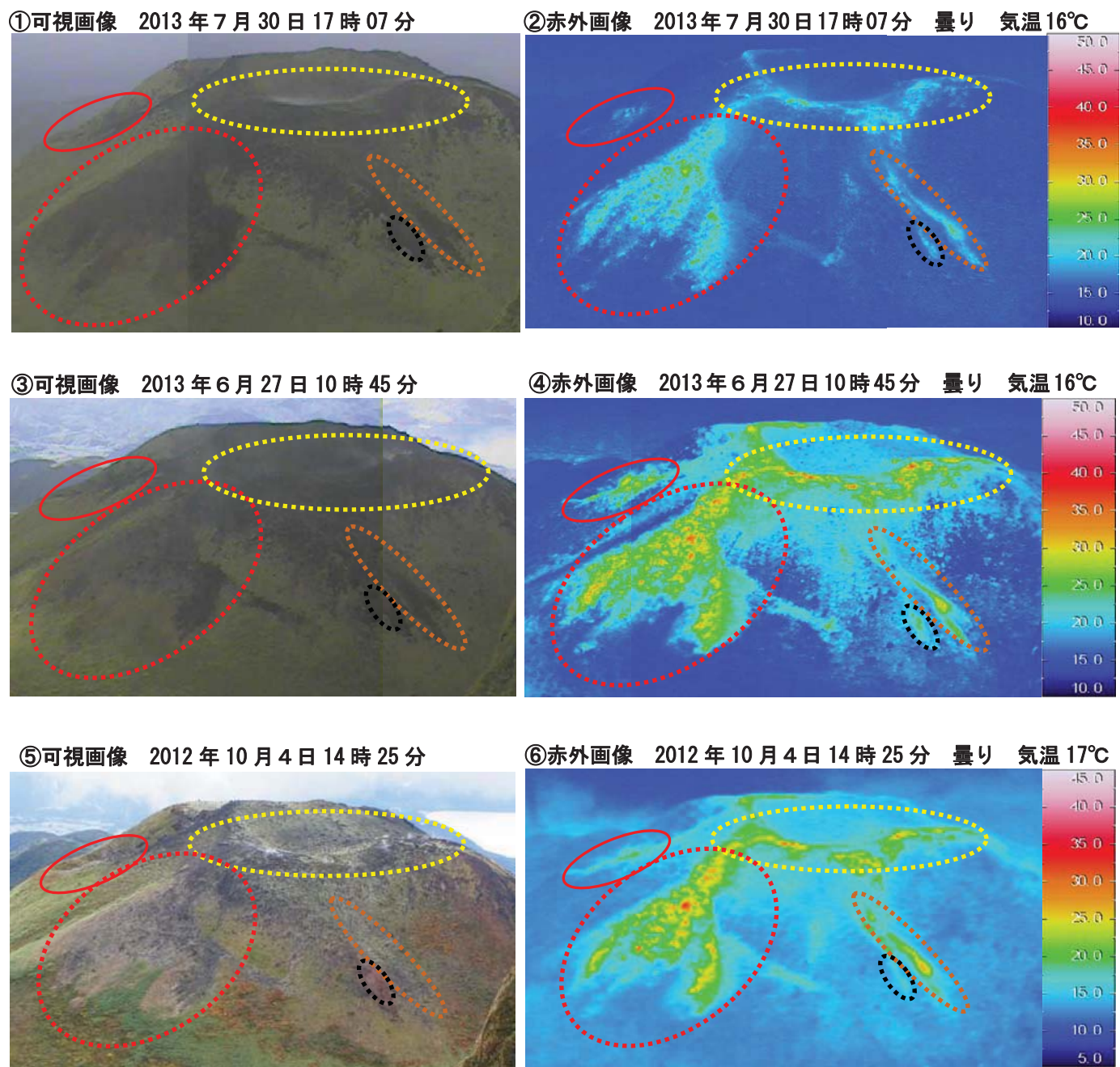


第1図 秋田駒ヶ岳 観測点配置図

小さな白丸(○)は気象庁、小さな黒丸(●)は気象庁以外の機関の観測点位置を示す。

(東地): 東北地方整備局 (東): 東北大学

第2図 女岳の地熱域の分布図及び可視画像と地表面温度分布¹⁾撮影位置

第3図 秋田駒ヶ岳 北東方向から撮影した女岳の可視画像（左）と地表面温度分布¹⁾（右）

- 上段①、②：2013年7月30日 中段③、④：2013年6月27日 下段⑤、⑥：2012年10月4日
- ・南東火口縁及び火口縁外側の噴気地熱域（赤実線）は、2012年10月と比較して領域のわずかな拡大が確認された。
- ・2012年10月4日に北斜面で弱い噴気が確認された領域（黒破線）は、引き続き噴気地熱域となっていることが確認された。
- ・2009年8月に確認され、2010年12月にかけて拡大が確認された北東斜面の噴気地熱域（赤破線）に、大きな変化は認められない。
- ・2010年9月24日に確認された北斜面の噴気地熱域（茶色破線）に、大きな変化は認められない。
- ・以前から地熱の高まりがみられる山頂北部（黄色破線）に、大きな変化は認められない。

①可視画像 2013年7月30日15時30分



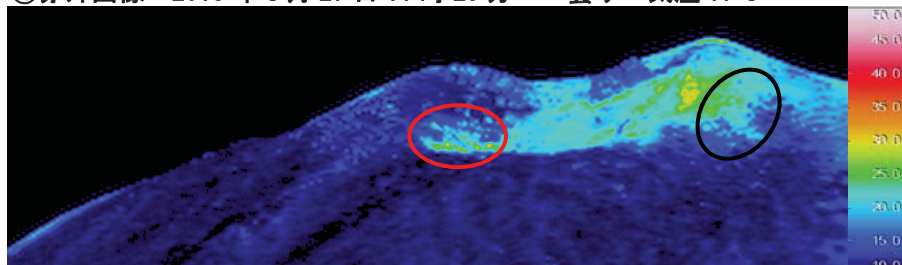
②赤外画像 2013年7月30日15時30分 曇 気温：17°C



③可視画像 2013年6月27日11時15分



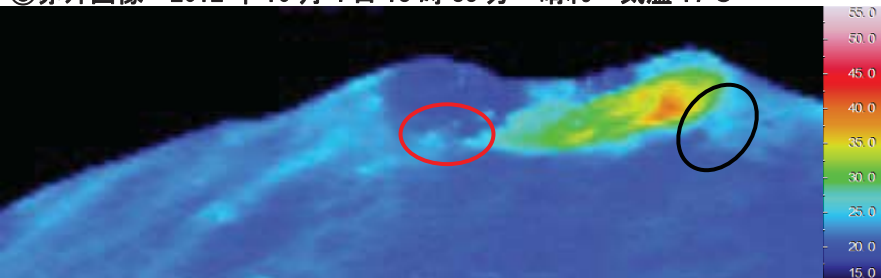
④赤外画像 2013年6月27日11時25分 曇り 気温 17°C



⑤可視画像 2012年10月4日13時35分



⑥赤外画像 2012年10月4日13時35分 晴れ 気温 17°C

第4図 秋田駒ヶ岳 南東方向から撮影した女岳南東火口付近の可視画像と地表面温度分布¹⁾

①、②：2013年7月30日 ③、④：2013年6月27日 ⑤、⑥：2012年10月4日

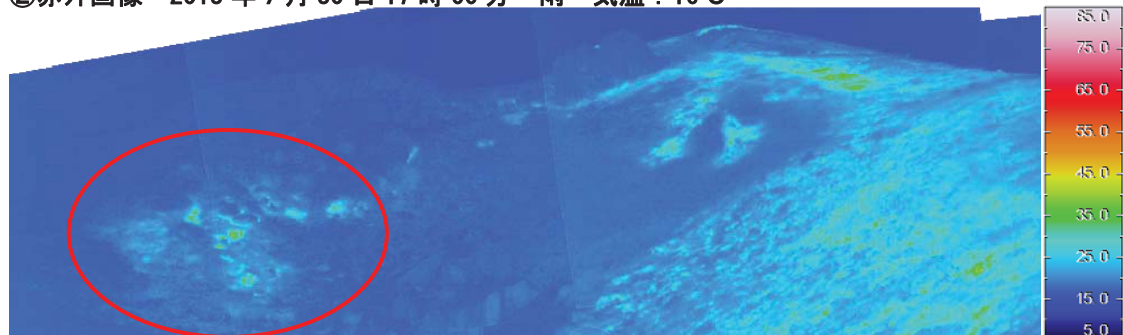
- ・2013年6月27日の観測では、2012年10月と比較して南東火口縁外側の領域（黒実線）と南東火口内の南西側領域（赤実線）で、噴気地熱域のわずかな拡大が確認された。
- ・2013年7月30日の観測では、大きな変化は認められなかった。

秋田駒ヶ岳

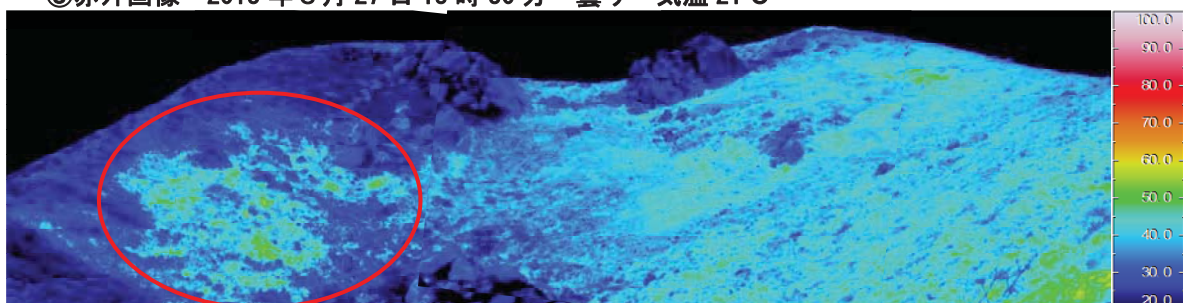
①可視画像 2013年7月30日17時00分



②赤外画像 2013年7月30日17時00分 雨 気温：16°C



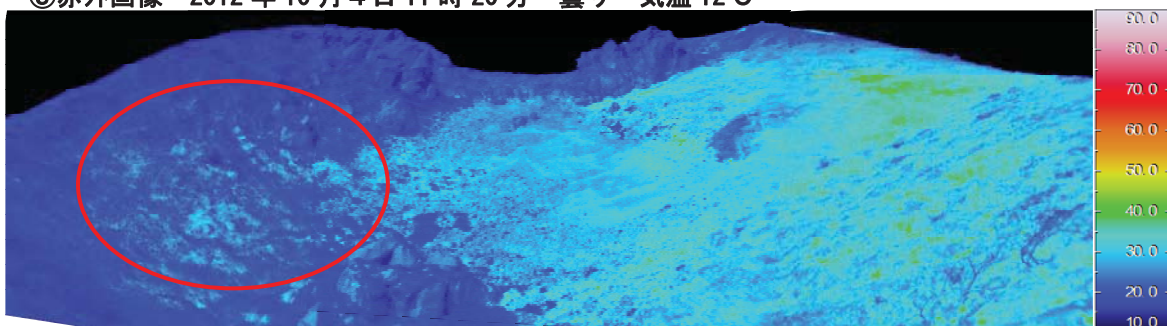
③赤外画像 2013年6月27日13時30分 曇り 気温 21°C



④可視画像 2012年10月4日11時20分



⑤赤外画像 2012年10月4日11時20分 曇り 気温 12°C

第5図 秋田駒ヶ岳 女岳南東火口の可視画像と地表面温度分布¹⁾ 及び地中温度²⁾

①、②：2013年7月30日 ③：2013年6月27日 ④、⑤：2012年10月4日

・①、④の図中の数値は地中温度¹⁾（単位：°C、深さ10～30cm程度）を示している。

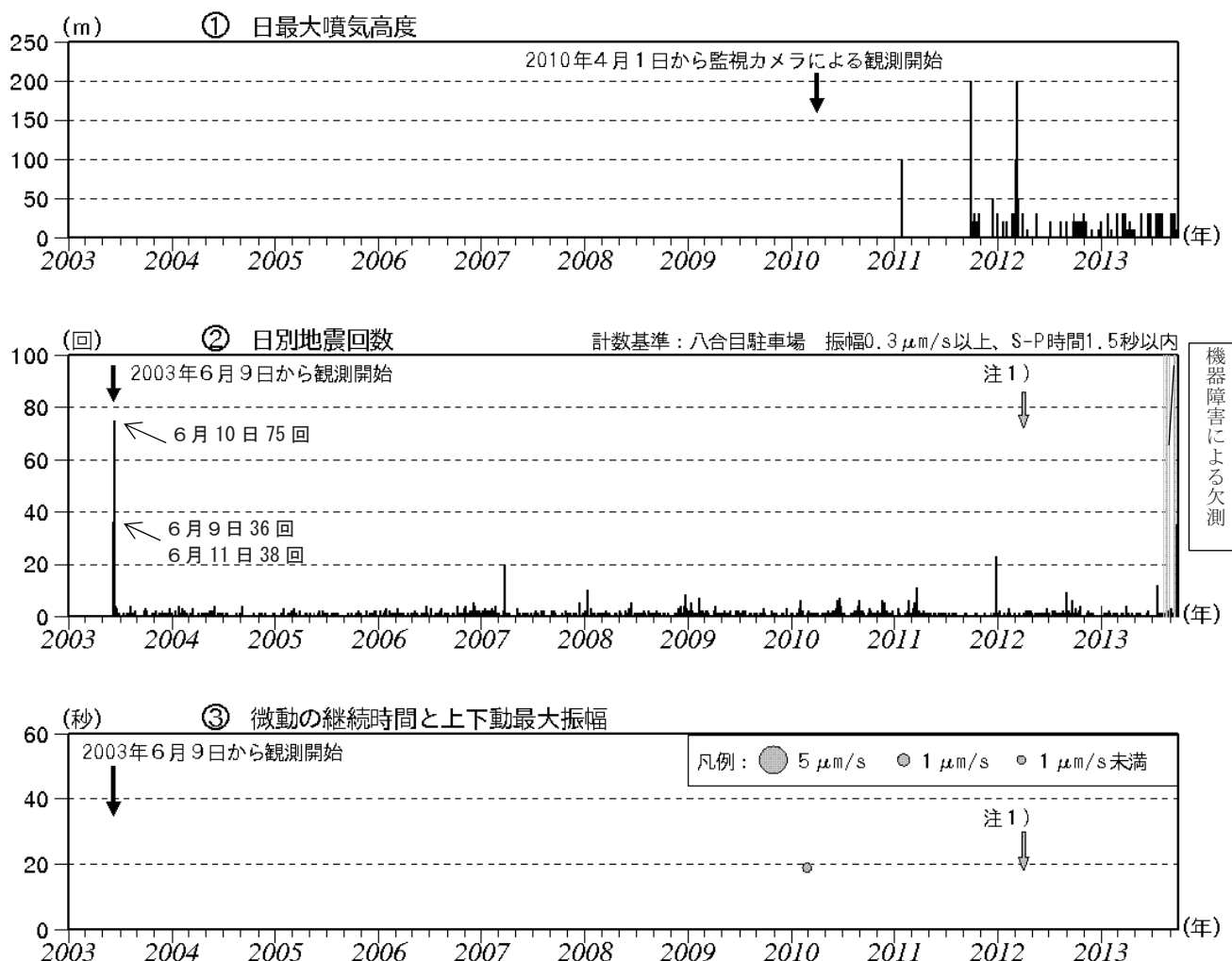
・2013年6月27日の観測では、南東火口内の南西側領域（赤実線）で、噴気地熱域のわずかな拡大が確認され、7月30日の観測では大きな変化は認められなかった。

秋田駒ヶ岳



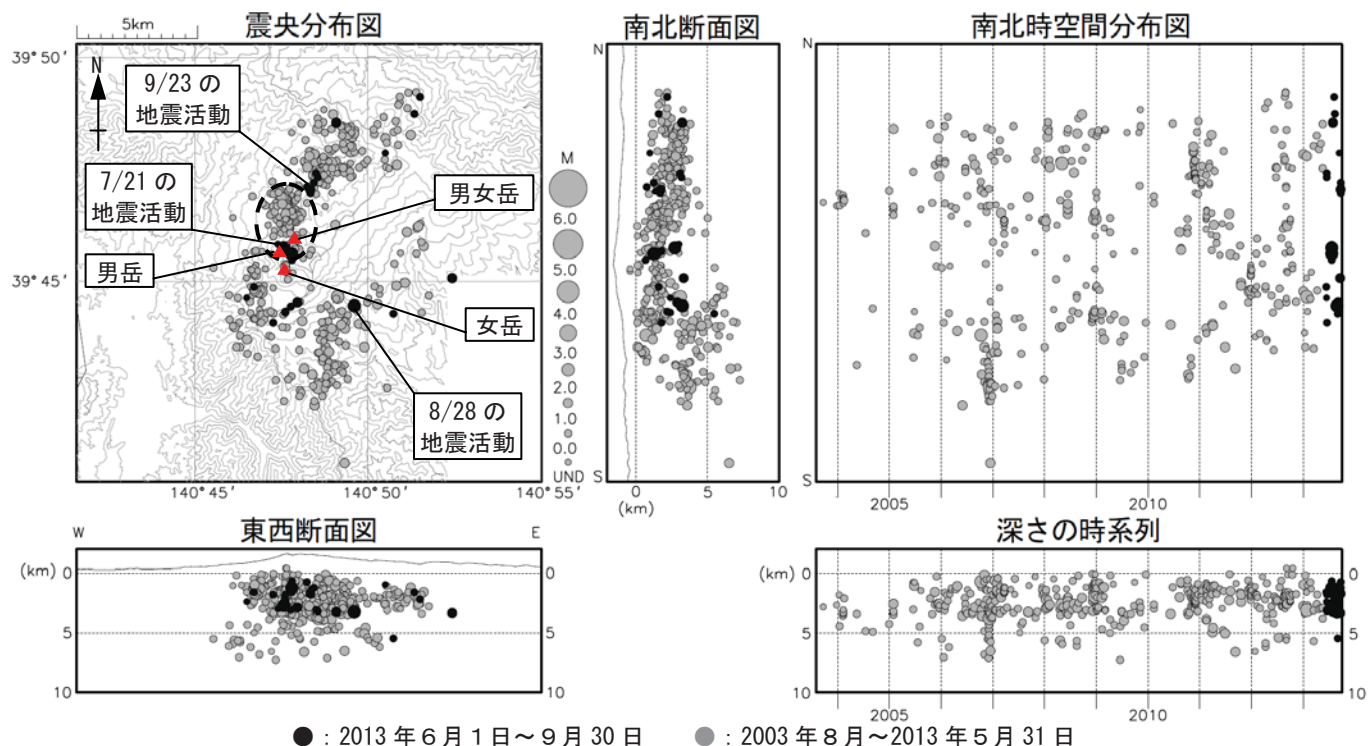
第6図 秋田駒ヶ岳 女岳からの噴気の状況（9月17日16時00分頃）

- ・仙岩峠（女岳山頂の南約5km）に設置されている監視カメラ（東北地方整備局）による。
- ・実線赤丸で囲んだのが、女岳からの噴気で高さは最大30m。



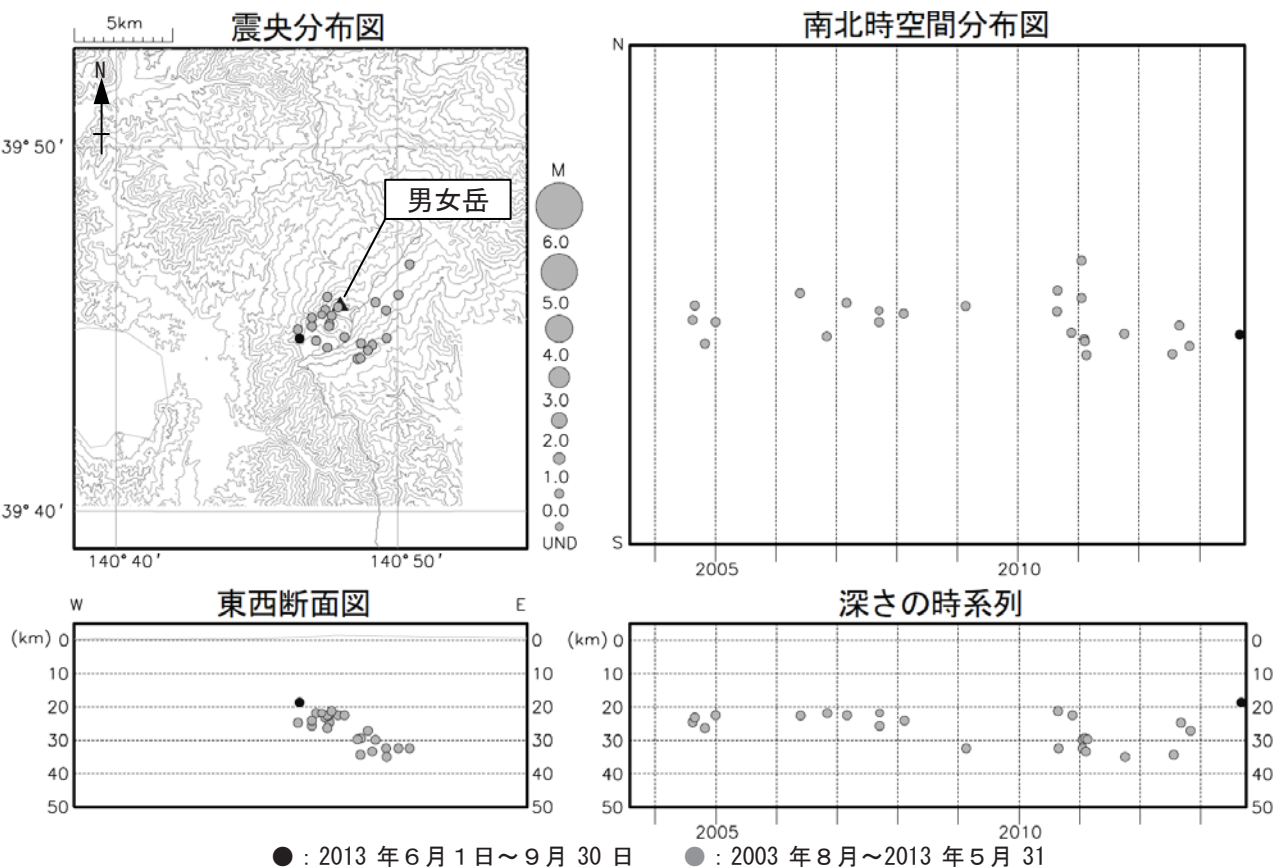
第7図 秋田駒ヶ岳 火山活動経過図（2003年6月～2013年9月30日）

- ・①熊ノ台（女岳山頂の南西約5km）及び仙岩峠（女岳山頂の南約5km）に設置されている監視カメラ（東北地方整備局）による。
- ・②③基準観測点の変更は次のとおり（角カッコ内は地震回数の計数基準）。
- 観測開始 2003年6月9日～東北大學秋田駒ヶ岳観測点 [振幅 0.5 μm/s 以上、S-P時間 1.5 秒以内]
- 注1) 2012年4月1日～八合目駐車場 [振幅 0.3 μm/s 以上、S-P時間 1.5 秒以内]
- ・図の灰色部分は機器障害のため欠測。



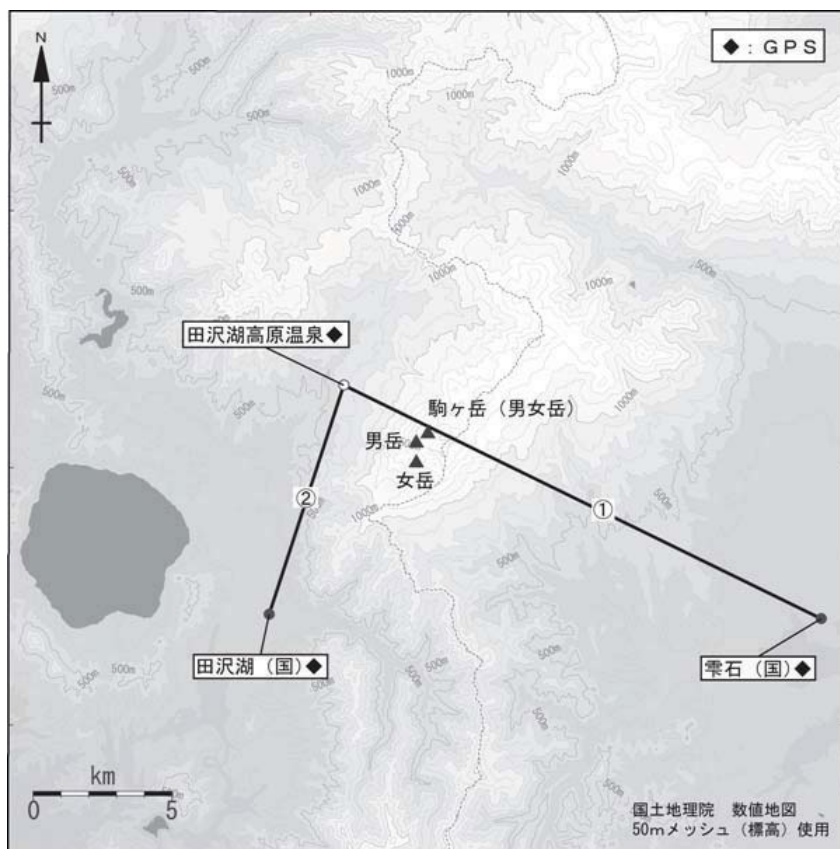
第8図 秋田駒ヶ岳 付近の地震活動 (2003年8月～2013年9月30日)

- ・表示条件：相数7相以上、深さフリーで決まった地震
- ・速度構造：成層構造を使用
- ・2003年8月より東北大学の地震計データを、2005年5月より国土交通省東北地方整備局の地震計データを使用。
- ・震源分布図中で黒の点線で囲まれた範囲は、2003年5月～6月の活動範囲を示す（東北大学の観測による）。
- ・この地図の作成には国土地理院発行の「数値地図50mメッシュ（標高）」を使用した。



第9図 秋田駒ヶ岳 一元化震源による深部低周波地震活動 (2003年8月～2013年9月30日)

- ・図中の一部の震源要素は暫定値で、後日変更することがある。
- ・この地図の作成には国土地理院発行の「数値地図50mメッシュ（標高）」を使用した。

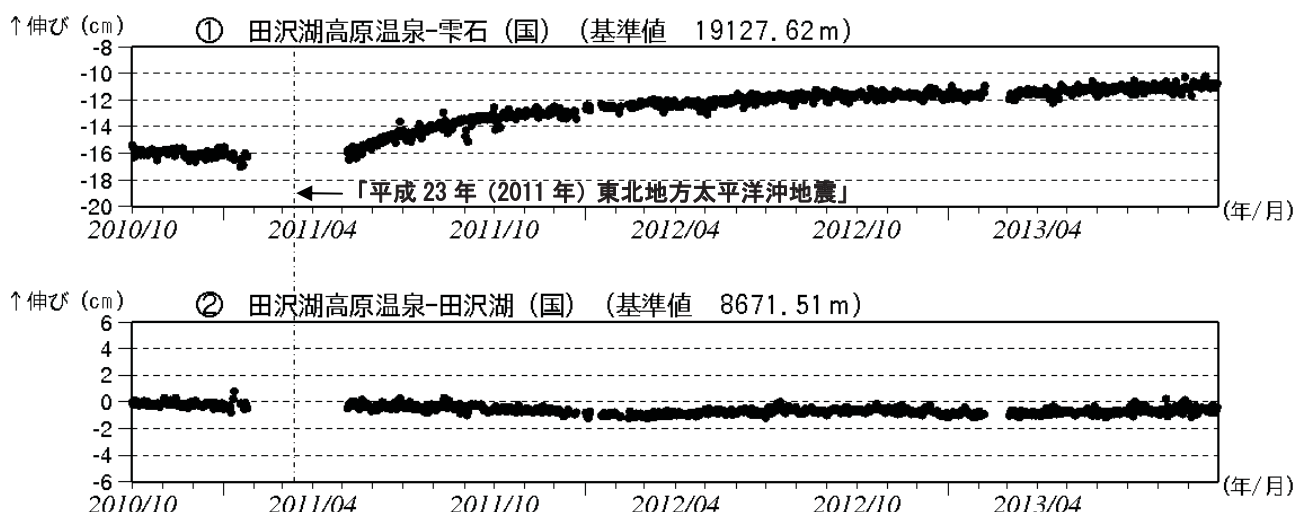


第10図 秋田駒ヶ岳 GPS観測点配置図

小さな白丸（○）は気象庁、小さな黒丸（●）は気象庁以外の機関の観測点位置を示す。

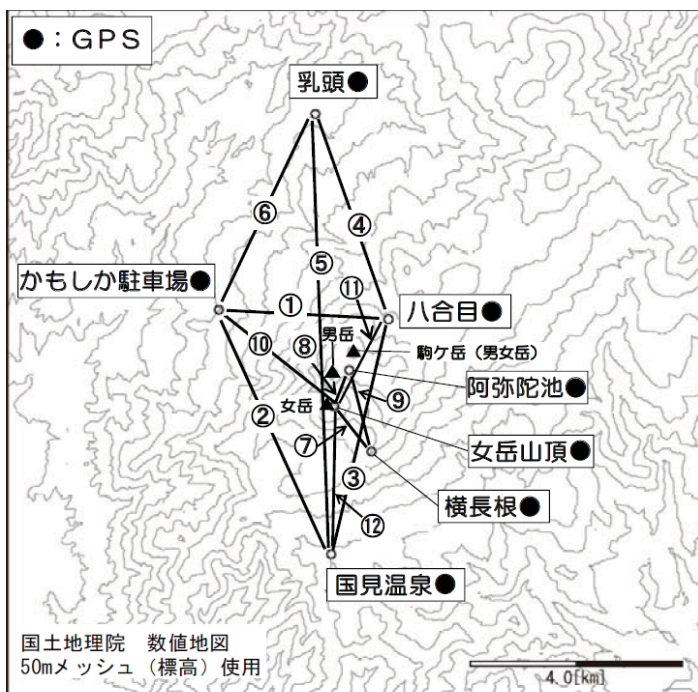
（国）：国土地理院

GPS基線①～②は第11図の①～②に対応。



第11図 秋田駒ヶ岳 GPS基線長変化図（2010年10月～2013年9月30日）

- ・グラフの空白部分は欠測を表している。
- ・①の基線では、東北地方太平洋沖地震に伴うステップを補正している。また、その後の変動は、東北地方太平洋沖地震による影響であり、火山活動によるものではないと考えられる。
- ・解析に際しては対流圏補正と電離層補正を行っている。
- ・①～②は第10図のGPS基線①～②に対応している。（国）：国土地理院。

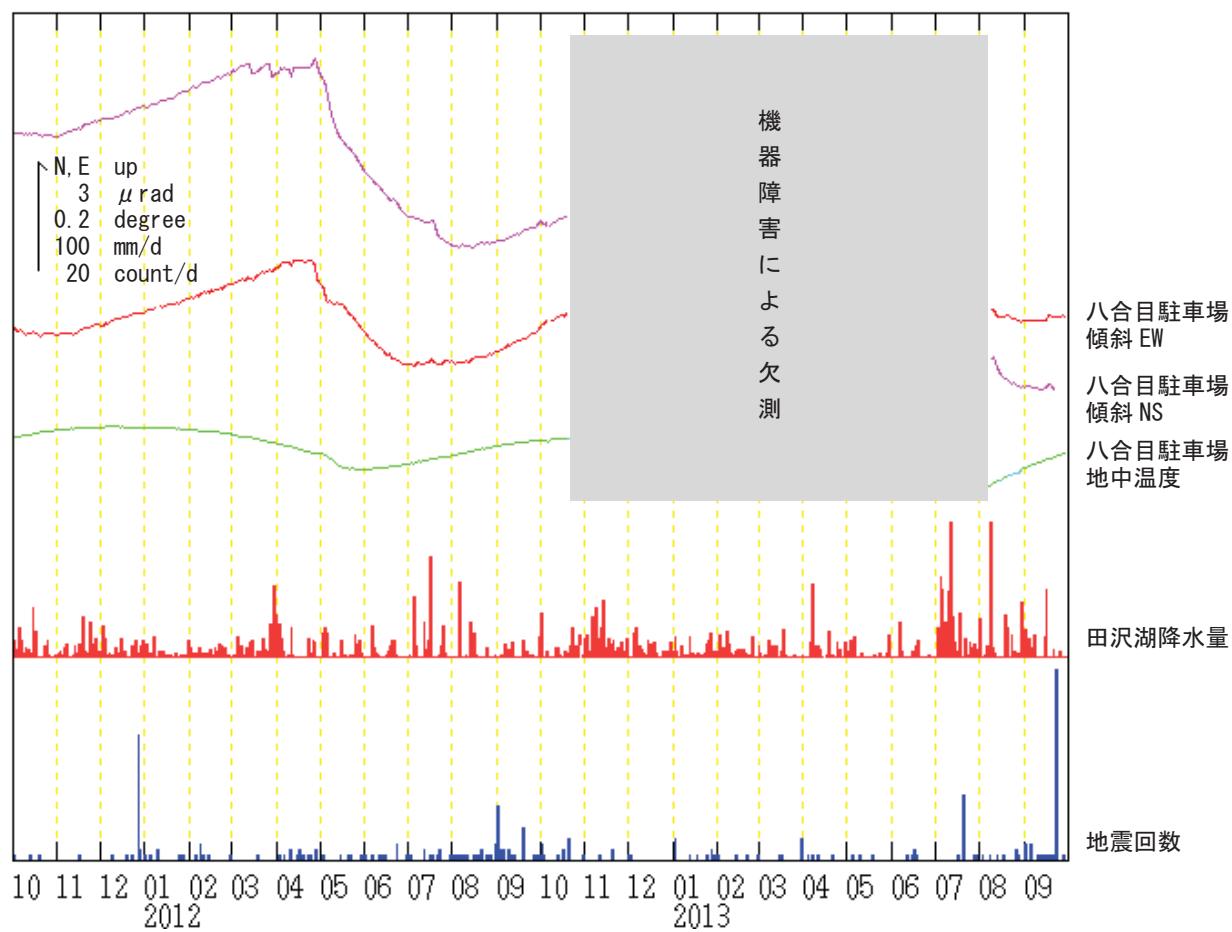


第12図 秋田駒ヶ岳 GPS繰り返し観測点配置図
GPS基線①～⑫は第13図の①～⑫に対応している。



第13図 秋田駒ヶ岳 GPS繰り返し観測による基線長変化図（2004年6月～2013年6月）

- ・基線番号①～⑫は第12図のGPS基線①～⑫に対応している。
- ・女岳山頂と横長根観測点の機器障害により、2012年7月の基線長データ⑦～⑫に欠測がある。
- ・「平成23年（2011年）東北地方太平洋沖地震」による影響で、破線（2011年3月11日）を挟んで大きな変動がみられるが、これは火山活動によるものではないと考えられる。



第14図 秋田駒ヶ岳 八合目駐車場観測点における傾斜変動

(2011年10月1日～2013年9月30日、時間値、潮汐補正済み、地震回数及び降水量は日値)

・火山活動によるとみられる傾斜変動は認められない。

・2012年10月21日～2013年8月8日まで機器障害のため欠測となっている。